

## **SOBRE LAS PRECIPITACIONES EN UNA TIERRA SEDIENTA: FUERTEVENTURA**



La portada muestra las consecuencias meteorológicas tras el paso de un frente nuboso extenso, con gaviás mayoreras llenas de agua precipitada. Observamos campos anegados que se vuelven fértiles en una tierra sedienta. Gaviás en las proximidades de Morro Valdés, Betancuria, visible al fondo. Foto: Pedro López Batista, el 22 de febrero de 2010.

El primer firmante manifiesta su gratitud a los coautores D. Pedro López Batista, por la generosa entrega, no solo de información meteorológica, originada en la *estación Davis* de Puerto del Rosario (Fuerteventura), sino de múltiples fotografías de los bellos paisajes mayoreros y a D. Andrés Delgado Izquierdo por la maquetación del texto, así como por el trazado de mapas. De similar manera a D. Carlos González Martín, gerente del Organismo Autónomo de Museos de Tenerife, por sus numerosas gestiones que facilitaron la petición y consecución de información meteorológica al AEMET de Gran Canaria. También, a D<sup>a</sup> Carmen Nuria Prieto Arteaga, Departamento de Difusión y Comunicación de Museos de Tenerife, del Cabildo de Tenerife, D. Domingo Montañez Montañez, gerente del Consejo Insular de Aguas de Fuerteventura, por cedernos información de la red pluviométrica Hellmann de la isla de Fuerteventura; D. Jorge Rosales León, director técnico de la empresa Cartográfica de Canarias (GRAFCAN), por información acerca de observaciones de la nueva red de estaciones meteorológicas automáticas; a D. Pedro Cabrera de Saá y al Dr. Juan Miguel Torres Cabrera, por sus aportaciones sobre las características climáticas de una isla sorprendente. Por otro lado, al Dr. Stephan Scholz por sus oportunos consejos y maravillosas fotografías (todas inéditas); D. José Miguel Viñas Rubio y D. Sebastián Martín Yáñez por instalar el documento en sus webs, [www.divulgameteo.es](http://www.divulgameteo.es) y [www.fuerteventuradigital.net](http://www.fuerteventuradigital.net) respectivamente, y divulgando de esta manera el clima mayorero.

Asimismo, a los fotógrafos del ayuntamiento de Tuineje, *Noticias de Fuerteventura*, D. Sebastián Martín y D. Carlos González. Sin la contribución de estos sensibles fotógrafos, el trabajo sería más tedioso, lleno de texto, gráficas y tablas...tal vez poco atractivo. De hecho, las fotografías resaltan –aún más- la extraordinaria belleza de Fuerteventura. Dicen que *una buena imagen vale más que mil palabras...*

Este trabajo pluviométrico está dedicado a la Dra. Fátima Hernández Martín por sus sugerencias y ánimos constantes.

## Introducción

Esta monografía es la segunda de un compromiso personal para describir las características climáticas de la sedienta tierra mayorera en cinco capítulos. Hemos procurado escribir este informe con lenguaje sencillo y pedagógico, ya que va dirigido a toda suerte de lectores interesados por temas ecológicos, en este caso, mostrando la encantadora belleza de Fuerteventura y hemos querido insertar indirectamente conceptos meteorológicos e hidrológicos muy utilizados en los medios de comunicación.

Hagamos una pregunta ¿qué sucede con la ansiada precipitación? Sabemos que el régimen pluviómetro de Fuerteventura es siempre escaso. La isla tiene un relieve poco acentuado y su proximidad al continente africano condiciona sus características climáticas. Las situaciones barométricas que aportan cantidades de agua destacadas son las invasiones de frentes nubosos e irrupciones de borrascas atlánticas, situaciones poco frecuentes, por lo que sus efectos no se manifiestan con notoriedad sobre toda la isla.

Las condiciones meteorológicas propicias a depositar agua son “siempre bien recibidas”. Las precipitaciones débiles, lloviznas o las “precipitaciones ocultas” están estrechamente relacionadas con la elevada humedad ambiental transportada por vientos septentrionales, unos vientos favorecidos por los afloramientos de aguas profundas que los guían, cualidades climáticas gratas muy distintas a los espacios continentales africanos de igual latitud.

Es importante mencionar el agua de escorrentía recogida raras veces al año y su concentración en superficies agrícolas. Las **gaviás** y **maretas** constituyen superficies anegadas en los alrededores de los cauces naturales del agua pluvial, provocando la máxima infiltración, con el objetivo de proporcionar un nivel de humedad que permita el cultivo en estos terrenos áridos, donde de otra manera sería imposible obtener

producciones agrarias. Los principales cultivos tradicionales eran los cereales y granos; en los desagües sobre los diques, para mejorar la estabilidad del muro, se plantan árboles frutales (higueras...) o silvestres (tarajales, palmeras...).

La iniciativa de estudiar las precipitaciones acaecidas este siglo es debida a un motivo fundamental, actualizar la colección de estudios pluviométricos instalados en las webs del Consejo Insular de Aguas de Fuerteventura (CIAF), Agrolanzarote, Agro Cabildo y Museo de Ciencias Naturales (MUNA) de Tenerife. Asimismo, se trata de atender la importante demanda de información meteorológica, algo que queda demostrado en las conversaciones ciudadanas habituales sobre la escasez de precipitaciones en agricultura, precipitaciones ocultas y cambio climático, ejemplos de que estas temáticas incitan curiosidad en nuestros días.

Además, señalemos que el autor tiene acceso a la abundante información climática insular y -por ello- no ha dudado en realizar una guía de precipitaciones, digamos una especie de "*diccionario ilustrado*" donde expone isoyetas medias, mapas barométricos, imágenes de satélite de los eventos lluviosos notables acontecidos, tabla de efemérides, información estadística mensual, trimestral y anual de las numerosas estaciones pluviométricas. Así como, el tratamiento del conjunto global de las precipitaciones en lugares relevantes mostrados en perfiles altitudinales de distintas zonas, de este modo comparamos gráficamente regímenes pluviométricos anuales en el *lapsus* de varias décadas.

Se trata, por tanto, de un trabajo amplio dividido en dos partes. La primera contiene las precipitaciones anuales medias, exhibidas en mapas de isoyetas, así como las descripciones de las situaciones barométricas que aducen precipitaciones intensas en lapsus de varios días. La segunda (como anexo) se basa en un amplio tratamiento estadístico de las precipitaciones diarias captada en pluviómetros Hellmann, así como las precipitaciones decaminutales registradas en estaciones meteorológicas automáticas.

Este estudio pluviométrico es continuación de otras publicaciones de la misma índole, expuestas en internet, pluviometría de Tenerife 1920 a 2010 (2011), precipitaciones siglo XXI en Tenerife (2020), análisis sucinto de las precipitaciones en Lanzarote 1960 a 2016, las escasas lluvias lanzaroteñas (2017), las precipitaciones de niebla en La Palma y Tenerife, enarenados y precipitaciones de rocío en Lanzarote. También, un trabajo titulado *¿existe cambio pluviométrico en los últimos 40 años?* (2012).

Los mapas de isoyetas anual y estacionales medias, tablas de resultados estadísticos y gráficos se han trazado con la información facilitada de estaciones meteorológicas de las redes pluviométricas del Consejo Insular de Aguas de Fuerteventura (CIAF), Investigaciones Agrarias (ICIA), Cartográfica de Canarias (GRACAN), Agencia Estatal de Meteorología y una estación privada de Puerto del Rosario, con distintas fechas de inauguración entre los años 1946 a 2020, se tratará por tanto de *mapas de isoyetas medias estimadas*.

Las observaciones facilitadas por estaciones meteorológicas son numerosas y es muy difícil asimilar sus valores estadísticos de centralización. La presentación cartográfica de precipitaciones anuales medias es un procedimiento didáctico apropiado para visualizar los contrastes numéricos. Cada mapa esquemático va acompañado de una escala de colores que identifica los intervalos pluviométricos, 25 mm presentación anual y 10 mm presentación estacional. Las extensiones de las superficies cromáticas son recursos que facilitan las distintas pluviosidades en las regiones mayoreras en periodos anual y estacionales.

Luis Manuel Santana Pérez, físico, experto en meteorología y colaborador del MUNA, Museo de Naturaleza y Arqueología

Pedro López Batista, funcionario del Cabildo de Fuerteventura, aficionado a la fotografía de la Naturaleza y a la Meteorología

Andrés Delgado Izquierdo, Técnico especialista en delineación y colaborador de la Asociación Amigos del Museos de Naturaleza y Arqueología

## Índice

- Precipitaciones anuales medias acumuladas estimadas. Precipitaciones obtenidas en estaciones pluviométricas Hellmann y automáticas. Isoyetas anuales estimadas medias
- ¿Cuándo son perceptibles las precipitaciones intensas?
- Clasificación de años hidrológicos según precipitaciones anuales acumuladas medias. Situaciones barométricas causantes de precipitaciones diarias copiosas o intensas
- Galería fotográfica de días lluviosos
- ¿Qué son las gaviás y maretas en Fuerteventura?
- Perfiles de precipitaciones anuales acumuladas en zonas territoriales. Espacios: centro norte, central y centro sur
- Precipitaciones estacionales medias acumuladas estimadas. Precipitaciones obtenidas en estaciones pluviométricas Hellmann y automáticas. Isoyetas invernales y otoñales estimadas medias
- Tabla de precipitaciones estacionales y anuales medias acumuladas estimadas. Precipitaciones realizadas en estaciones meteorológicas automáticas.
- Perfiles de precipitaciones invernales y otoñales representativas de la región central. Series temporales desde el inicio de las observaciones en zonas húmedas. Puerto del Rosario - Tefía y Betancuria
- Anexo

## **Precipitaciones anuales medias acumuladas estimadas. Precipitaciones obtenidas en estaciones pluviométricas Hellmann y automáticas. Isoyetas anuales estimadas medias**

Los **lapsos temporales** establecidos en las observaciones diarias de cada una de las estaciones pluviométricas son diferentes, como consecuencia, los números de años que intervienen en las estimaciones de las precipitaciones acumuladas medias estacionales y anual en cada una de las estaciones son diferentes. Es imposible presentar homogeneidad temporal en el conjunto de precipitaciones diarias, la adquisición e instalación de los pluviómetros ha necesitado distinto tiempo de ejecución. En el caso de hacer coincidir el lapso temporal de observación en la red pluviométrica encontraríamos pocas estaciones que reúnan dichas condiciones, es decir, existiría poca coincidencia temporal entre las estaciones. También, no olvidemos los diferentes modelos de pluviómetros que constituyen la red pluviométrica, diseñados siguiendo la disponibilidad económica y tecnología de la época. La precipitación acumulada media para un periodo temporal y lugar concreto es la **estimación de la precipitación acumulada en una superficie extensa** alrededor del pluviómetro. En el supuesto experimento de colocar varios pluviómetros en dicha superficie obtenemos distintos valores de las precipitaciones acumuladas medias, por tanto, la representación gráfica de las precipitaciones acumuladas medias en diferentes lapsos temporales y modelos instrumentales por medio de un **mapa esquemático de isoyetas** es un buen procedimiento para **estimar la pluviosidad** en cualquier lugar del territorio insular.

Precipitaciones obtenidas en pluviómetros Hellmann del Consejo Insular de Aguas de Fuerteventura (CIAF), observaciones en lapsos distintos entre 1946 a 2018, red de estaciones meteorológicas automáticas de la Agencia Estatal de Meteorología (AEMET), red Gobierno de Canarias (SIAR), empresa pública de gráficos de Canarias (GRAFCAN) y estación privada de D. Pedro López Batista en Puerto del Rosario, observaciones en lapsos distintos entre 2006 a 2020, constituyen la red pluviométrica mayorera.

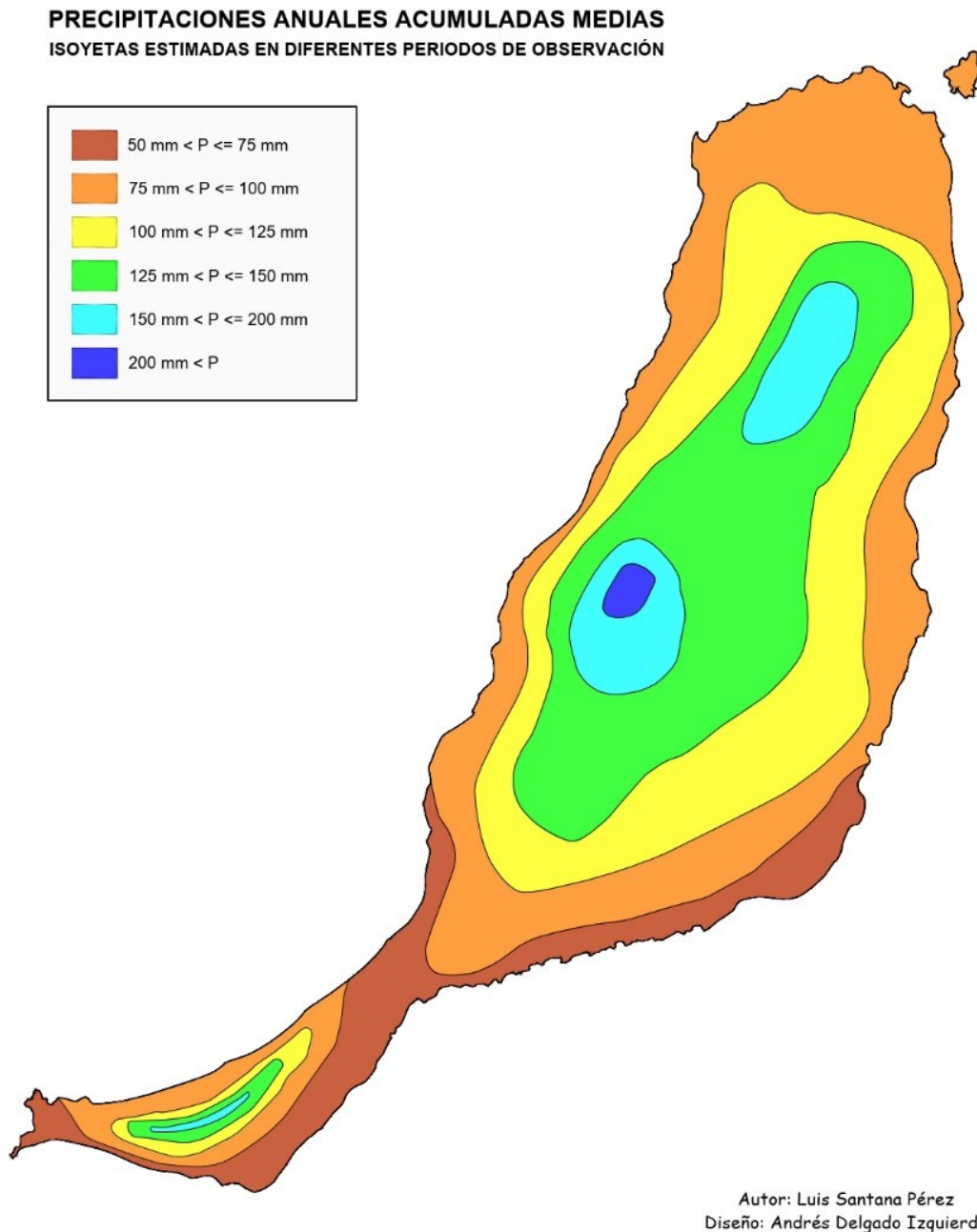
El trazado de **isoyetas anuales**, líneas que unen sobre un plano las precipitaciones acumuladas anuales medias se han obtenido en cada observatorio partir de observaciones obtenidas en pluviómetros manuales Hellmann o estaciones meteorológicas automáticas en diferentes lapsos, es decir fechas de inicio o finalización de mediciones diferentes. La red pluviométrica está constituida de 52 pluviómetros manuales Hellmann con lecturas con cierta incertidumbre e incluso con Observadores y horas de medidas diferentes, y 13 estaciones meteorológicas automáticas con lecturas supuestamente precisas. La red pluviométrica cubre la mayor parte de la superficie insular, excepto ausencia de información en los macizos montañosos de Jandía, Betancuria y La Oliva, así como en las vertientes a barlovento sursuroeste a nornoroeste.

En general, el conjunto de isoyetas puede considerarse como valores estimables de la realidad.

Un “**año hidrológico**” corresponde a las precipitaciones diarias acumuladas en el periodo de doce meses de un mismo año.

La colección de mapas de isoyetas medias: anual, invernal y otoñal nos permite visualizar de manera ágil el comportamiento pluviométrico insular, contrastes hídricos en diferentes altitudes y vertientes de la isla. Una descripción breve acompaña a cada mapa e indicamos tipo de situación barométrica, y alguna que otra cuantía de precipitación diaria en lugares que han registrado precipitación intensa.

- *Precipitaciones anuales medias estimadas en varios periodos entre 1946 a 2020*



**Mapa esquemático de isoyetas anuales medias estimadas**

La costa este sureste a sur suroeste recibe la menor cantidad de precipitación ( $50 \text{ mm} < P < 75 \text{ mm}$ ), cotas inferiores a 100 m. Por el contrario, zonas concretas de medianías y cumbres, superficies reducidas, longitudinales, cresterías de los macizos de Jandía y Betancuria, y medianías centro a norte reciben las mayores cantidades de precipitaciones ( $150 \text{ mm} < P < 250 \text{ mm}$ ), cotas superiores a 250 m.

Sobresalen las precipitaciones exiguas recogidas en las costas de la península de Jandía a barlovento, oeste suroeste a norte, Lobos, norte este sureste y medianía baja este sureste a oeste ( $75 \text{ mm} < P < 100 \text{ mm}$ ), cotas inferiores a 100 m; también, las precipitaciones escasas recogidas en las medianías

de la península de Jandía, franja circunvalante de medianía baja, centro insular ( $100 \text{ mm} < P < 125 \text{ mm}$ ), cotas entre 100 m a 150 m.

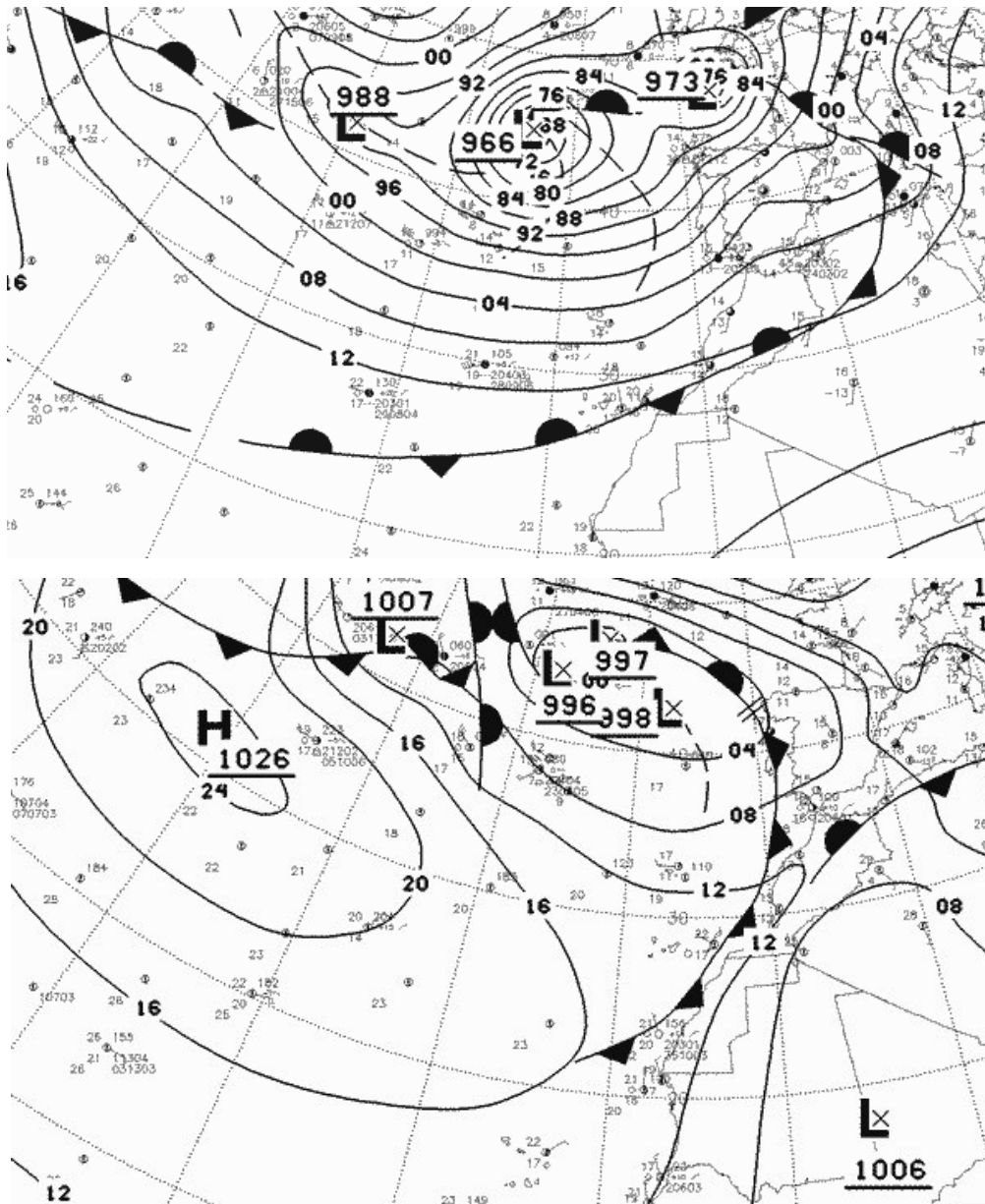
Además, precipitaciones destacadas recogidas en las superficies longitudinales medianías de la península de Jandía, franja longitudinal de medianías, centro insular ( $125 \text{ mm} < P < 150 \text{ mm}$ ), cotas entre 150 m a 250 m.

Ejemplos de precipitaciones anuales medias en lugares concretos: Islote de Lobos (5 m) 72 mm; Faro Estallada (185 m) 58 mm; Puerto del Rosario (30 m) 79 mm; Aeropuerto Matorral (25 m) 95 mm; Pozo Negro (7 m) 91 mm; Gran Tarajal (23 m) 62 mm; Tarajalejo (72 m) 73 mm; Morro Jable (30 m) 90 mm; Ugán (61 m) 71 mm; La Oliva (229 m) 147 mm; Vallebrón (257 m) 164 mm; Tefía (190 m) 131 mm; Tetir (279 m) 132 mm; La Ampuyenta (235 m) 134 mm; Vega de Rio Palma (263 m) 159 mm; Valle Santa Inés (212 m) 136 mm; Guisgüey (139 m) 123 mm; Aguas de Bueyes (248 m) 149 mm; Antigua (269 m) 162 mm y Betancuria (415 m) 204 mm

*La comparación de las superficies cromáticas nos inclina más bien a afirmar que la franja costera estrecha es notablemente seca y que el resto de superficie insular es ligeramente más lluviosa".*

## ¿Cuándo son perceptibles las precipitaciones intensas?

### - *Días con irrupciones de frentes nubosos*



### **Invasiones de frentes nubosos poco activos los días 22 de febrero de 2010 y 5 de mayo de 2017**

Cuando dos masas de aire de características diferentes entre sí, no se mezclan, aparece una zona que marca la separación entre las dos. A esta zona se la conoce como **zona frontal**, y es la franja en donde se distingue con más facilidad el cambio de las condiciones físicas del aire (temperatura, presión, humedad, etc.). Puede extenderse desde unos cientos de metros, cuando la diferencia de temperatura de las masas de aire es muy brusca, a varios kilómetros cuando el contraste es más suave.

En un mapa barométrico de superficie, la **zona frontal** se confunde con una superficie frontal dado su pequeño espesor, y la intersección de esta superficie frontal con la superficie terrestre se conoce como **frente**. La superficie de separación entre dos masas de aire no es paralela ni perpendicular a la superficie terrestre, sino que tiene una mayor o menor inclinación, debido a la diferencia de densidad y a que aquellas se encuentran en movimiento.

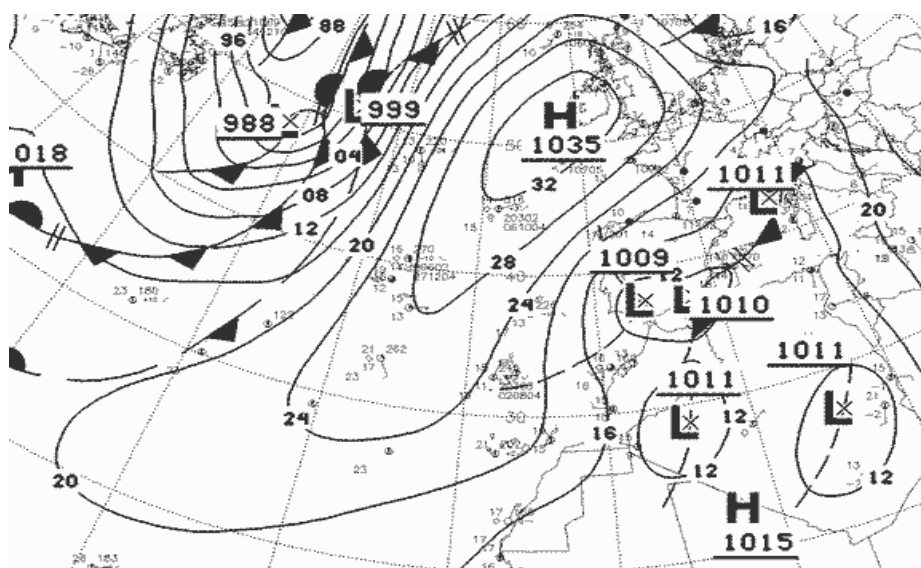
El **frente polar** es una pared elástica, no vertical sino inclinada; el aire polar es denso y tiende a meterse en cuña por debajo del aire tropical, el cual, más ligero, se desborda por arriba deslizándose a lo largo de la superficie frontal. El **frente polar** es una superficie de discontinuidad, que avanza o retrocede según empuje más enérgicamente la masa polar o la masa tropical. El trozo de frente empujado por el aire frío es un “**frente frío o invasión fría**” y el empujado por el aire cálido es un “frente cálido o invasión cálida”.

La situación barométrica el 22 de febrero de 2010, indica una zona ciclónica o núcleo de baja presión en una superficie reducida y profunda (973 mb) centrada en Bretaña, y su frente nuboso asociado se extiende entre el este peninsular hasta desvanecerse o “ocluirse” en los alrededores de Canarias. Gradiente de presión atmosférica superficial poco acentuado

La troposfera en los alrededores de la costa sur de Tenerife tiene un estrato atmosférico superficial húmedo hasta 1600 m. En esta ocasión es húmedo a muy húmedo en el periodo nocturno, y semihúmedo en el periodo diurno seco a muy seco. No obstante, el afloramiento de aguas frías en Canarias Oriental induce un estrato superficial húmedo, acrecentado en las cumbres mayoreras. Las escasas observaciones son recogidas solamente en Puerto de Rosario, temperaturas extremas 18.1 °C a 22.5 °C, humedad media 81 %, vientos muy débiles a débiles y soleado. Ver portada, gavia anegada en los alrededores de Betancuria.

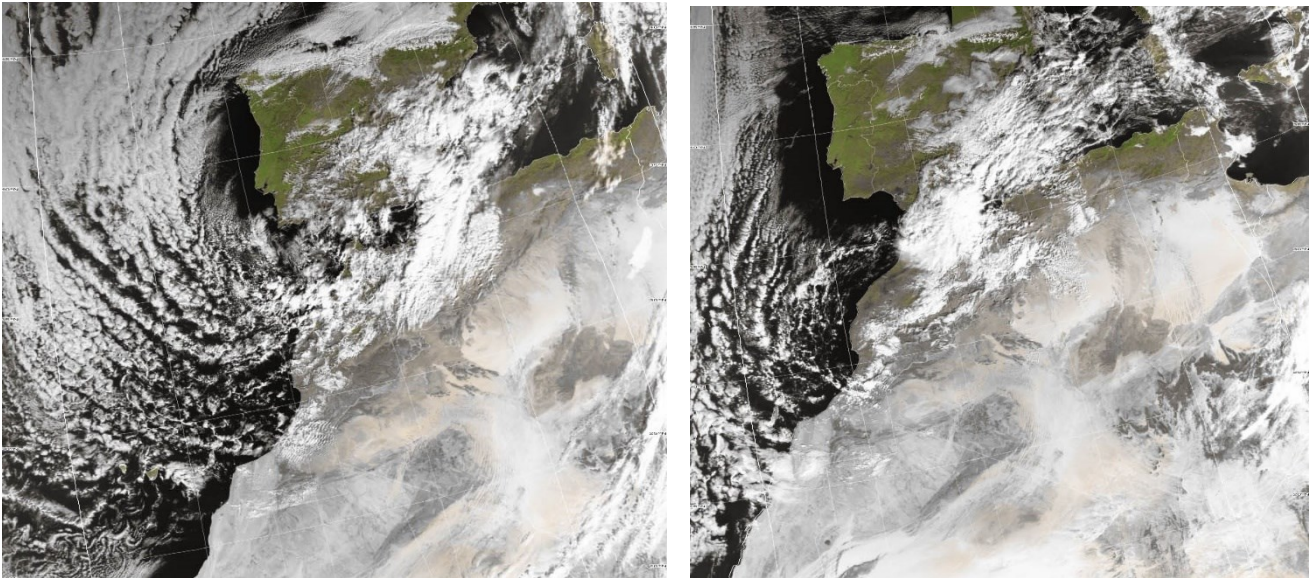
La situación barométrica el 5 de mayo de 2017, indica un núcleo de bajas presiones reducido, ligeramente profundo (996 mb) centrado en el Atlántico al oeste noroeste de Galicia, y su frente nuboso asociado se extiende entre el oeste peninsular y noroeste de Marruecos hasta desvanecerse o “ocluirse” en las proximidades de la costa senegalesa. Gradiente de presión atmosférica superficial poco acentuado entre Canarias y la costa africana, vientos débiles que soplan principalmente en la dirección a noreste.

La troposfera en los alrededores de la costa sur de Tenerife tiene un estrato atmosférico superficial húmedo a muy húmedo hasta 2450 m. No obstante, el afloramiento de aguas frías en Canarias Oriental induce un estrato superficial muy húmedo, acrecentado por el escarpado relieve mayorero. Las escasas observaciones meteorológicas indican en la Oliva – Cotillo, temperaturas extremas 17.2 °C a 23.9 °C, humedad 69 % y soplan vientos moderados en el sector oeste a noroeste, dominante noroeste; y en Antigua – Barranco del Carbón. temperaturas extremas 15.7 °C y 23.3 °C, humedad 67 % y soplan vientos moderados en el sector oeste a norte, dominante noroeste. Ver la galería fotográfica el 8 de mayo de 2017



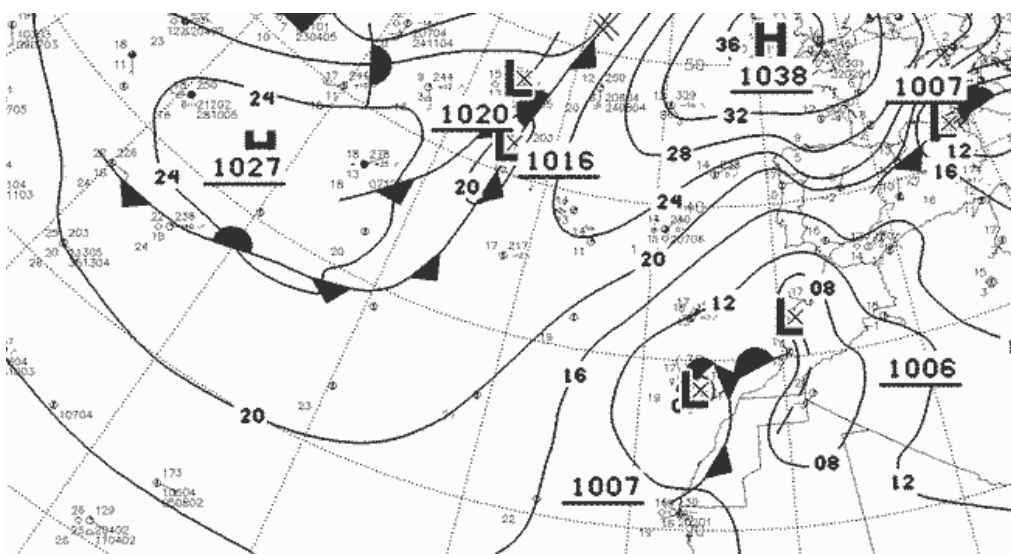
**Situación barométrica habitual en el entorno de las islas Canarias. Soplan vientos septentrionales débiles el 2 de diciembre de 2019.**

La situación barométrica indica un núcleo de altas presiones (1035 mb) sesgado, intenso centrado al oeste de las islas británicas e impulsa viento anortado en su flanco oriental, situación barométrica de vaguada anticiclónica que alcanza las latitudes canarias. Un conjunto de núcleos ciclónicos forma una franja latitudinal de 1009 mb, 1010 mb y 1011 mb extendida entre Gibraltar y oeste de Argelia o este de las islas Canarias. Las combinaciones de movimientos anticiclónicos y ciclónicos inducen vientos septentrionales marinos frescos y húmedos que alcanzan las costas insulares ocasionado nubosidad orográfica en las superficies más elevadas.



Imágenes satelitales diurnas visibles los días 2 y 3 de diciembre indican nubes dispersas sobre las islas orientales. La nubosidad está asociada a la circulación en altura de vientos que soplan moderados a fuertes en dirección noroeste. Vientos húmedos a muy húmedos septentrionales soplan en superficie impulsados por la circulación exterior de núcleos barométricos opuestos constituidos un centro de alta presión atlántico y los núcleos depresionarios continentales del noroeste africano. Los relieves accidentados de las islas acrecientan movimientos convectivos sobre las medianías y cumbres e induce precipitaciones moderadas.

- *Día con irrupción de borrasca atlántica acompañada de frente nuboso*



**Irrupción de una borrasca atlántica poco profundas el 26 marzo 2019**

Debido a las variaciones de la intensidad y posición de las altas presiones de las Azores emanan las irrupciones de **aire marítimo polar** o **aire tropical húmedo**. **Las irrupciones de aire marítimo frío** tienen lugar cuando se produce la rotura del frente polar, después del paso de varias depresiones en latitudes superiores a las islas Canarias. Las borrascas se han desarrollado siguiendo trayectorias meridionales, las **irrupciones de aire frío** llega a las islas.

Las **borrascas atlánticas** se generan en la zona longitudinal próxima al círculo polar ártico 66° 33', zona de bajas presiones subsolares. La **borrasca atlántica** recién formada se desplaza en dirección sureste y en su desplazamiento hacia el sur encuentra superficies marinas más cálidas, es más activa en su advección latitudinal, los movimientos de aire en su interior son más virulentos y más rico en vapor de agua. La borrasca que alcanza Canarias encuentra relieve abrupto de modo primordial. El efecto orográfico de la ascendencia sobre los relieves insulares provoca lluvias muy intensas. Estas **borrascas** son responsables de la mayor parte de los temporales de viento y precipitación que asolan esporádicamente las islas. La altitud y orientación de la superficie del relieve expuesta a las masas húmedas que llegan a la costa condiciona la cuantía de la precipitación.

La situación barométrica el 26 de marzo, indica la irrupción de una borrasca atlántica poco profunda (1007 mb) con frente nuboso asociado reducido. El núcleo ciclónico sobre las islas Canarias. Gradiente de presión atmosférica superficial poco acentuado. La troposfera en los alrededores de la costa sur de Tenerife tiene un estrato atmosférico superficial húmedo a muy húmedo, saturación a 1600 m en el periodo nocturno, soplan vientos débiles en el sector oeste a noroeste; además, estrato superficial húmedo a muy húmedo, saturación a 1000 m en el periodo diurno, soplan vientos débiles a moderados en el sector sur a oeste. Los escasos datos meteorológicos recogidos en La Oliva – Cotillo (217 m), temperaturas extremas 12.7 °C y 18.8 °C, humedad media 87 %, vientos débiles a moderados que soplan en los sectores este a sureste y oeste a noroeste, donde son dominantes, y chubasco intenso 13.2 mm; en Antigua – Barranco Carbón (252 m), temperaturas extremas 12.1 °C a 19.9 °C, humedad media 84 %, vientos débiles y moderados que soplan en los sectores sureste a sur y noroeste a norte, donde en la dirección norte son dominantes, y chubasco intenso 7.5 mm. Ver galería fotográfica.

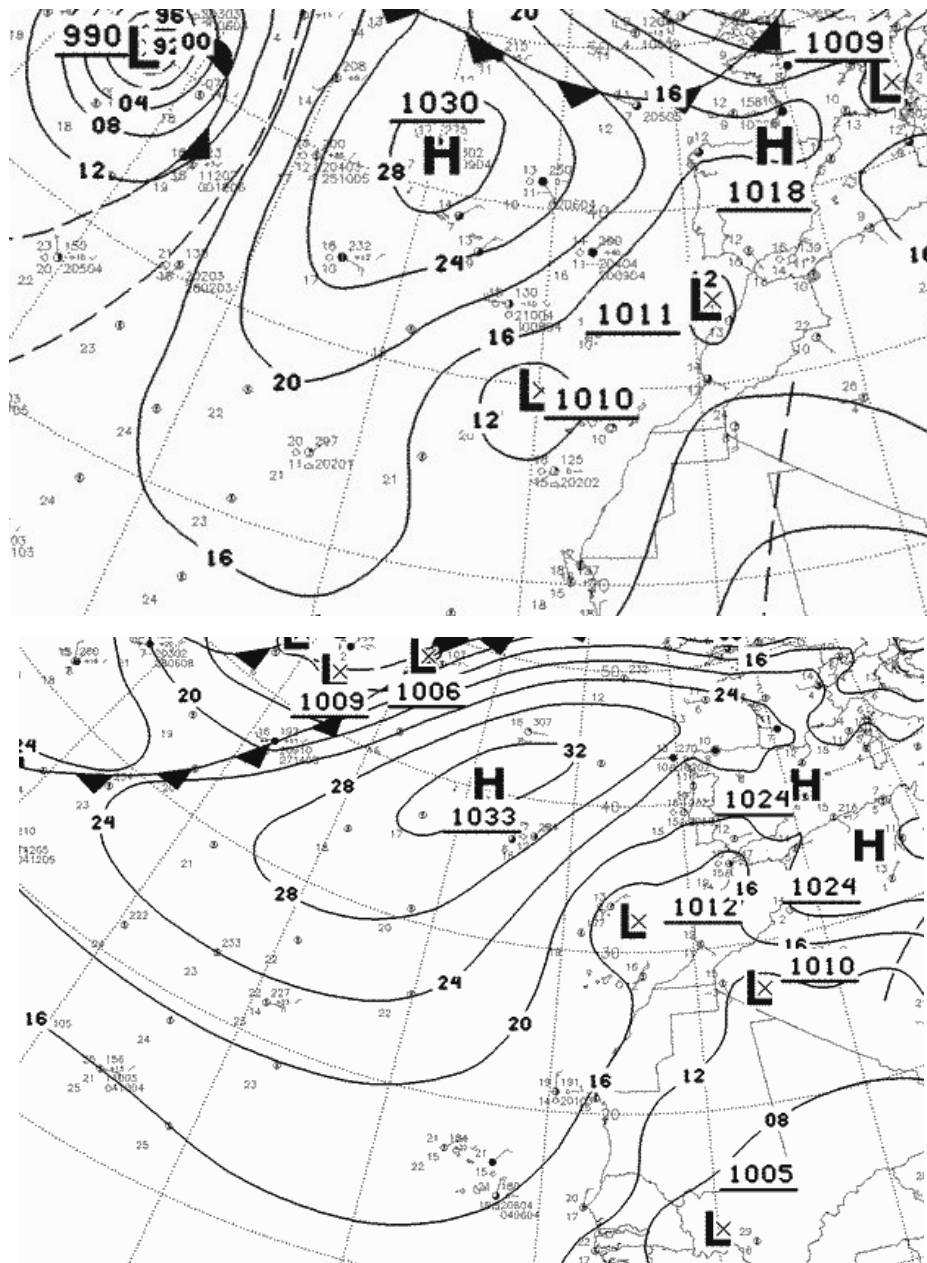
### ***Días con irrupciones de depresiones en altura, gotas frías o DANA***

La **DANA**, una depresión atmosférica aislada en niveles altos que se produce por el choque de una masa de aire frío en altura con el aire caliente de la superficie, produce chubascos y tormentas intensas.

Una gota fría o DANA (Depresión Aislada en Niveles Altos de la Atmósfera) según Sherhag es "una marcada depresión en altura, sin reflejo en superficie, en cuya parte central se encuentra el aire más frío". Es decir, no es una borrasca con sus frentes asociados y bajas presiones en superficie, sino un embolsamiento de aire frío en altura, por encima de los 5.500 metros (entre 300 y 500 mb).

A mediados del siglo pasado, con la mejora de los métodos de observación, se comprobó que algunas gotas frías podían tener reflejo en el campo de presión superficial pero no llevaban asociado ese contraste de masas de aire frío-cálido, típico de los sistemas frontales. Cuando debajo de la perturbación fría en altura se aprecia una baja en superficie con una circulación cerrada, entonces decimos que se ha generado una **borrasca fría aislada**.

Las nuevas teorías modernas en meteorología dinámica señalan que las depresiones de altura tienen un reflejo en niveles bajos y superficie, que se manifiesta en forma de algún tipo de anomalía (presión, temperatura, estabilidad, viento, etc.).

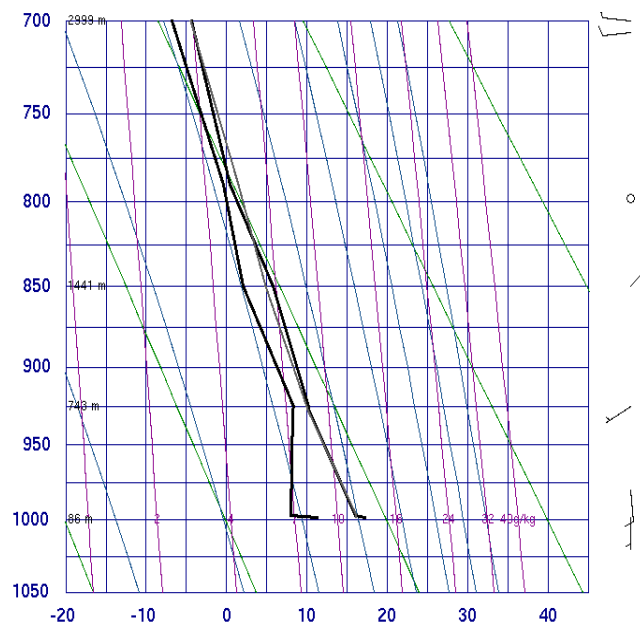
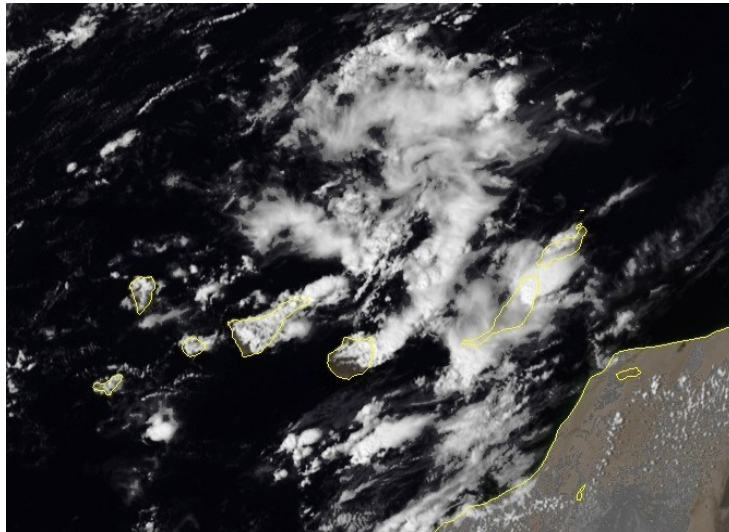


### Irrupciones de depresiones en altura, gota fría, el 27 de marzo de 2009 y 18 de marzo de 2017

La gota fría que afecta a zonas del Mediterráneo peninsular también se dejará notar en **Canarias**. Según AEMET, las lluvias débiles con las que ha comenzado la semana podrían ser fuertes a partir del jueves en las islas de mayor relieve. Unas precipitaciones que vendrán acompañadas de vientos con intervalos fuertes.

El mapa isobárico en superficie a las 12 h indica una estrecha franja de bajas presiones poco intensas reflejo del embolsamiento de aire frío y húmedo en altura, siguiendo el eje de la costa noroeste de África y encierra dos núcleos depresionarios de 1010 mb y 1011 mb, centrados sobre el mar en la latitud de Rabat y noroeste de Tenerife, situación barométrica no indicativa de temporal, más bien situación de buen tiempo. No obstante, el mapa isobárico en superficie 550 hPa exponen más información, líneas isotérmicas e isobáricas; las isotermas en altura muestran en la vertical de la costa sur de Tenerife, temperaturas inferiores y humedades superiores a sus alrededores, 10.2 °C y 88 % a 725 m y 0.4 °C y 94 % a 2035 m para una misma latitud, muestra una situación depresionaria en altura. Escasos datos meteorológicos en esa fecha recogidos en Puerto del Rosario, temperaturas extremas 13.1 °C y 20.1 °C,

humedad media 78 % y precipitación intensa 22.4 mm; en Antigua – Los Molinos (269 m), temperaturas extremas 8.8 °C a 19.1 °C, humedad media 79 % y llovizna 0.6 mm. Ver galería fotos.



### Meteosat el 27 marzo 2009 a las 14.45 h y sondeo a las 12 h

La imagen satelital diurna visible indica nubes compactas y dispersas sobre las islas orientales. La nubosidad está asociada a la depresión en altura y totalmente desvinculada a los fenómenos asociados a la frontogénesis característicos de otros tipos de depresiones. La inestabilidad atmosférica abarca una moderada área triangular ciclónica entre Tenerife, Fuerteventuras y Lanzarote, y las islas Salvajes al norte de Canarias. Los relieves elevados de las islas acrecientan los movimientos convectivos sobre las medianías y cumbres e induciendo precipitaciones copiosas

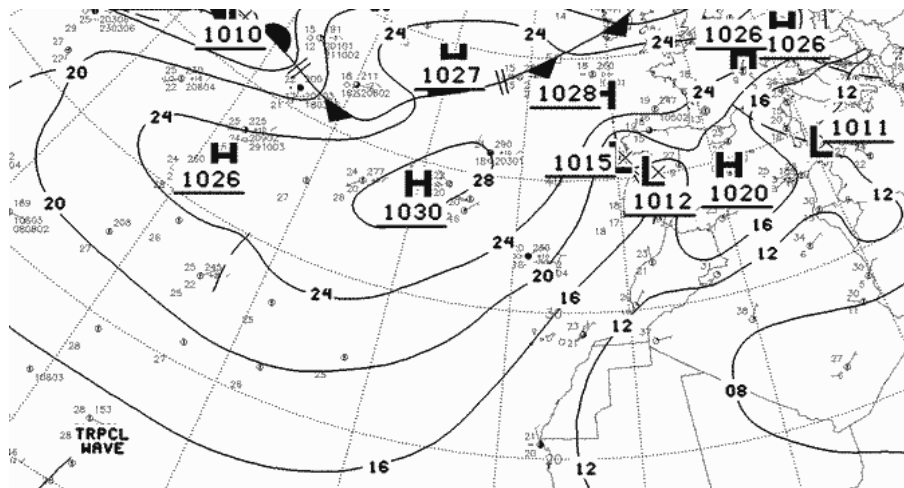
Los **radiosondeos atmosféricos** permiten conocer el estado de la atmósfera mediante la medición de la presión, temperatura, humedad relativa, dirección y velocidad del viento desde la superficie del suelo hasta altitudes superiores a 15 km, Las isolíneas trazadas en el gráfico suministradas por el observatorio meteorológico (Universidad de Wyoming, radiosonda de Güímar a 105 m) a una hora concreta corresponden a la curva de estado real atmosférico (curva de la derecha) y a la curva de estado saturado atmosférico.

La **curva de estado real**, es decir, la temperatura obtenida por la radiosonda en sus diferentes niveles o capas de altura. La curva de **estado saturado**, es decir, los distintos **puntos de rocío** o lo que es

lo mismo, la temperatura que debería tener el aire para que la humedad relativa alcanzase el 100%. Cuando las curvas de estado real y estado saturado están próximas nos indica que la atmósfera tiene un alto contenido de agua, humedad relativa alta, es decir, las precipitaciones son probables, tenemos un día cubierto de nubosidad; lo contrario, cuando las curvas de estado real y estado saturado están muy separadas nos indica que la atmósfera tiene un bajo o muy bajo alto contenido de agua, humedad relativa baja, es decir, las precipitaciones son improbables, tenemos un día soleado. En nuestra situación, tenemos a las 12 Z un estrato atmosférico entre 727 m a 2035 m con humedades entre 87 % y 94 %.

Nota: hora Z o UTC es la hora de Tiempo Universal Coordinado. La hora Z o UTC no cambia con el cambio para el horario de verano o de invierno,

***Días apacibles con circulación de aire húmedo y fresco, soplan los vientos alisios***



**Un día sosegado de verano, soplan vientos alisios el 16 de julio de 2017**

Las masas de aire que llegan a las costas del Archipiélago están condicionadas por la distribución de la temperatura de la superficie del mar, estrechamente relacionada con la corriente (fría) de Canarias. Las masas de aire son expulsadas por el anticiclón caliente de las Azores, que en esta región forman los **vientos alisios**, vientos moderados que soplan en el sector nornoroeste a noreste.

Los **vientos alisios** transportan a las Islas aire húmedo y fresco. A esta capa de aire húmedo se le superpone otra capa seca, separadas ambas por una “inversión vertical de temperaturas”. En esta zona tienen lugar fenómenos de condensación de vapor de agua y coalescencia de gotitas de agua, desarrollándose una amplia capa de estratocúmulos, llamada popularmente mar de nubes

La situación barométrica indica una zona anticiclónica intensa (1030 mb) centrada en el archipiélago de las Azores y extensa longitudinalmente entre Atlántico oriental y el golfo de Vizcaya. Núcleo de baja presión (1008 mb) centrado al sur de Argelia. Gradiente de presión atmosférica superficial moderado entre Canarias y la costa africana, inductor de vientos débiles que soplan en Fuerteventura en el sector noroeste a noreste en la costa y dirección noroeste dominante. No obstante, el afloramiento de aguas frías en Canarias Oriental induce un estrato superficial húmedo, acrecentado por el escarpado relieve mayorero. La capa superficial de la medianía baja norte en la Oliva - Cotillo es muy húmeda 90 %, caliente 21.9 °C y soplan vientos del noroeste; en Antigua – Barranco del Carbón es muy húmeda 86 %, caliente 22 °C y soplan vientos noroeste a norte, norte dominante y en la costa este, Puerto del Rosario - Aeropuerto del Matorral es húmeda 72 %, muy caliente 25.8 °C y soplan vientos oeste a noreste, noreste dominante. Atmósfera estable, inversión de temperatura de grosor escaso.

## **Clasificación de años hidrológicos según precipitaciones anuales acumuladas medias. Situaciones barométricas causantes de precipitaciones diarias copiosas o intensas**

En primera línea presentamos el año hidrológico y clasificación de las precipitaciones anuales acumuladas medias en el periodo de observaciones 2005 a 2020 y evento barométrico que corresponde.

### **2000 Año muy seco**

7 diciembre           Irrupción frente activo

### **2001 Año seco**

19 al 21 noviembre   Depresión en altura o "gota fría"

22 diciembre           Irrupción frente poco activa

### **2002 Año muy lluvioso**

31 marzo a 1 abril    Depresión en altura o "gota fría"

12 y 13 diciembre    Borrasca atlántica

### **2003 Año muy seco**

23 y 24 febrero       Irrupción frente poco

21 octubre             Irrupción frente activo

### **2004 Año moderadamente lluvioso**

12 y 13 diciembre    Irrupción frente activo

### **2005 Año lluvioso, el cuarto más lluvioso**

17 y 18 agosto        Depresión en altura o "gota fría"

28 y 29 noviembre    Borrasca atlántica "Delta"

19 al 21 diciembre    Borrasca atlántica

### **2006 Año lluvioso**

8 febrero             Irrupción frente poco activo

1 noviembre           Irrupción frente activo

### **2007 Año moderadamente seco**

28 y 29 enero         Borrasca atlántica

13 y 14 marzo         Irrupción frente muy activo

13 diciembre         Borrasca atlántica

### **2008 Año muy seco, el tercero más seco**

30 y 31 diciembre    Irrupción frente muy activo

### **2009 Año moderadamente lluvioso, el tercero más lluvioso**

16 noviembre         Irrupción frente muy activo

23 diciembre         Irrupción frente muy activo

### **2010 Año muy lluvioso, el más lluvioso**

1 y 2 febrero         Borrasca atlántica

28 al 30 noviembre    Irrupción frente muy activo

11 octubre             Irrupción frente poco activo

**2011 Año moderadamente seco**

29 enero Borrasca atlántica  
13 marzo Irrupción frente activo  
17 abril Irrupción frente activo

**2012 Año moderadamente lluvioso**

18 octubre Irrupción frente activo  
6 y 7 noviembre Irrupción frente activo  
24 diciembre Irrupción frente activo

**2013 Año moderadamente seco**

17 y 18 febrero Irrupción frente poco activo  
11 y 12 diciembre Irrupción frente muy activa

**2014 Año muy lluvioso, el segundo más lluvioso**

18 y 19 octubre Irrupción frente muy activo  
22 al 24 noviembre Borrasca atlántica  
9 enero Irrupción frente activo  
15 febrero Irrupción frente muy activo

**2015 Año moderadamente seco**

15 y 16 octubre Irrupción frente activo  
22 octubre Borrasca atlántica  
31 octubre Irrupción frente activo

**2016 Año moderadamente seco**

18 al 21 febrero Irrupción de una borrasca estacionaria  
19 al 23 octubre Irrupción frente muy activo  
30 y 31 marzo Irrupción frente activo  
21 y 22 noviembre Irrupción frente poco activo

**2017 Año muy seco, el más seco**

11 y 12 febrero Irrupción frente poco activo  
11 y 12 diciembre Irrupción frente poco activo

**2018 Año moderadamente lluvioso**

6 enero Irrupción frente poco activo  
25 febrero Irrupción frente activo  
17 y 18 noviembre Irrupción frente muy activo  
21 y 22 noviembre Irrupción frente muy activo

**2019 Año muy seco, el cuarto más seco**

17 enero Invasión de aire marítimo húmedo  
15 y 16 febrero Irrupción de un frente nuboso  
26 y 27 octubre Invasión de aire marítimo húmedo

**2020 Año muy seco, el segundo más seco**

22 marzo Irrupción de un frente nuboso  
18 abril Irrupción de un frente nuboso  
26 y 29 noviembre Irrupción de un frente nuboso

Estudiamos 51 eventos barométricos de precipitaciones diarias copiosas a torrenciales en 19 años del siglo XXI.

- *Clasificación de los eventos barométricos con precipitaciones notables*

Borrascas en altura, "gota fría" o DANA	3
Borrascas atlánticas vigorosas	9
Irrupciones de frentes nubosos acompañados de importantes actividades convectivas	10
Irrupciones de frentes nubosos acompañados de destacadas actividades convectivas	15
Irrupciones de frentes nubosos acompañados de leves actividades convectivas	14

## Galería fotográfica de días lluviosos



### Tras el paso de la gota fría del 27 de marzo de 2009

La gran cantidad de granizo caído sobre el mediodía en Los Estancos y alrededores, fue arrastrado hasta zonas más bajas, quedando acumulado y formando grandes bloques en este puente próximo a Puerto Lajas. En esta zona, situada a nivel del mar, el granizo se mantuvo durante casi 24 horas.

No sólo las DANAs llenan gavias, en situaciones tormentosas, descargas frías o llegada de frentes también ocurre. Basta con que caigan unos 15 o 20 mm en corto espacio de tiempo para que el agua corra y llene gavias y presas secas. Día cálido en la costa y templado en medianías, húmedo, poco ventoso y lluvia de 22.4 mm en Puerto del Rosario. Texto del entusiasta Pedro López Batista.



**Después de la irrupción de un frente nuboso, el 8 de mayo de 2017**

Atardecer en el mirador de los Granadillos, Macizo de Betancuria. Un día húmedo y moderadamente ventoso. Charcos de agua estancada tras el paso de un frente nuboso poco activo y que afectaron principalmente al centro sur de Fuerteventura. Precipitación diaria de 3.2 mm en Antigua y 2.1 mm en Puerto del Rosario



**Tras el paso de una borrasca atlántica en la medianía central, 26 de marzo de 2019**

Situación barométrica más favorable para humedecer la superficie sedienta mayorera. Días cálidos, húmedos a muy húmedos y poco ventosos. Precipitación diaria de 26.6 mm en Antigua, La Oliva 13.2 mm, 2 mm en Puerto del Rosario y 2.6 mm Morro Jable. Foto publicada en Noticias de Fuerteventura el 2 de abril



**Efectos hidrológicos tras el paso de una borrasca atlántica (1012 mb) al norte de Canarias en las costas y medianía central y meridional, 18 y 19 de marzo de 2017**

Situación barométrica favorable para desencadenar precipitaciones copiosas. Días cálidos, húmedos a muy húmedos y moderadamente ventosos. Precipitación diaria de 51 mm en Antigua, Puerto Gran Tarajal 12.2 mm, Morro Jable 4.4 mm y Puerto del Rosario 0 mm. Foto: desembocadura del barranco de Gran Tarajal, Ayuntamiento de Tuineje.



**Después de la irrupción de un frente nuboso, el 5 y 6 de noviembre de 2016**

Ambiente apacible tras la irrupción de un frente nuboso asociada a un núcleo de baja presión de 1012 mb. El agua corre en el barranco de Majamanca después de unos fuertes chubascos que afectaron al centro septentrional de Fuerteventura dejando además importantes granizadas en amplias zonas. Al fondo Tesjuate en el municipio de Puerto del Rosario. Días calientes, húmedos y ligeramente ventosos.

Precipitaciones acumuladas el 5 y 6, 4.6 mm en el Cotillo – La Oliva; 12.5 mm ; 15.6 mm en el Aeropuerto; Antigua – Pozo Negro 7.2 mm; Antigua – Bco. del Carbón 5.2 mm y 0.2 mm Tuineje – Puerto de Gran Tarajal. Foto: Pedro López Batista.



#### **Aspecto previo de la irrupción de un frente nuboso, el 30 de marzo de 2016**

Ambiente desapacible tras la irrupción de un frente nuboso asociada a un núcleo de baja presión de 1010 mb situado al sur de las Azores. Cúmulos con buen desarrollo vertical causante de lloviznas en casi toda la superficie mayorera. Al fondo, aerogeneradores en el istmo de la Pared de Jandía. Día cálido, húmedo y ventoso. Precipitaciones acumuladas el 30 y 31, 0.6 mm en el Cotillo; 1.1 mm en Pto. del Rosario; 1.1 mm en el Aeropuerto; 0.6 mm en Pozo Negro; 1.0 mm en Bco. del Carbón y 1.4 mm en Pto. de Morro Jable. Foto Stefan Scholz



#### **Paisaje nuboso en las medianías mayorera tras la irrupción de un frente nuboso, 31 enero 2010**

Ambiente apacible tras la irrupción de un frente nuboso asociada a un núcleo de baja presión de 1011 mb situado al norte de Canarias. Nimbos estratos con moderado desarrollo vertical causante de lloviznas en casi toda la superficie mayorera. Cumbre de Maninubre en el Macizo de Betancuria. Día cálido, húmedo y ligeramente ventoso. Precipitaciones diarias, 4.6 mm en Pozo Negro; 0.2 mm en Antigua y 0 mm en Puerto del Rosario. La foto está tomada desde las proximidades de Morro Velosa en dirección sur. Pedro López Batista.



Un día apacible veraniego, 16 de julio de 2017, en la montaña de la Muda (689 m), centro norte insular. Inversión térmica atmosférica entre 490 m a 820 m, donde soplan vientos **alisios**, débiles del noreste en la capa muy seca a seca inferior a 1000 m (sondeo realizado a las 12 h en el Valle Güímar, Tenerife). Capa estratocúmulos de apenas un centenar de metros sobre las aguas frescas que bordean a Fuerteventura acrecentada por el relieve escarpado de un volcán aislado, 689 m. El “mar de nubes” típico en el norte mayorero en cualquier época del año hace de sombrilla sobre el árido suelo, y ayuda a atemperar el ambiente.

Los días de inversión baja y cuando el viento entra anortado que ocurre muchos días en verano, se suele formar un manto de nubes que cubre la zona oeste noroeste la Isla. Las cumbres que van desde La Oliva hasta La Ampuyenta forman una barrera que les impiden avanzar más hacia el interior de Fuerteventura. Texto: Pedro López Batista.



Aspecto del campo majorero tras las invasiones de los escasos frentes nubosos a final de otoño y días posteriores soleados a comienzo del año. Este otoño e invierno destacó por ser más fresco de lo habitual y donde se registraron chubascos que cubrieron el campo de flores como estas margaritas, alhelí canario, etc. Foto tomada en los aledaños de Triquivijate por Pedro López Batista, 11 de enero 2015

## ¿Que son las gavias y maretas en Fuerteventura?



### Gavias anegadas de precipitaciones en el cauce del Valle de Tetir

Conjunto de gavias a la vera de un arroyo efímero posterior a las situaciones barométricas deseadas por los majoreros. Valle fértil ubicado justo al sur del pueblo de Tetir, en el municipio de Puerto del Rosario. Foto Carlos González desde la degollada de Facay, Fuerteventura en imágenes, @fototindaya.

La **gavia** es un sistema de cultivo basado en la recolección de aguas de escorrentía y su concentración. La gavia constituye un terreno agrícola para encauzar y remansar el agua pluvial, provocando la máxima infiltración, con el objetivo de proporcionar un nivel de humedad que permita el cultivo en estos terrenos. Las gavias permitieron obtener cosechas donde las condiciones climatológicas eran adversas, con muy poca pluviometría, y desempeñaron un papel muy importante en la economía de las dos islas más áridas del archipiélago. Las gavias han perdurado y evolucionado durante los cinco siglos de cultivo cerealista. Actualmente las gavias se han ido abandonando, aunque instituciones públicas siguen manteniéndolas.

Cuando llueve, la gavia se inunda y llena, permaneciendo así unos días. Esta agua es absorbida por la tierra poco a poco, diciéndose que la gavia “ha bebido”, momento en el que la tierra húmeda está ya preparada para la sementera. Hay gavias de diferentes tamaños, pero su superficie media está en torno a los 3.000 metros cuadrados.

- *Partes de una gavia:*

El **trastón**: es el murete de tierra que rodea a la parcela de cultivo, y cuya altura varía entre 0,5 y 1,25 metros. Este caballón de tierra debe de estar muy bien construido para resistir el empuje del agua durante todo el tiempo en el que permanece estancada.

La **torna**: es el punto por el cual el agua penetra en la gavia. Es un rebaje en el trastón que debe de estar reforzado con piedras o ramas.

El **desagüe**: es una abertura en el trastón por la cual la gavia envía el agua sobrante al barranquillo, o bien a otra gavia cuando está llena, y está situado en el lado opuesto a la torna.

El **caño**: es el canal que conduce el agua hasta la gavia. Puede consistir en un canal simple que recoge el agua de escorrentía, o en una red que se divide y jerarquiza en caños principales y secundarios.

Las **compuertas**: son estructuras que mediante su apertura y cierre controlan el flujo del agua que entra por algunos caños de cierta importancia, canalizando el agua hacia un grupo de gavias o hacia otro. También evitan la entrada de más caudal cuando las gavias han recibido el suficiente.

Texto extraído de web: Fuerteventura en imágenes



### **Gavias interconectadas a la orilla de un arroyo transitorio, Guisgüey – Puerto del Rosario**

Las gavias son terrazas que se construyen a la orilla de barranqueras. La textura arcillosa de sus suelos y la manera de conducir el agua hasta las gavias y de “embeberlas” permite con precipitaciones moderadas a intensas que acompañan a las irrupciones esporádicas de frentes nubosos o borrascas atlánticas, se pudiera producir tanto. No hay que olvidar que Fuerteventura fue el granero de Canarias. Es el mejor ingenio que ha permitido desarrollar una agricultura intensiva de secano. Precipitaciones acumuladas los días 24 y 25 de octubre de 2015 de 25.1 mm en el Aeropuerto del Matorral y 30.6 mm en el Puerto del Rosario. Foto: Juan Miguel Torres Cabrera.



Conjunto de **gavias** o **rosa de gavias** anegadas con la escorrentía de las precipitaciones acumuladas los días 17 a 19 de marzo de 2017 tras la el paso de una borrasca atlántica de 1010 mb: Puerto del Rosario 6.7 mm; Antigua 64.4 mm y Oliva – el Cotillo 13 mm. Foto: Juan Miguel Torres Cabrera, gavias cerca de Tesjuate,



**Gavia** anegada “desaguando” con la escorrentía producida tras la irrupción de la “gota fría”, el 27 de marzo de 2009. Puerto del Rosario registró 22.4 mm. Foto: Pedro López Batista.

Una **mareta** es, en esencia, una balsa artificial destinada a recoger el agua de lluvia. Un depósito de agua que se acondiciona en el cauce de un barranco o en hondonadas a donde discurren las aguas pluviales, que se usarán para el consumo humano.



**Una mareta es una *presa seca*, una hondonada cerca del cauce de un arroyo efímero**

Precipitaciones acumuladas el 5 y 6 de diciembre de 2019 tras la irrupción de un frente nuboso: Aeropuerto del Matorral 8.3 mm; Puerto del Rosario 12.6 mm; Antigua 11.4 mm y Oliva – el Cotillo 14.6 mm. Foto: Noticias de Fuerteventura, la Laguna de Tesjuate,

Precipitaciones acumuladas el 28 y 29 de noviembre de 2014 tras la irrupción de un frente nuboso: Puerto del Rosario 30.1 mm; Antigua 25.6 mm, La Oliva – Puerto de Corralejo 27.6 mm. Foto: Sebastián Martín – Fuerteventura Digital.

## Perfiles de precipitaciones anuales acumuladas en zonas territoriales. Espacios: centro norte, central y centro sur

Procedimiento gráfico para diferenciar las cuantías de las precipitaciones acumuladas anuales en un territorio con características físicas similares e indicar su variabilidad de la serie temporal, así como la posibilidad de probar la "existencia de ciclos pluviométricos anuales" en un intervalo de tiempo corto. Trazamos perfiles pluviométricos con **líneas quebradas** en distinta coloración y trazos.

La **línea quebrada** es la unión de segmentos de recta, en la cual el extremo de cada segmento es el inicio del siguiente, excepto del último. Los trazos lineales forman ángulos distintos, los segmentos son inclinados, las precipitaciones anuales acumuladas varían con irregularidad en años consecutivos, factor geométrico de acuerdo con los parámetros estadísticos de dispersión, coeficiente de variación del valor medio de la serie temporal mostrada en el anexo.

Si el ángulo que une trazos:

- es **agudo**, existe mayor variabilidad entre años pluviométricos consecutivos, trazos empinados". Los años consecutivos son muy distintos. Situación hidrológica más probable.

- es **obtuso**, existe poca variabilidad entre años pluviométricos, trazos "casi horizontales". Los años consecutivos son similares, no idénticos. Situación hidrológica probable.

- es **llano**, no existe variabilidad, trazos "horizontales". Los años consecutivos son idénticos.

Situación hidrológica poco probable.

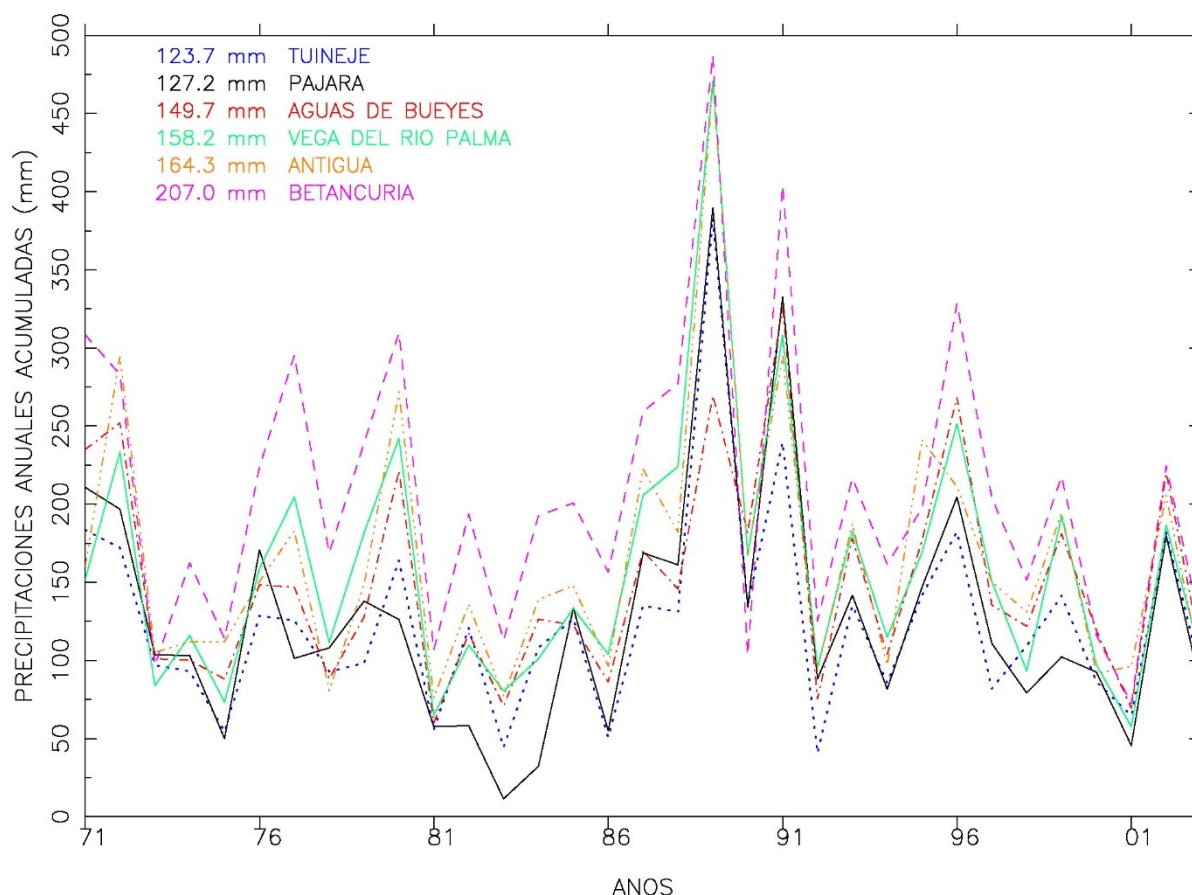
Las **líneas quebradas** muestran los "contrastes" de las precipitaciones diarias acumuladas de cada año en lugares destacados en una superficie extensa con una misma orientación geográfica. El objetivo de las líneas es resaltar las características de cada región con altitudes diferentes, así como, el régimen pluviométrico. Comparaciones gráficas de las precipitaciones anuales acumuladas en un mismo periodo de observaciones: enero 1971 a diciembre 2003. Mostramos contrastes pluviométricos en tres espacios distintos: centro norte, centro y sur centro.

El análisis pluviométrico se expone en gráficas en cada zona. En el borde superior izquierdo de cada una de ellas aparecen líneas con informaciones en seis colores distintos, así como precipitación acumulada anual media de la serie temporal. La cuantía del coeficiente de variación (ver anexo) indica la aleatoriedad de las precipitaciones en distintos lugares. El régimen pluviométrico en el centro insular destaca más que en las zonas extremas de la isla. La superficie septentrional es levemente más "mojada" que la superficie meridional. También, ligeramente mayor aleatoriedad del régimen pluviométrico en las franjas costeras meridionales que en la medianía baja, cotas 150 m a 400 m. Las zonas de cumbres carecen de pluviómetros.

El régimen pluviométrico es irregular debido a la variabilidad natural de las precipitaciones cada año a causa de la presencia de irrupciones de aire marítimo húmedo o borrascas atlánticas favorables a desencadenar lluvias copiosas a torrenciales. Situaciones barométricas anheladas por los majorereros de frentes nubosos, bajas presiones atlánticas y por qué no, las temibles depresiones en atura que aportan grandes cantidades de agua a sus tierras.

- *Precipitaciones diarias acumuladas en lapsos anuales en la zona centro, la más lluviosa*

PRECIPITACIONES ANUALES ACUMULADAS EN EL CENTRO INSULAR



**Perfiles pluviométricos anuales altitudinales de la zona central de Fuerteventura**

Las líneas quebradas o pluviométricas anuales son variopintas, pero a su vez se mantienen dentro de un mismo rango de valores, bien diferenciados para cada altitud. Presentamos las precipitaciones anuales acumuladas en Betancuria, lugar representativo de la medianía lluviosa y donde su serie temporal de observaciones diaria es completa.

1971	1972	1973	1974	1975	1976	1977	1978	1979	1980	1981
308.5	282.9	96.6	162.4	113.9	223.7	295.3	168.8	239.1	309.6	106.6
1982	1983	1984	1985	1986	1987	1988	1989	1990	1991	1992
193.7	113.0	192.6	200.7	156.6	259.3	277.2	487.1	103.3	404.0	125.3
1993	1994	1995	1996	1997	1998	1999	2000	2001	2002	2003
216.8	161.6	197.4	328.5	204.0	151.6	217.9	116.1	72.5	224.5	121.1

Las precipitaciones anuales acumuladas destacadas coinciden aproximadamente en 1971, 1980, 1989, 1991, 1996 años hidrológicos “húmedos”; mientras, 1973 y 2001 son años “secos” en la región central.

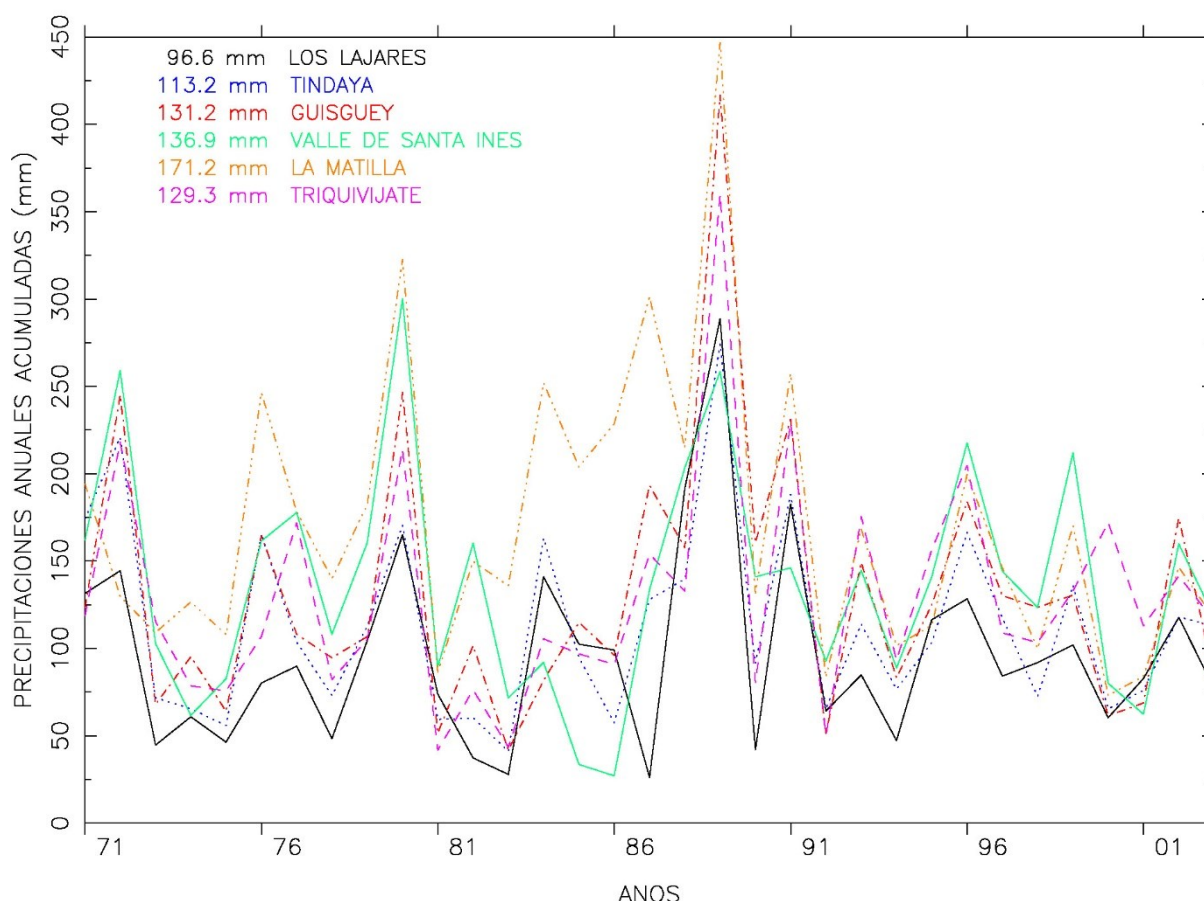
Un nuevo análisis estadístico de la serie temporal completa de precipitaciones diarias del Consejo Insular de Aguas de Fuerteventura indica un régimen pluviométrico homogéneo en altitudes similares y

la variabilidad anual, valorada por el coeficiente de variación del conjunto de precipitaciones anuales acumuladas, valores notables que oscilan entre 42 % al 51 %

Pluviómetro	Altitud	Años	P media	CV
Tuineje	168 m	41	122.6 mm	51 %
Agua de Bueyes	248 m	53	147.6 mm	44 %
Vega del Río Palma	263 m	56	153.4 mm	48 %
Antigua	269 m	55	158.4 mm	48 %
Betancuria	415 m	56	202.2 mm	42 %
Tefía	190 m	62	128.1 mm	51 %
La Ampuyenta	235 m	56	131.1 mm	51 %
Tetir	279 m	62	130.6 mm	49 %
Castillo Lara	490 m	59	191.8 mm	43 %

- *Precipitaciones diarias acumuladas en lapsos anuales en la zona centro norte*

PRECIPITACIONES ANUALES ACUMULADAS EN EL CENTRO NORTE INSULAR



**Perfiles pluviométricos anuales altitudinales de la zona centro norte de Fuerteventura**

Las líneas quebradas o pluviométricas anuales son variopintas, pero a su vez se mantienen dentro de un mismo intervalo de valores, bien diferenciados para cada altitud. A penas se cortan o cruzan entre sí, es decir, las líneas pluviométricas son paralelas, por consiguiente, el centro norte mayorero cada año

recibe precipitaciones similares. Presentamos las precipitaciones anuales acumuladas en Puerto del Rosario - La Matilla (358 m) representativo de la medianía norte húmeda y donde su serie temporal de observaciones diaria es completa.

1971	1972	1973	1974	1975	1976	1977	1978	1979	1980	1981
194.3	129.7	109.1	126.6	107.9	246.4	178.3	140.0	182.4	322.7	86.5
1982	1983	1984	1985	1986	1987	1988	1989	1990	1991	1992
149.8	136.0	251.9	204.0	228.5	301.2	214.9	446.6	131.7	257.3	83.5
1993	1994	1995	1996	1997	1998	1999	2000	2001	2002	2003
168.5	101.6	113.2	199.6	146.1	99.9	170.1	73.1	84.2	146.6	117.3

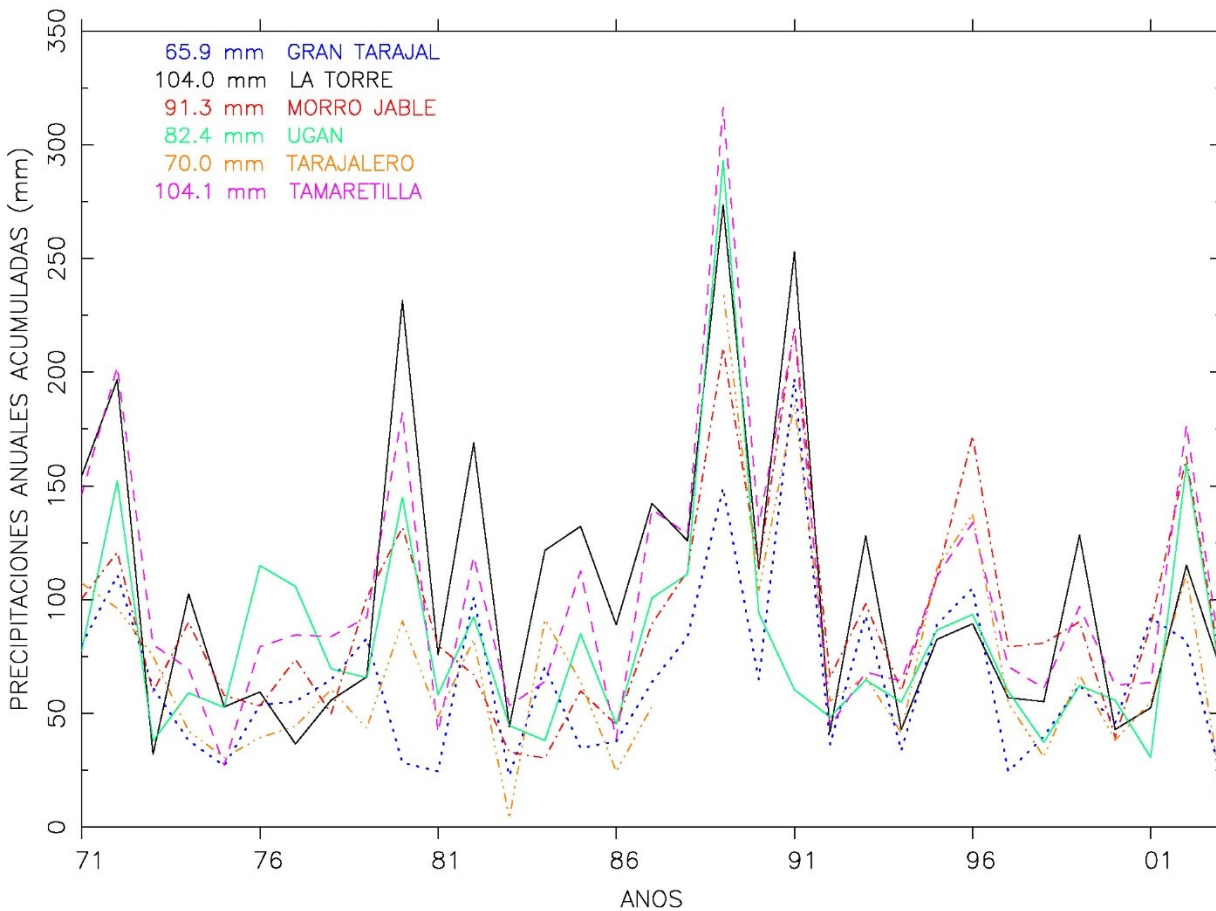
Las precipitaciones anuales acumuladas destacadas coinciden aproximadamente en 1980, 1987, 1989 y 1991, años hidrológicos “húmedos”; mientras, 1981, 1992, 2000 y 2001 son años “secos” en la región septentrional.

Un nuevo análisis estadístico de la serie temporal completa de precipitaciones diarias del Consejo Insular de Aguas de Fuerteventura indica un régimen pluviométrico homogéneo en altitudes similares y en la variabilidad anual, valorada por el coeficiente de variación del conjunto de precipitaciones anuales acumuladas, valores notables que oscilan entre 48 % al 59 %

Pluviómetro	Altitud	Años	P media	CV
Lajares	73 m	41	92.4 mm	57 %
Guisgüey	134 m	41	121.3 mm	59 %
Tindaya	144 m	40	107.2 mm	48 %
Valle de Santa Inés	212 m	41	134.8 mm	48 %
Triquivijate	248 m	41	123.7 mm	51 %
La Matilla	358 m	40	158.1 mm	50 %
Villaverde	207 m	41	128.1 mm	49 %
Vallebrón	257 m	41	158.5 mm	48 %

- *Precipitaciones diarias acumuladas en lapsos anuales en la zona centro sur, la menos lluviosa*

PRECIPITACIONES ANUALES ACUMULADAS EN EL SUR CENTRO INSULAR



**Perfiles pluviométricos anuales altitudinales de la zona centro sur de Fuerteventura**

Las líneas quebradas o pluviométricas anuales son variopintas, pero a su vez se mantienen dentro de un mismo intervalo de valores, bien diferenciados para cada altitud. A penas se cortan o cruzan entre sí, es decir, las líneas pluviométricas son paralelas, por consiguiente, el centro sur majorero cada año recibe precipitaciones similares. Presentamos las precipitaciones anuales acumuladas en Puerto del Rosario - Tamaretilla (115 m) representativo de la costa meridional poco lluviosa, donde su serie temporal de observaciones diaria es completa.

1971	1972	1973	1974	1975	1976	1977	1978	1979	1980	1981
146.0	202.5	80.2	69.7	27.2	79.4	84.5	83.8	92.2	182.2	41.6
1982	1983	1984	1985	1986	1987	1988	1989	1990	1991	1992
119.0	53.5	64.0	112.6	38.6	139.7	128.7	316.3	132.5	218.6	44.2
1993	1994	1995	1996	1997	1998	1999	2000	2001	2002	2003
68.1	64.3	110.2	133.8	70.6	61.1	96.9	62.5	63.5	176.7	70.6

Las precipitaciones anuales acumuladas destacadas coinciden aproximadamente en 1972, 1989 y 1991. años hidrológicos “ligeramente húmedos”; mientras, 1975, 1981, 1986 y 1991 son años “muy secos” en la región septentrional.

Un nuevo análisis estadístico de la serie temporal completa de precipitaciones diarias del Consejo Insular de Aguas de Fuerteventura indica un régimen pluviométrico homogéneo en altitudes similares y en la variabilidad anual, valorada por el coeficiente de variación del conjunto de precipitaciones anuales acumuladas, valores notables que oscilan entre 55 % al 67 %

Pluviómetro	Altitud	Años	P media	CV
Gran Tarajal	23 m	53	60.8 mm	65 %
La Torre	28 m	56	99.5 mm	58 %
Morro Jable	30 m	61	87.9 mm	56 %
Ugán	61 m	55	70.7 mm	67 %
Tarajalejo	72 m	41	72.2 mm	67 %
Tamaretilla	115 m	41	100.0 mm	58 %
Puerto de la Peña	19 m	41	96.6 mm	67 %
Aeropuerto Matorral	23 m	51	94.2 mm	55 %

### Conclusión final

Es importante destacar en el conjunto precipitaciones anuales acumuladas en la zona central

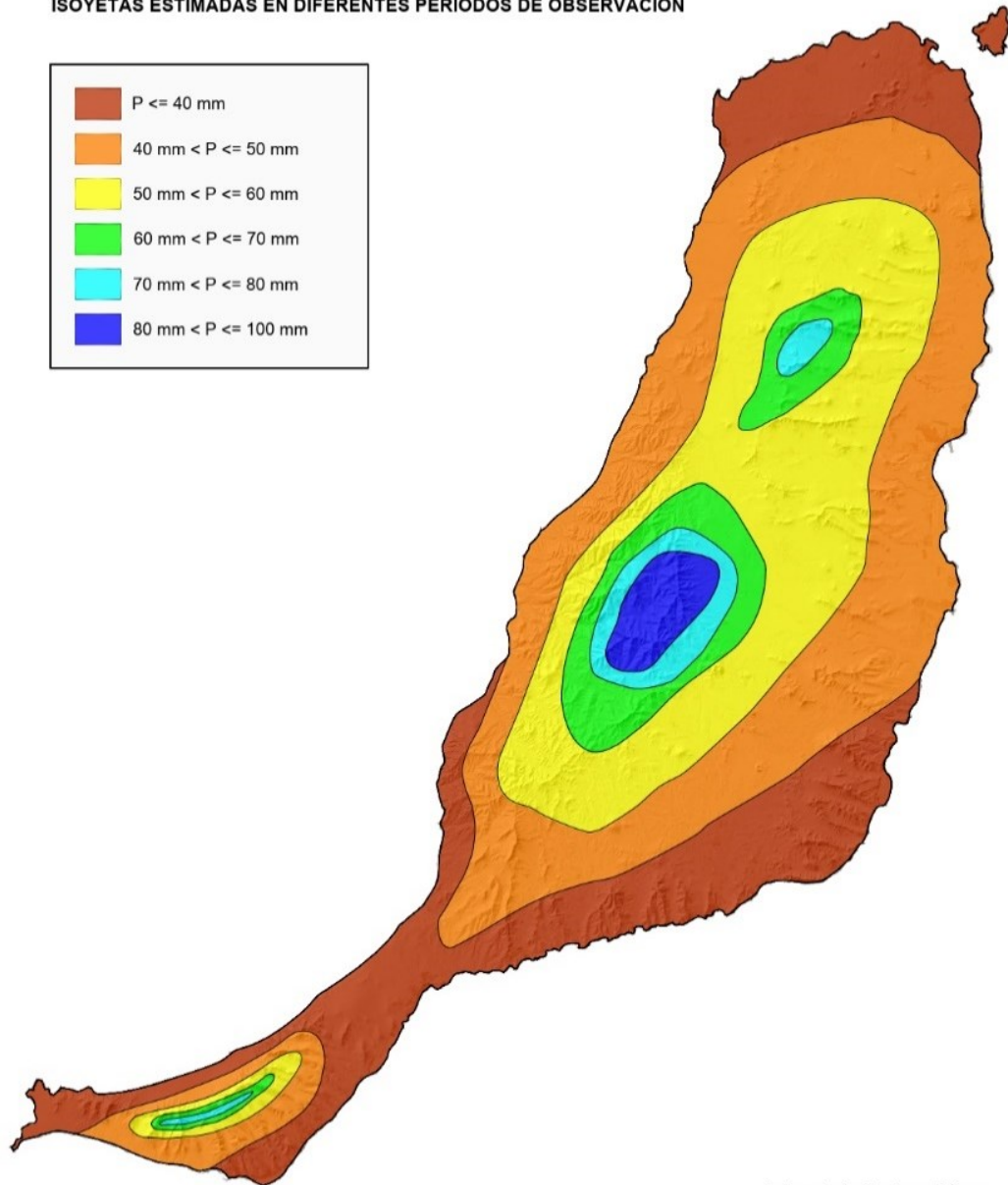
- En general, aumentan sus cuantías al ascender hasta cotas de cumbre.
- Sus cuantías son variables en el periodo de cuatro a seis décadas. Dependen de la frecuencia de eventos barométricos atlánticos que aportan cantidades notables de agua.
- En medianías la variabilidad pluviométrica es notablemente inferior a la costa. Los coeficientes de variación de las precipitaciones anuales se incrementan en el descenso de altitud.
- La tendencia de la pluviosidad anual es la misma sobre cualquier punto una misma zona geográfica. Un año "seco" o "mojado" sucede en cualquier lugar.
- No existen ciclos hidrológicos anuales. Periodo anual de observaciones bastante corto.

Las pendientes de los trazos en las líneas quebradas indican "visualmente" la variabilidad de las precipitaciones, de la misma manera, los coeficientes de variación de las precipitaciones anuales medias de cada lugar lo hacen "numéricamente". También, sobre las superficies costeras, las precipitaciones anuales acumuladas son más cambiantes.

En general, *"las precipitaciones anuales acumuladas son distintas en un mismo lugar y aumentan en el ascenso de altitud en un mismo año"*

## Precipitaciones estacionales medias acumuladas estimadas. Precipitaciones obtenidas en estaciones pluviométricas Hellmann y automáticas. Isoyetas invernales y otoñales estimadas medias

### PRECIPITACIONES INVERNALES ACUMULADAS MEDIAS ISOYETAS ESTIMADAS EN DIFERENTES PERIODOS DE OBSERVACIÓN



Autor: Luis Santana Pérez  
Diseño: Andrés Delgado Izquierdo

### Mapa esquemático de isoyetas invernales medias estimadas

El islote Lobos, las franjas costeras norte, este sureste a sur y sur suroeste a oeste suroeste reciben las menores cantidades de precipitaciones ( $P < 40$  mm), cotas inferiores a 75 m. Por el contrario, zonas concretas de medianías y cumbres, superficies reducidas, longitudinales, cresterías de los macizos de Jandía y Betancuria, y medianías centro a norte reciben las mayores cantidades de precipitaciones ( $70 \text{ mm} < P < 100$  mm), cotas superiores a 275 m.

Resaltan las precipitaciones exiguas acumuladas en la costa sur a sotavento y medianía baja de la península de Jandía, costas oeste a nornoroeste y nornoreste a este, cotas inferiores a 100 m, y medianía baja circundante del centro insular ( $40 \text{ mm} < P < 50$  mm), cotas entre 100 m a 175 m. También, las

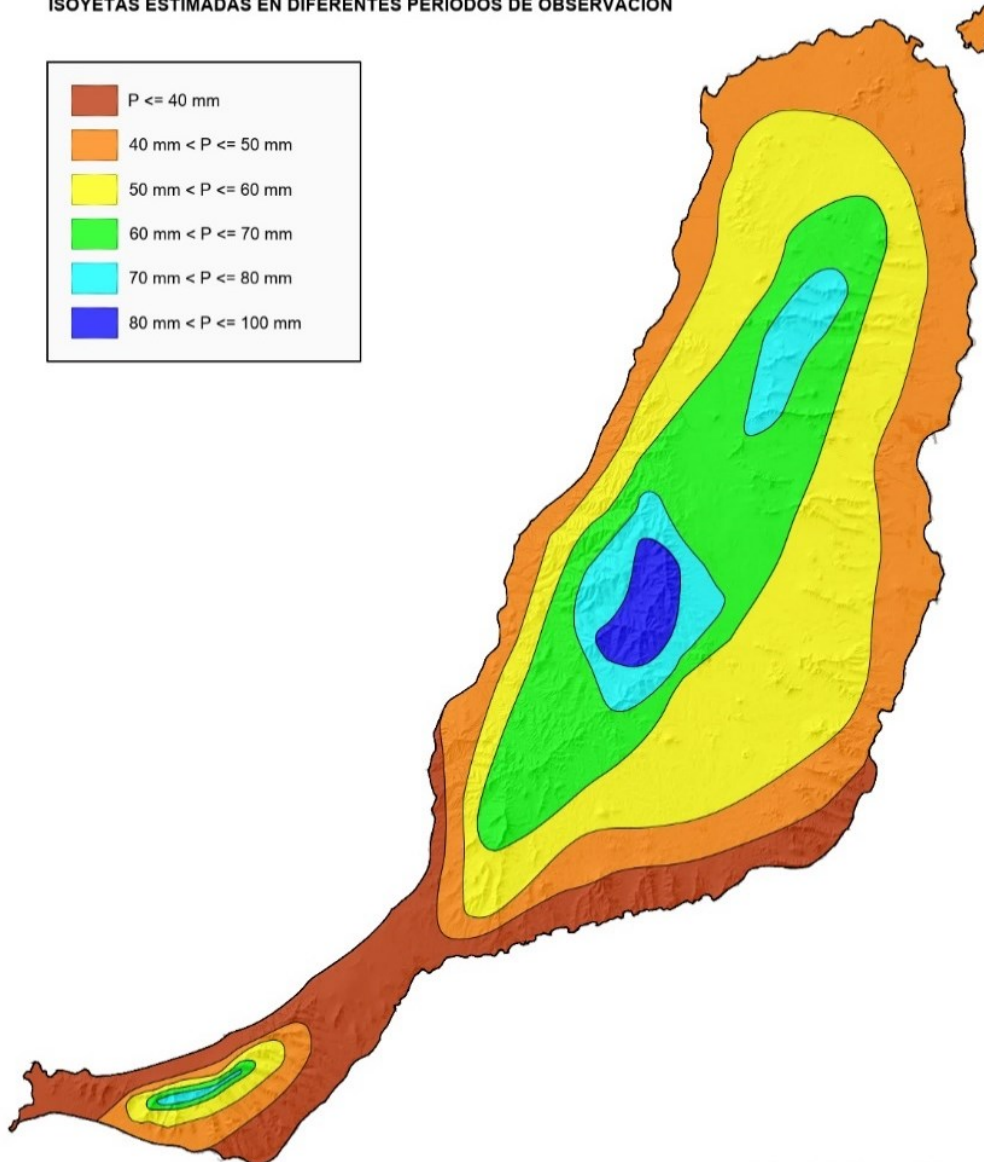
precipitaciones escasas acumuladas en las medianías de la península de Jandía, franja circunvalante de medianía baja, centro insular ( $50 \text{ mm} < P < 60 \text{ mm}$ ), cotas entre 150 m a 250 m.

Además, precipitaciones destacadas acumuladas en las superficies longitudinales de medianías en la península de Jandía y centro insular ( $60 \text{ mm} < P < 70 \text{ mm}$ ), cotas entre 200 m a 275 m.

Ejemplos de precipitaciones anuales medias en lugares concretos: Islote de Lobos (5 m) 26 mm; Faro Estallada (185 m) 24 mm; Puerto del Rosario (30 m) 46 mm; Aeropuerto el Matorral (25 m) 42 mm; Pozo Negro (7 m) 50 mm; Gran Tarajal (23 m) 25 mm; Tarajalejo (72 m) 32 mm; Morro Jable (30 m) 38 mm; Ugán (61 m) 31 mm; La Oliva (229 m) 59 mm; Vallebrón (257 m) 67 mm; Tefía (190 m) 59 mm; Tetir (279 m) 58 mm; La Matilla (358 m) 72 mm; La Ampuyenta (235 m) 55 mm; Vega de Río Palma (263 m) 69 mm; Valle Santa Inés (212 m) 59 mm; Guisgüey (139 m) 55 mm; Aguas de Bueyes (248 m) 62 mm; Antigua (269 m) 70 mm; Betancuria (415 m) 90 mm y Castillo de Lara (490 m) 81 mm.

*La comparación de las superficies cromáticas nos indica más bien a afirmar que la franja costera es notablemente seca y las medianías son ligeramente más lluviosas.*

**PRECIPITACIONES OTOÑALES ACUMULADAS MEDIAS**  
ISOYETAS ESTIMADAS EN DIFERENTES PERIODOS DE OBSERVACIÓN



Autor: Luis Santana Pérez  
Diseño: Andrés Delgado Izquierdo

**Mapa esquemático de isoyetas otoñales medias estimadas**

Las amplias franjas costeras este sureste a sur, istmo de Jandía y sur suroeste a oeste suroeste reciben las menores cantidades de precipitaciones ( $P < 40$  mm), cotas inferiores a 70 m. Por el contrario, zonas concretas de medianías y cumbres, superficies reducidas, longitudinales, cresterías de los macizos de Jandía y Betancuria, y medianías centro a norte reciben las mayores cantidades de precipitaciones ( $70 \text{ mm} < P < 100$  mm), cotas superiores a 225 m.

Resaltan las precipitaciones exiguas acumuladas en el islote de Lobos, las costas sur a sotavento y una larga franja casi circunvalante desde oeste suroeste a este sureste; asimismo, las medianías bajas este sur este a oeste suroeste y macizo de Jandía ( $40 \text{ mm} < P < 50$  mm), cotas inferiores a 185 m. También, las precipitaciones escasas acumuladas en las medianías de la península de Jandía, franja circunvalante de medianía baja, centro insular ( $50 \text{ mm} < P < 60$  mm), cotas entre 125 m a 225 m.

Además, precipitaciones destacadas acumuladas en las superficies longitudinales medianías de la península de Jandía, franja longitudinal de medianías, centro insular ( $60 \text{ mm} < P < 70$  mm), cotas entre 200 m a 275 m.

Ejemplos de precipitaciones anuales medias en lugares concretos: Islote de Lobos 42 mm; Faro Estallada 31 mm; Puerto del Rosario 40 mm; Aeropuerto el Matorral 45 mm; Pozo Negro 46 mm; Gran Tarajal 33 mm; Tarajalejo 36 mm; Morro Jable 34 mm; Ugán 35 mm; La Oliva 72 mm; Vallebrón 77 mm; Tefía 61 mm; Tetir 62 mm; La Matilla 71 mm; Ampuyenta 68 mm; Vega de Río Palma 75 mm; Valle Santa Inés 65 mm; Guisgüey 57 mm; Aguas de Bueyes 75 mm; Antigua 79 mm, Betancuria 93 mm y Castillo de Lara 93 mm

*La comparación de las superficies cromáticas nos indica más bien a afirmar que la franja costera este a oeste es notablemente seca y las medianías son ligeramente más lluviosas.*

*Asimismo, el tratamiento matemático realizado con las precipitaciones diarias registradas en todas las series de estaciones meteorológicas automáticas, revelan que las precipitaciones acumuladas en otoño (octubre, noviembre y diciembre) son superiores en 16.4 % a las precipitaciones acumuladas en invierno (enero, febrero y marzo) en una cuantía de 16.4 % de su valor global. También aseguramos que noviembre es el periodo más lluvioso, superior a cualquier mes invernal.*

**Tabla de precipitaciones estacionales y anuales medias acumuladas estimadas.  
Precipitaciones realizadas en estaciones meteorológicas automáticas**

	PERIODO		ALTO	ANOS	INVIE	PRIMA	VERAN	OTONO	ANUAL
			metros		mm	mm	mm	mm	mm
LA OLIVA - PUERTO DE CORRALEJO	2011	2015	6	5	28.4	3.9	3.4	51.4	87.1
LA OLIVA - CARRETERA DEL COTILLO	2013	2020	217	8	50.9	4.3	2.3	52.5	110.0
PUERTO DEL ROSARIO - CIUDAD	2006	2021	30	16	44.9	5.2	1.8	43.4	95.3
PTO. DEL ROSARIO AEROPUERTO MATORRAL	2015	2020	25	6	30.7	4.3	1.4	45.9	82.4
ANTIGUA - POZO NEGRO	2002	2016	68	15	39.2	6.1	1.7	49.7	96.7
ANTIGUA - BARRANCO DEL CARBÓN	2011	2020	252	10	55.5	8.9	2.6	42.3	109.3
ANTIGUA - LOS MOLINOS	2002	2014	269	13	63.8	12.3	3.9	68.2	148.2
BETANCURIA	2020	2020	400	1	38.1	24.5	24.9	63.6	151.1
TUINEJE - PUERTO DE GRAN TARAJAL	2011	2020	5	9	20.1	3.6	1.0	30.0	54.7
TUINEJE - TISCAMANITA	2020	2020	245	1	28.3	10.0	30.5	42.8	111.6
PÁJARA - MORRO JABLE	2014	2020	10	7	18.7	1.8	1.8	23.0	45.3
PÁJARA - COSTA CALMA	2020	2020	25	1	12.2	7.9	3.1	24.2	47.4
PÁJARA - HOGAR DEL PENSIONISTAS	2020	2020	210	1	16.9	9.5	22.4	16.1	64.9

**Perfiles de precipitaciones invernales y otoñales representativas de la región central.  
Series temporales largas desde el inicio de las observaciones en zonas húmedas.  
Puerto del Rosario - Tefía y Betancuria**

Procedimiento gráfico para diferenciar las cuantías de las precipitaciones acumuladas invernales y otoñales en un territorio con características físicas similares e indicar su variabilidad a partir de la serie temporal, así como la posibilidad de probar la "existencia de ciclos pluviométricos estacionales" en el periodo más largo de observaciones efectuadas en la isla. Trazamos perfiles pluviométricos con igual coloración y distintos trazos. Periodos invernal trazo continuo y otoñal trazo discontinuo.

Las líneas quebradas muestran los "contrastes" de las precipitaciones diarias acumuladas en cada tramo estacional en lugares representativos de una región húmeda extensa con una misma orientación geográfica. Comparaciones gráficas de las precipitaciones invernales y otoñales acumuladas de dos series pluviométricas temporales en un mismo periodo común de observaciones: enero 1947 a diciembre 2017 (Tefía) y enero 1956 a diciembre 2016 (Betancuria). Mostramos contrastes pluviométricos en la zona central húmeda para dos altitudes distintas. Las precipitaciones en el lapso 2004 a 2010 no han sido facilitadas.

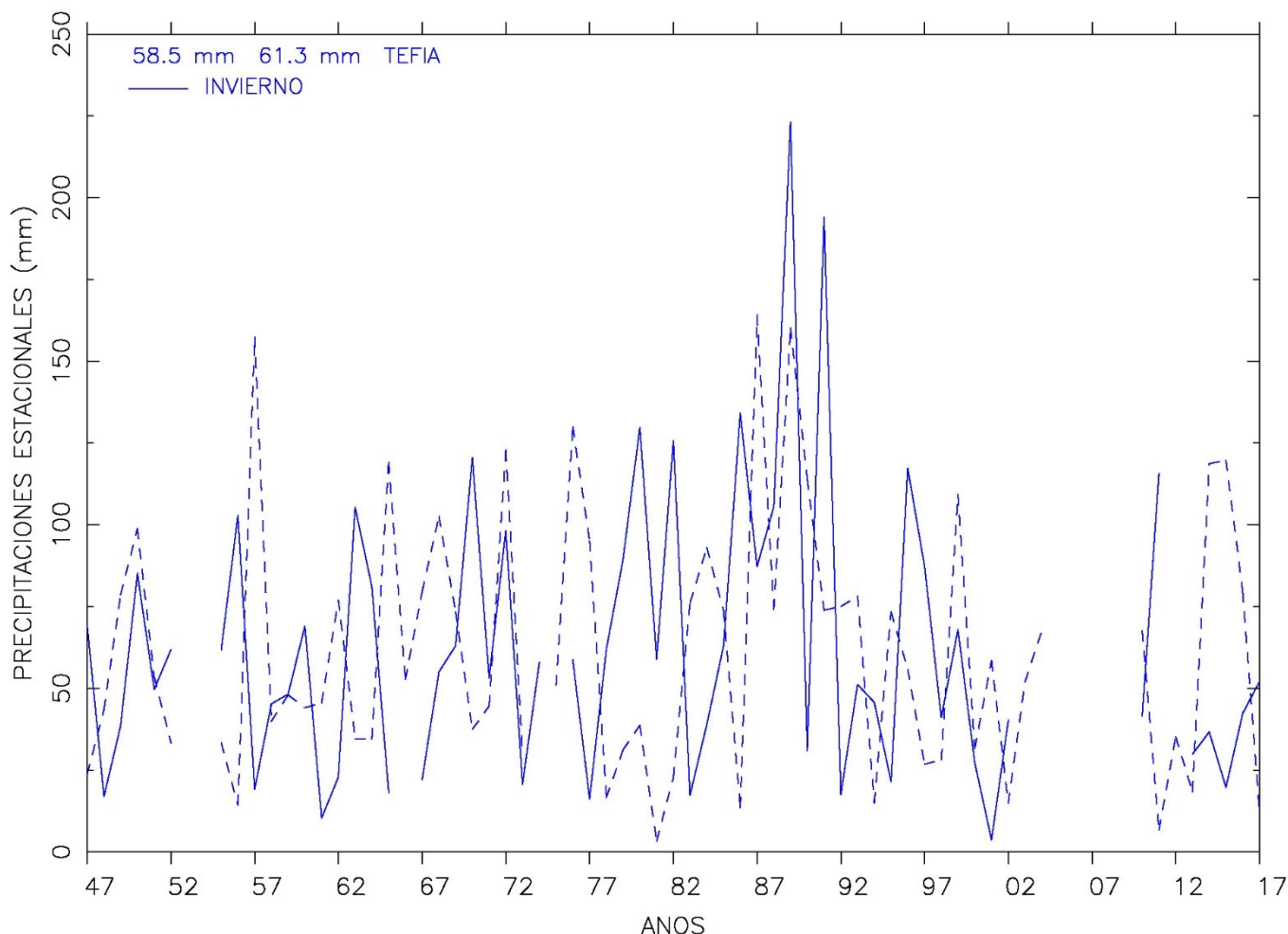
El análisis pluviométrico en un lugar concreto se expone con dos de trazos diferentes. En el borde superior izquierdo aparecen las precipitaciones medias acumuladas de la serie temporal en invierno y en otoño. La cuantía del coeficiente de variación de cada precipitación mensual media (ver anexo) indica la aleatoriedad de las precipitaciones. El régimen pluviométrico en el centro insular destaca más que en las zonas extremas de la isla.

Las cuantías medias de las precipitaciones estacionales indican las escasas precipitaciones recogidas sobre la superficie mayorera, valores semejantes. Asimismo, nos atrevemos a afirmar que el otoño es ligeramente más lluvioso que el invierno.

La variabilidad en el régimen pluviométrico se debe a la irregularidad cada año en la presencia de irrupciones de aire marítimo húmedo o borrascas atlánticas favorables a desencadenar precipitaciones copiosas. Situaciones barométricas anheladas, frentes nubosos, bajas presiones atlánticas y por qué no, las temibles depresiones en altura que aportan grandes cantidades de agua a la sedienta tierra mayorera.

- *Precipitaciones diarias acumuladas en lapsos anuales en la zona centro sur, la menos lluviosa*

PRECIPITACIONES INVERNAL y OTONAL ACUMULADAS EN FUERTEVENTURA

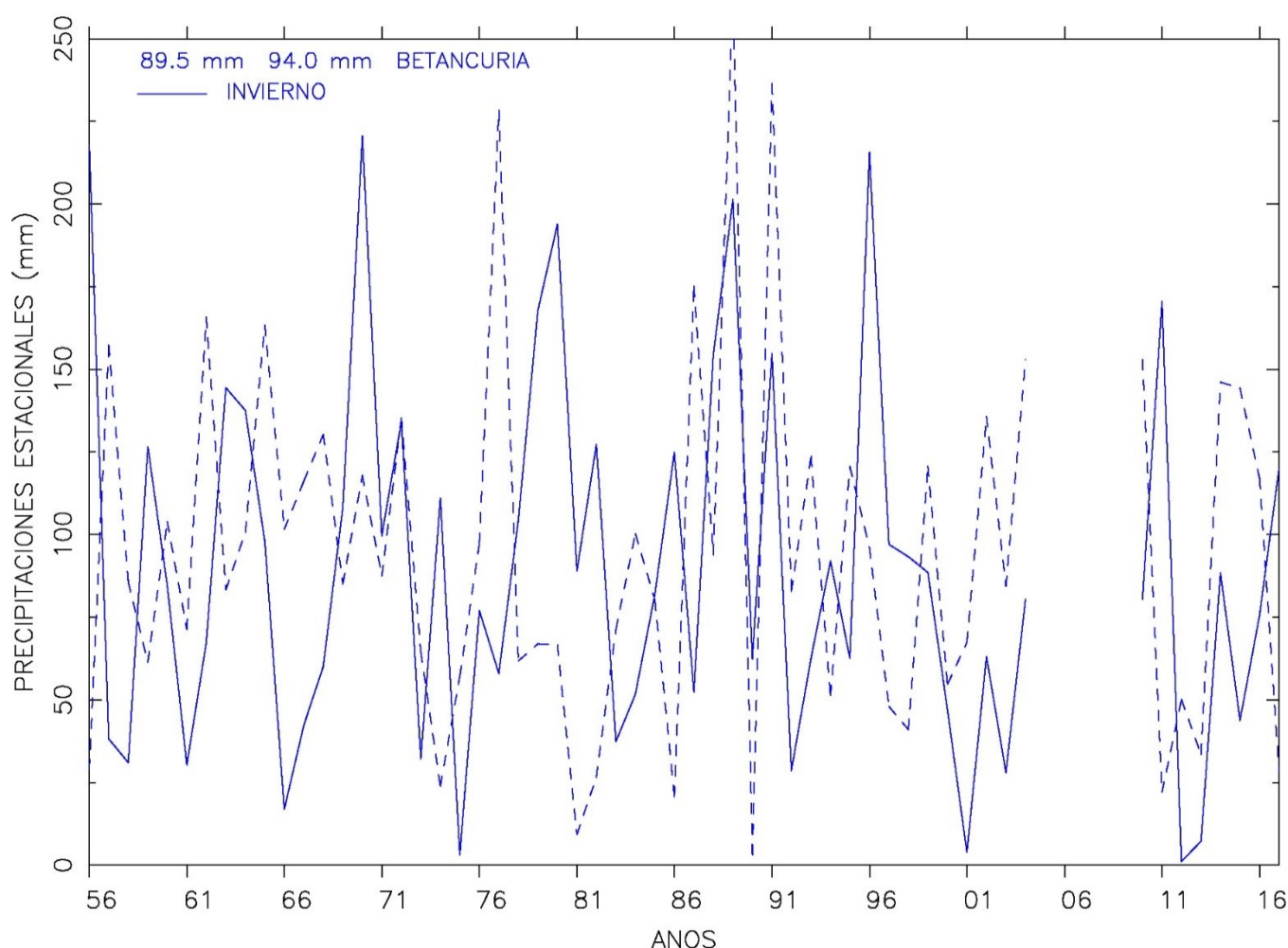


### Perfiles pluviométricos invernal y otoñal de la zona central húmeda, Puerto del Rosario - Tefía

Líneas pluviométricas estacionales son variopintas, pero a su vez se mantienen dentro de un mismo intervalo de valores, bien diferenciados para cada año. Las líneas se cortan o cruzan entre sí, es decir, las cuantías de las precipitaciones invernales y otoñales cambian arbitrariamente, no siguen un patrón. Las precipitaciones otoñales medias son ligeramente superiores a las precipitaciones invernales medias en la serie temporal de observaciones interrumpida en dos ocasiones.

	Ene	Feb	Mar	Invierno	Oct	Nov	Dic	Otoño
Prec acum	23.3 mm	19.3 mm	15.9 mm	58.6 mm	12.1 mm	24.6 mm	23.7 mm	60.6 mm
CV	104 %	153 %	122 %		183 %	115 %	114 %	
Años	63	62	62		63	63	63	

PRECIPITACIONES INVERNAL y OTONAL ACUMULADAS EN FUERTEVENTURA



**Perfiles pluviométricos invernal y otoñal de la zona central húmeda, Betancuria**

Líneas pluviométricas estacionales son variopintas, pero a su vez se mantienen dentro de un mismo intervalo de valores, bien diferenciados para cada año. Las líneas se cortan o cruzan entre sí, es decir, las cuantías de las precipitaciones invernales y otoñales cambian arbitrariamente, no siguen un patrón. Las precipitaciones otoñales medias son ligeramente superiores a las precipitaciones invernales medias en la serie temporal de observaciones interrumpida en una ocasión

	Ene	Feb	Mar	Invierno	Oct	Nov	Dic	Otoño
Prec acum	35.9 mm	28.5 mm	25.1 mm	89.5 mm	19.9 mm	31.8 mm	41.5 mm	93.2 mm
CV	97 %	113 %	107 %		147 %	98 %	93 %	
Años	56	56	56		57	57	57	

## ANEXO

# LAS PRECIPITACIONES EN LA TIERRA SEDIENTA: FUERTEVENTURA



La fotografía corresponde al barranco de la Torre, uno de los de mayor cuenca de Fuerteventura. Las aguas de la parte este del macizo de Betancuria terminan en él. Hay pequeñas zonas donde el agua corre durante todo el año. En los años lluviosos, extensas áreas del barranco mantienen un buen caudal de agua durante unos 6 meses. Foto y comentario de Pedro López Batista el 30 de noviembre 2010.

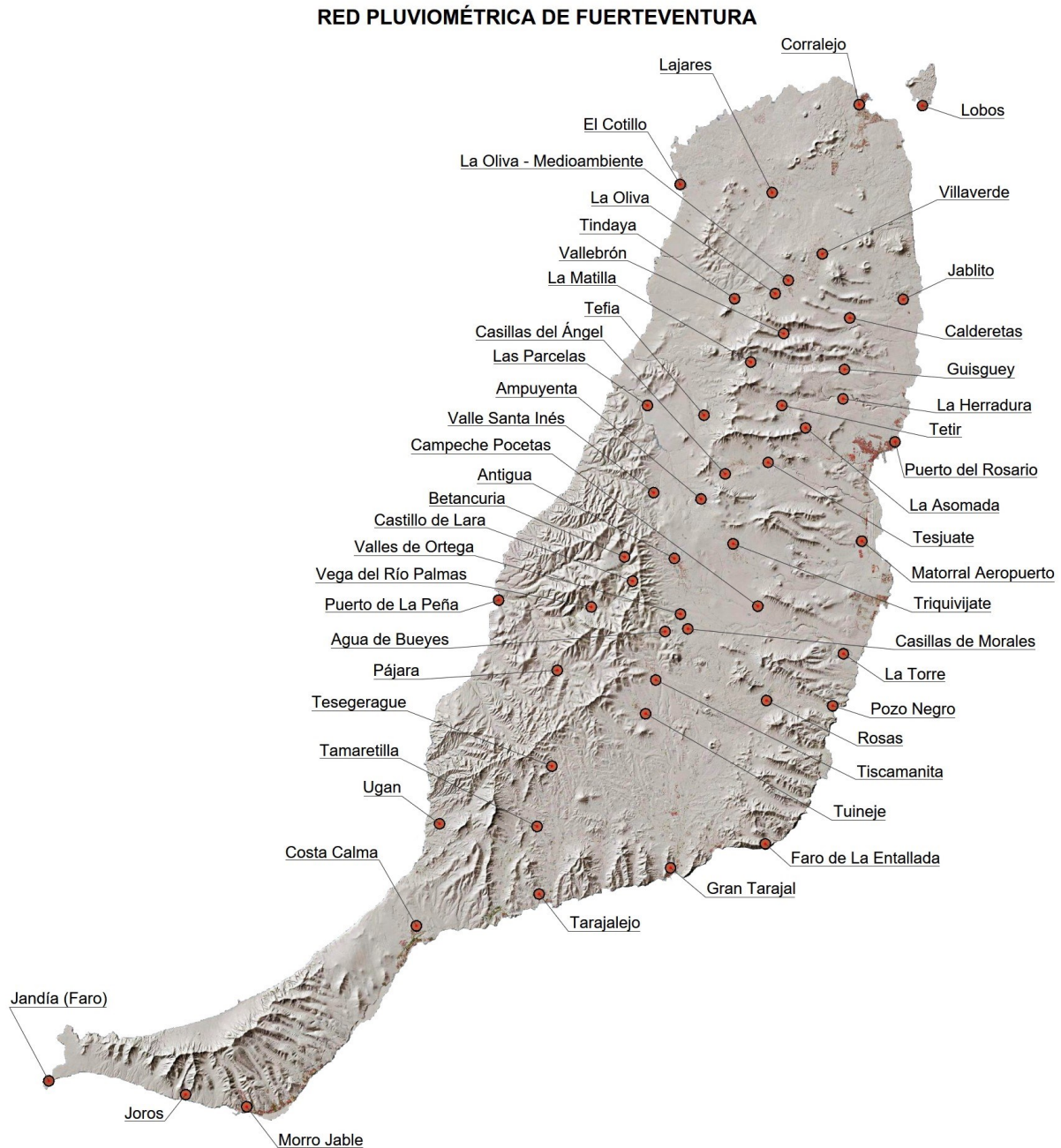
Precipitaciones intensas esporádicas riegan los sedientos campos majoreros tras el paso de frentes nubosos o núcleos de bajas presiones. En este caso, un frente nuboso muy activo con un núcleo asociado de 1000 mb situado al noroeste de Marruecos, en particular soplan vientos moderados a fuertes en el sector suroeste a norte, dominante norte; descienden las temperaturas y las humedades del aire son superiores al 80 %. Las estaciones meteorológicas en el centro insular registran 53.9 mm en Puerto del Rosario y 52.8 mm en Los Molinos, Antigua, cantidades de agua precipitadas importantes en el escaso régimen pluviométrico.

## ÍNDICE

- Red pluviométrica histórica de Fuerteventura. Observaciones realizadas en pluviómetros Hellman y estaciones meteorológicas automáticas
- Precipitaciones mensuales medias acumuladas estimadas. Precipitaciones realizadas en estaciones meteorológicas automáticas. Análisis de las precipitaciones diarias.
- Precipitaciones registradas en estaciones meteorológicas manuales. Precipitaciones estacionales y anuales medias acumuladas. Consejo Insular de Aguas de Fuerteventura. Pluviómetros Hellmann
- Precipitaciones estacionales y anuales medias acumuladas. Análisis de las precipitaciones diarias

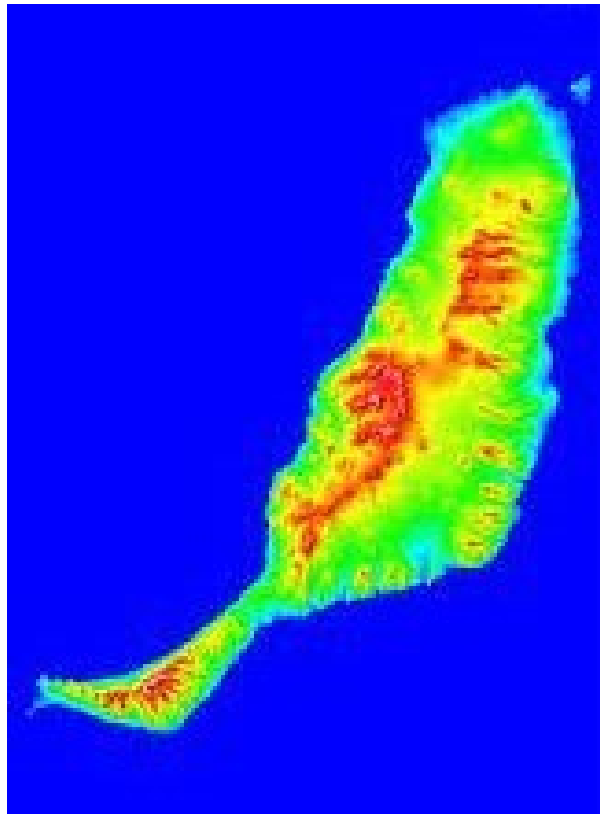
# RED PLUVIOMÉTRICA HISTORICA DE FUERTEVENTURA

## OBSERVACIONES EN PLUVIÓMETROS HELLMANN Y ESTACIONES AUTOMÁTICAS



Diseño: Andrés Delgado Izquierdo

### Red pluviométrica de estaciones Hellmann y meteorológicas automáticas



### **Relieve montañoso de Fuerteventura**

Tres macizos bien diferenciados destacan sobre la superficie mayorera. Macizo norte, sobresale el cerro del Aceitunal 685 m; macizo central de Betancuria, sobresale el pico de la Atalaya 762 m y el macizo sur en la península de Jandía, el pico de la Zarza 807 m. Lugares montañosos que recogen la mayor pluviometría insular y la presencia de neblinas y nieblas son frecuentes.

### **Relación de estaciones meteorológicas automáticas**

6 m	LA OLIVA - PUERTO DE CORRALEJO
217 m	LA OLIVA - CARRETERA DEL COTILLO
30 m	PUERTO DEL ROSARIO
25 m	PTO ROSARIO – AEROPUERTO DEL MATORRAL
68 m	ANTIGUA - POZO NEGRO
252 m	ANTIGUA - BARRANCO DEL CARBÓN
269 m	ANTIGUA - LOS MOLINOS
400 m	BETANCURIA
6 m	TUINEJE - PUERTO GRAN TARAJAL
245 m	TUINEJE - TISCAMANITA
6 m	PÁJARA - MORRO JABLE
25 m	PÁJARA - COSTA CALMA
210 m	PÁJARA - HOGAR DEL PENSIONISTAS

### **PRECIPITACIONES MENSUALES MEDIAS ACUMULADAS**

## ANALISIS DE LAS PRECIPITACIONES DIARIAS

6 m. LA OLIVA - PUERTO DE CORRALEJO

	ENE	FEB	MRZ	ABR	MAY	JUN	JUL	AGT	SEP	OCT	NOV	DIC
OBSER	5	5	5	5	5	5	5	5	5	5	5	5
MEDIA	16.4	2.8	9.2	2.4	1.4	0.1	0.1	1.0	2.3	27.8	22.4	1.3
LIM IN	0.0	0.0	0.0	0.1	0.0	0.0	0.0	0.0	0.0	0.0	0.0	0.4
LIM SU	39.2	7.2	19.7	4.7	3.9	0.3	0.2	3.1	6.1	59.6	53.3	2.2
C VAR.	159.6	175.4	131.9	108.5	207.8	149.1	136.9	223.6	190.1	130.9	157.9	75.5

28 mm : INVIERNO                      4 mm : PRIMAVERA                      3 mm : VERANO                      51 mm : OTOÑO

PRECIPITACIÓN ACUMULADA ANUAL ESTIMADA : 87.1 milímetros

2011 - 2015	ENE	FEB	MRZ	ABR	MAY	JUN	JUL	AGT	SEP	OCT	NOV	DIC	TOTAL
PREC => 1 mm	7	4	8	6	2	0	0	2	4	14	15	3	65
PREC => 5 mm	4	1	3	0	0	0	0	0	1	4	7	0	20
PREC => 10 mm	2	0	2	0	0	0	0	0	0	3	6	0	13
PREC => 20 mm	1	0	0	0	0	0	0	0	0	2	0	0	3

CALENDARIO DE DÍAS LLUVIOSOS SUPERIORES A 20 milímetros

46.2 mm 22 EN 2011      43.8 mm 28 OC 2012      43.2 mm 22 OC 2015

217 m. LA OLIVA - CARRETERA DEL COTILLO

	ENE	FEB	MRZ	ABR	MAY	JUN	JUL	AGT	SEP	OCT	NOV	DIC
OBSER	8	8	8	8	8	8	8	8	8	8	8	8
MEDIA	13.9	17.9	19.0	2.7	0.8	0.8	1.2	0.1	1.0	16.6	25.0	10.9
LIM IN	7.6	4.9	8.2	1.1	0.0	0.0	0.0	0.0	0.4	0.0	0.0	4.4
LIM SU	20.3	31.0	29.9	4.2	1.6	1.6	2.8	0.1	1.6	34.3	53.8	17.4
C VAR.	65.6	105.2	82.2	84.1	148.2	150.6	189.3	185.2	92.0	153.5	166.1	86.2

51 mm : INVIERNO                      4 mm : PRIMAVERA                      2 mm : VERANO                      53 mm : OTOÑO

PRECIPITACIÓN ACUMULADA ANUAL ESTIMADA : 110.0 milímetros

2013 - 2020	ENE	FEB	MRZ	ABR	MAY	JUN	JUL	AGT	SEP	OCT	NOV	DIC	TOTAL
PREC => 1 mm	25	32	21	7	2	2	2	0	5	21	35	15	167
PREC => 5 mm	6	11	8	0	0	0	1	0	0	7	13	4	50
PREC => 10 mm	2	2	5	0	0	0	0	0	0	3	5	3	20
PREC => 20 mm	0	1	2	0	0	0	0	0	0	1	1	1	6

CALENDARIO DE DÍAS LLUVIOSOS SUPERIORES A 20 milímetros

26.0 mm 4 MR 2013      22.8 mm 5 MR 2013      26.6 mm 22 NO 2014      22.0 mm 21 DI 2015  
 21.2 mm 18 FE 2016      47.2 mm 25 OC 2018

## Las precipitaciones en la Tierra sedienta: Fuerteventura

30 m. PUERTO DEL ROSARIO

	ENE	FEB	MRZ	ABR	MAY	JUN	JUL	AGT	SEP	OCT	NOV	DIC	TOTAL
2006											5.6	7.0	
2007	74.4	4.6	0.8	1.4	4.4	0.8	0.0	0.2	0.0	1.0	3.6	47.4	138.6
2008	4.0	1.8	1.6	0.0	1.4	0.0	0.0	0.0	5.8	12.6	9.8	23.0	60.0
2009	17.9	20.1	25.9	1.1	0.0	0.0	0.0	0.0	0.9	0.3	1.4	27.7	95.3
2010	10.0	58.9	1.2	5.4	0.6	0.3	0.0	0.0	2.8	9.5	80.6	11.9	181.2
2011	82.0	1.7	52.3	22.4	5.6	0.5	0.3	0.0	0.0	2.8	2.6	2.1	172.3
2012	1.2	0.0	0.0	5.2	0.0	0.0	0.0	0.0	5.1	9.6	15.1	2.8	39.0
2013	0.6	1.6	35.2	4.0	1.2	0.0	0.0	0.0	3.2	0.8	5.8	2.4	54.8
2014	14.2	16.6	12.2	2.8	0.2	0.0	0.6	0.0	0.6	0.0	85.9	4.6	137.7
2015	3.8	2.4	27.4	0.0	0.0	0.0	0.0	0.6	1.8	74.8	1.0	0.2	112.0
2016	3.2	46.0	6.3	0.0	0.9	0.6	0.3	0.3	0.0	53.9	26.5	4.8	142.8
2017	4.8	21.6	7.0	0.0	2.7	0.0	0.0	0.0	1.4	0.9	0.0	25.8	64.2
2018	25.8	27.5	6.0	6.5	0.0	0.3	0.0	0.0	0.6	44.3	25.3	0.0	136.3
2019	3.9	1.3	2.0	1.9	0.0	0.0	0.0	0.0	0.4	1.7	3.2	17.3	31.7
2020	3.4	1.0	12.8	7.0	1.5	0.0	0.5	0.8	0.7	2.6	8.8	12.9	52.0
2021	9.2	19.4											
MES	15	15	14	14	14	14	14	14	14	14	15	15	14
MED	17.2	15.0	13.6	4.1	1.3	0.2	0.1	0.1	1.7	15.3	18.3	12.7	91.2
LINF	4.2	5.9	5.3	1.1	0.4	0.0	0.0	0.0	0.7	2.7	4.4	5.9	61.7
LSUP	30.3	24.1	21.9	7.2	2.2	0.3	0.2	0.3	2.7	27.9	32.3	19.5	120.7
CV	149	120	116	141	133	154	174	191	113	157	150	106	60 %

46 mm : INVIERNO

6 mm : PRIMAVERA

2 mm : VERANO

46 mm : OTONO

PRECIPITACIÓN ANUAL ACUMULADA ESTIMADA ENTRE 2006 - 2021: 99.7 milímetros

2006 - 2021	ENE	FEB	MRZ	ABR	MAY	JUN	JUL	AGT	SEP	OCT	NOV	DIC	TOTAL
PREC => 1 mm	44	43	32	17	6	0	0	0	8	27	42	30	249
PREC => 5 mm	11	11	10	2	0	0	0	0	0	6	13	12	65
PREC => 10 mm	5	5	4	1	0	0	0	0	0	5	9	6	35
PREC => 20 mm	4	1	3	0	0	0	0	0	0	3	1	1	13

CALENDARIO DE DÍAS LLUVIOSOS SUPERIORES A 20 milímetros

39.4 mm	27 EN	2007	25.6 mm	28 EN	2007	22.2 mm	19 DI	2007	22.4 mm	27 MR	2009
26.5 mm	18 FE	2010	53.9 mm	30 NO	2010	26.8 mm	25 EN	2011	25.3 mm	30 EN	2011
26.8 mm	4 MR	2013	22.0 mm	23 MR	2015	30.0 mm	7 OC	2015	46.2 mm	26 OC	2016
35.9 mm	25 OC	2018									

25 m. PUERTO DEL ROSARIO - AEROPUERTO DEL MATORRAL

	ENE	FEB	MRZ	ABR	MAY	JUN	JUL	AGT	SEP	OCT	NOV	DIC
OBSER	6	6	6	6	6	6	6	6	6	6	6	6
MEDIA	7.8	17.0	6.0	3.5	0.8	0.0	0.1	0.0	1.3	24.7	16.0	5.3
LIM IN	0.0	0.0	2.6	0.0	0.0	0.0	0.0	0.0	0.0	4.1	0.5	1.2
LIM SU	19.7	35.1	9.3	7.9	2.0	0.0	0.2	0.1	3.5	45.2	31.5	9.3

## Las precipitaciones en la Tierra sedienta: Fuerteventura

C VAR. 189.3 133.8 69.7 156.5 177.8 244.9 244.9 208.8 104.2 121.2 96.1

31 mm : INVIERNO                      4 mm : PRIMAVERA                      1 mm : VERANO                      46 mm : OTOÑO

PRECIPITACIÓN ACUMULADA ANUAL ESTIMADA : 82.4 milímetros

2015 - 2020	ENE	FEB	MRZ	ABR	MAY	JUN	JUL	AGT	SEP	OCT	NOV	DIC	TOTAL
PREC => 1 mm	12	18	10	7	1	0	0	0	2	16	20	6	92
PREC => 5 mm	2	11	1	2	0	0	0	0	1	7	5	2	31
PREC => 10 mm	1	2	0	0	0	0	0	0	0	4	3	1	11
PREC => 20 mm	0	0	0	0	0	0	0	0	0	2	0	0	2

CALENDARIO DE DÍAS LLUVIOSOS SUPERIORES A 20 milímetros

29.2 mm 26 OC 2016    37.2 mm 25 OC 2018

68 m. ANTIGUA - POZO NEGRO

	ENE	FEB	MRZ	ABR	MAY	JUN	JUL	AGT	SEP	OCT	NOV	DIC
OBSER	15	15	15	15	15	15	15	15	15	15	15	15
MEDIA	15.6	15.2	8.4	4.4	1.5	0.1	0.1	0.3	1.4	14.2	14.5	21.0
LIM IN	4.4	5.7	3.3	1.5	0.2	0.0	0.0	0.0	0.3	3.6	3.6	6.0
LIM SU	26.7	24.7	13.6	7.4	2.9	0.2	0.3	0.6	2.5	24.8	25.5	36.0
C VAR.	141.6	123.9	120.4	132.1	169.8	227.6	387.3	275.9	160.3	147.3	149.1	141.3

39 mm : INVIERNO                      6 mm : PRIMAVERA                      2 mm : VERANO                      50 mm : OTOÑO

PRECIPITACIÓN ACUMULADA ANUAL ESTIMADA : 96.7 milímetros

2002 - 2016	ENE	FEB	MRZ	ABR	MAY	JUN	JUL	AGT	SEP	OCT	NOV	DIC	TOTAL
PREC => 1 mm	35	37	21	14	5	0	1	2	8	29	38	33	223
PREC => 5 mm	12	12	8	3	1	0	0	0	1	9	10	13	69
PREC => 10 mm	3	4	4	2	0	0	0	0	0	6	4	8	31
PREC => 20 mm	2	2	0	0	0	0	0	0	0	4	2	5	15

CALENDARIO DE DÍAS LLUVIOSOS SUPERIORES A 20 milímetros

34.8 mm 17 DI 2002    45.4 mm 18 DI 2002    21.8 mm 21 OC 2003    30.2 mm 19 FE 2004  
 20.6 mm 12 DI 2004    20.2 mm 13 DI 2004    27.6 mm 13 FE 2005    39.4 mm 27 EN 2007  
 43.4 mm 19 DI 2007    24.2 mm 29 NO 2010    45.0 mm 30 NO 2010    48.4 mm 25 EN 2011  
 28.0 mm 22 OC 2015    35.3 mm 25 OC 2016    23.6 mm 26 OC 2016

## Las precipitaciones en la Tierra sedienta: Fuerteventura

252 m. ANTIGUA - BARRANCO DEL CARBÓN

	ENE	FEB	MRZ	ABR	MAY	JUN	JUL	AGT	SEP	OCT	NOV	DIC
OBSER	10	10	10	10	10	10	10	10	10	10	10	10
MEDIA	13.4	14.3	27.8	6.1	2.2	0.6	0.2	0.3	2.1	12.3	23.1	6.9
LIM IN	3.0	3.6	11.9	1.1	0.0	0.1	0.0	0.0	0.0	0.7	0.0	2.4
LIM SU	23.8	24.9	43.7	11.0	4.8	1.1	0.5	0.9	4.2	24.0	49.2	11.3
C VAR.	125.6	120.6	92.4	131.1	190.6	125.8	279.4	275.1	157.8	152.0	182.1	104.8

55 mm : INVIERNO                      9 mm : PRIMAVERA                      3 mm : VERANO                      42 mm : OTOÑO

PRECIPITACIÓN ACUMULADA ANUAL ESTIMADA : 109.3 milímetros

2011 - 2020	ENE	FEB	MRZ	ABR	MAY	JUN	JUL	AGT	SEP	OCT	NOV	DIC	TOTAL
PREC => 1 mm	29	30	34	15	4	4	1	1	8	20	41	17	204
PREC => 5 mm	7	9	12	3	1	0	0	0	0	7	16	2	57
PREC => 10 mm	3	4	8	1	1	0	0	0	0	3	4	2	26
PREC => 20 mm	1	1	5	0	0	0	0	0	0	1	2	0	10

CALENDARIO DE DÍAS LLUVIOSOS SUPERIORES A 20 milímetros

30.2 mm	25 EN 2011	29.8 mm	14 MR 2011	36.8 mm	4 MR 2013	31.2 mm	22 NO 2014
26.6 mm	23 NO 2014	21.2 mm	12 FE 2017	51.0 mm	19 MR 2017	33.4 mm	25 OC 2018
26.6 mm	26 MR 2019	22.2 mm	28 MR 2019				

269 m. ANTIGUA - LOS MOLINOS

	ENE	FEB	MRZ	ABR	MAY	JUN	JUL	AGT	SEP	OCT	NOV	DIC
2014	31.6	17.8	11.8	5.4	0.2	0.0	0.0					
OBSER	13	13	13	13	13	13	13	12	12	12	12	12
MEDIA	24.5	23.8	15.5	9.5	2.5	0.3	0.5	0.7	2.7	8.0	27.2	33.0
LIM IN	13.0	8.9	5.9	3.7	0.7	0.0	0.0	0.2	0.6	4.7	13.0	16.9
LIM SU	36.1	38.6	25.1	15.4	4.3	0.6	1.0	1.1	4.8	11.4	41.4	49.1
C VAR.	86.3	114.7	114.5	112.9	134.4	196.8	201.5	112.6	138.2	73.8	92.4	86.2

64 mm : INVIERNO                      12 mm : PRIMAVERA                      4 mm : VERANO                      68 mm : OTOÑO

PRECIPITACIÓN ACUMULADA ANUAL ESTIMADA : 148.2 milímetros

2002 - 2014	ENE	FEB	MRZ	ABR	MAY	JUN	JUL	AGT	SEP	OCT	NOV	DIC	TOTAL
PREC => 1 mm	55	49	30	28	9	1	1	3	11	28	53	43	311
PREC => 5 mm	18	17	12	6	1	0	0	0	0	2	14	21	91
PREC => 10 mm	5	9	4	2	0	0	0	0	0	0	6	12	38
PREC => 20 mm	3	2	2	1	0	0	0	0	0	0	3	5	16

CALENDARIO DE DÍAS LLUVIOSOS SUPERIORES A 20 milímetros

28.0 mm	5 EN 2002	45.8 mm	17 DI 2002	33.4 mm	18 DI 2002	20.4 mm	11 AB 2003
35.0 mm	2 NO 2003	29.6 mm	13 FE 2005	27.8 mm	23 DI 2005	37.6 mm	11 FE 2006
30.8 mm	27 EN 2007	23.4 mm	22 DI 2007	21.2 mm	12 DI 2009	23.4 mm	29 NO 2010
57.8 mm	30 NO 2010	29.2 mm	25 EN 2011	29.2 mm	14 MR 2011	21.4 mm	3 MR 2013

## Las precipitaciones en la Tierra sedienta: Fuerteventura

400 m. BETANCURIA

	ENE	FEB	MRZ	ABR	MAY	JUN	JUL	AGT	SEP	OCT	NOV	DIC
OBSER	1	1	1	1	1	1	1	1	1	1	1	1
MEDIA	6.1	0.0	32.0	10.1	14.4	0.0	0.0	0.2	24.7	16.0	29.3	18.3

38 mm : INVIERNO                      25 mm : PRIMAVERA                      25 mm : VERANO                      64 mm : OTOÑO

PRECIPITACIÓN ACUMULADA ANUAL ESTIMADA : 151.1 milímetros

5 m. TUINEJE - PUERTO GRAN TARAJAL

	ENE	FEB	MRZ	ABR	MAY	JUN	JUL	AGT	SEP	OCT	NOV	DIC
OBSER	9	9	9	9	9	9	9	9	9	9	9	9
MEDIA	6.1	6.2	7.7	2.8	0.8	0.0	0.0	0.1	0.8	15.6	12.2	2.3
LIM IN	0.0	2.7	0.6	0.0	0.0	0.0	0.0	0.0	0.1	0.9	0.0	0.2
LIM SU	14.0	9.8	14.8	6.3	1.9	0.1	0.1	0.3	1.5	30.2	26.2	4.3
C VAR.	195.8	87.5	140.7	186.2	238.5	300.0	300.0	212.1	135.7	143.8	175.9	140.6

20 mm : INVIERNO                      4 mm : PRIMAVERA                      1 mm : VERANO                      30 mm : OTOÑO

PRECIPITACIÓN ACUMULADA ANUAL ESTIMADA : 54.7 milímetros

2011 - 2020	ENE	FEB	MRZ	ABR	MAY	JUN	JUL	AGT	SEP	OCT	NOV	DIC	TOTAL
PREC => 1 mm	11	12	15	5	3	0	0	0	4	14	17	5	86
PREC => 5 mm	1	7	5	1	0	0	0	0	0	8	8	1	31
PREC => 10 mm	1	0	1	1	0	0	0	0	0	5	4	0	12
PREC => 20 mm	1	0	0	0	0	0	0	0	0	2	0	0	3

CALENDARIO DE DÍAS LLUVIOSOS SUPERIORES A 20 milímetros

26.6 mm 25 EN 2011    26.6 mm 25 OC 2016    30.4 mm 26 OC 2016

245 m. TUINEJE - TISCAMANITA

	ENE	FEB	MRZ	ABR	MAY	JUN	JUL	AGT	SEP	OCT	NOV	DIC
OBSER	1	1	1	1	1	1	1	1	1	1	1	1
MEDIA	9.0	0.0	19.3	7.3	2.5	0.2	0.0	1.4	29.1	6.8	24.2	11.8

28 mm : INVIERNO                      10 mm : PRIMAVERA                      31 mm : VERANO                      43 mm : OTOÑO

PRECIPITACIÓN ACUMULADA ANUAL ESTIMADA : 111.6 milímetros

## Las precipitaciones en la Tierra sedienta: Fuerteventura

10 m. PÁJARA - MORRO JABLE

	ENE	FEB	MRZ	ABR	MAY	JUN	JUL	AGT	SEP	OCT	NOV	DIC
OBSER	7	7	7	7	7	7	7	7	7	7	7	7
MEDIA	4.6	8.2	6.0	1.2	0.3	0.3	0.3	0.1	1.3	6.2	12.5	4.3
LIM IN	0.0	0.0	2.9	0.1	0.0	0.0	0.0	0.0	0.0	0.8	0.0	0.9
LIM SU	9.4	16.9	9.0	2.3	0.8	0.5	0.7	0.4	2.8	11.6	27.2	7.7
C VAR.	139.7	145.0	69.5	125.4	171.6	141.7	167.8	235.2	150.0	117.3	159.5	106.8

19 mm : INVIERNO                      2 mm : PRIMAVERA                      2 mm : VERANO                      23 mm : OTOÑO

PRECIPITACIÓN ACUMULADA ANUAL ESTIMADA : 45.3 milímetros

2014 - 2020	ENE	FEB	MRZ	ABR	MAY	JUN	JUL	AGT	SEP	OCT	NOV	DIC	TOTAL
PREC => 1 mm	11	14	14	1	0	0	0	0	3	8	14	9	74
PREC => 5 mm	1	3	1	0	0	0	0	0	0	3	7	2	17
PREC => 10 mm	0	1	0	0	0	0	0	0	0	1	2	0	4
PREC => 20 mm	0	0	0	0	0	0	0	0	0	0	0	0	0

25 m. PÁJARA - COSTA CALMA

	ENE	FEB	MRZ	ABR	MAY	JUN	JUL	AGT	SEP	OCT	NOV	DIC
OBSER	1	1	1	1	1	1	1	1	1	1	1	1
MEDIA	0.5	0.0	11.7	7.3	0.6	0.0	0.5	0.2	2.4	4.9	13.5	5.8

12 mm : INVIERNO                      8 mm : PRIMAVERA                      3 mm : VERANO                      24 mm : OTOÑO

PRECIPITACIÓN ACUMULADA ANUAL ESTIMADA : 47.6 milímetros

210 m. PÁJARA - HOGAR DEL PENSIONISTAS

	ENE	FEB	MRZ	ABR	MAY	JUN	JUL	AGT	SEP	OCT	NOV	DIC
OBSER	1	1	1	1	1	1	1	1	1	1	1	1
MEDIA	5.6	0.9	10.4	4.3	4.6	0.6	3.0	15.2	4.2	7.9	2.0	6.2

17 mm : INVIERNO                      10 mm : PRIMAVERA                      22 mm : VERANO                      16 mm : OTOÑO

PRECIPITACIÓN ACUMULADA ANUAL ESTIMADA : 64.9 milímetros

## PRECIPITACIONES REGISTRADAS EN ESTACIONES MANUALES

### CONSEJO INSULAR DE AGUAS FUERTEVENTURA - PLUVIÓMETROS HELLMANN

2 m	LA OLIVA - LOBOS
17 m	LA OLIVA - EL COTILLO
18 m	LA OLIVA - CORRALEJO
33 m	LA OLIVA - EL JABLITO
73 m	LA OLIVA - LOS LAJARES
75 m	LA OLIVA - LAS ROSAS
144 m	LA OLIVA - TINDAYA
168 m	LA OLIVA - LAS CALDERETA
207 m	LA OLIVA - VILLAVERDE
215 m	LA OLIVA - LA OLIVA
257 m	LA OLIVA - VALLEBRÓN
10 m	PUERTO DEL ROSARIO
23 m	PTO ROSARIO - AEROPUERTO MATORRAL
102 m	PTO ROSARIO - LAS PARCELAS
134 m	PTO ROSARIO - GUISGUEY
174 m	PTO ROSARIO - LA HERRADURA
186 m	PTO ROSARIO - TESJUATE
190 m	PTO ROSARIO - TEFÍA
212 m	PTO ROSARIO - VALLE DE SANTA INÉS
220 m	PTO ROSARIO - CASILLAS DEL ÁNGEL
235 m	PTO ROSARIO - AMPUYENTA
272 m	PTO ROSARIO - LA ASOMADA
279 m	PTO ROSARIO - TETIR
358 m	PTO ROSARIO - LA MATILLA
7 m	ANTIGUA - POZO NEGRO
28 m	ANTIGUA - LA TORRE
155 m	ANTIGUA - CAMPECHE POCETAS pepe
205 m	ANTIGUA - CASILLAS DE MORALES
215 m	ANTIGUA - TISCAMANI TA
239 m	ANTIGUA - VALLES DE ORTEGA
248 m	ANTIGUA - AGUAS DE BUEYES
248 m	ANTIGUA - TRIQUIVIJATE
269 m	ANTIGUA
263 m	BETANCURIA - VEGA DEL RIO PALMA
415 m	BETANCURIA
490 m	BETANCURIA - CASTILLO DE LARA
23 m	TUINEJE -GRAN TARAJAL
72 m	TUINEJE -TARAJALERO
168 m	TUINEJE
185 m	TUINEJE -FARO LA ENTALLADA
205 m	TUINEJE- TESEGERAGUE
5 m	PÁJARA - FARO DE JANDÍA
19 m	PÁJARA - PUERTO DE LA PEÑA
20 m	PÁJARA - COSTA CALMA
27 m	PÁJARA - GRAN TARAJAL
30 m	PÁJARA - MORRO JABLE
61 m	PÁJARA - UGÁN

Las precipitaciones en la Tierra sedienta: Fuerteventura

100 m PÁJARA - LOS JOROS  
 115 m PÁJARA - TAMARETILLA  
 200 m PÁJARA

**PRECIPITACIONES ESTACIONALES Y ANUALES MEDIAS ESTIMADAS  
 ACUMULADAS**

ESTACIONES HELLMANN	PERIODO	INV	PRI	VER	OTO	ANUAL
LOBOS	1946 1978	25.7	2.6	2.2	41.8	72.3
EL COTILLO	1953 2017	31.7	2.5	4.8	47.1	86.2
CORRALEJO	1970 2018	36.2	4.7	2.6	38.5	82.1
EL JABLITO	1977 2017	45.9	5.7	3.2	46.8	101.6
LOS LAJARES	1970 2018	39.9	4.2	3.8	47.4	95.2
TINDAYA	1970 2017	45.8	6.1	4.2	52.3	108.5
LAS CALDERETA	1970 2013	57.2	13.4	3.1	51.3	125.1
VILLAVERDE	1970 2018	52.6	8.4	4.9	66.7	132.7
LA OLIVA	1953 1978	58.5	6.7	3.1	71.9	140.1
VALLEBRÓN	1970 2018	67.0	11.3	8.1	77.2	163.5
PUERTO ROSARIO	1971 2018	35.6	3.8	2.6	39.5	81.5
PUERTO ROSARIO	2006 2021	45.8	5.6	1.9	45.5	98.8
AEROPUERTO - MATORRAL	1970 2020	41.5	5.7	2.3	45.3	94.8
IES DIEGO DE ALCALÁ	2017 2019	24.2	2.0	0.0	20.4	46.6
LAS PARCELAS	1970 2017	42.5	3.6	2.6	55.4	104.1
GUISGUEY	1970 2017	54.7	8.8	2.7	56.6	122.8
LA HERRADURA	1970 2017	47.6	6.0	2.6	47.8	103.9
TESJUATE	1980 2017	54.3	6.8	4.2	63.3	128.6
TEFIA	1946 2018	58.6	8.0	3.6	60.6	130.8
VALLE DE SANTA INES	1970 2017	58.8	9.2	3.5	64.9	136.4
CASILLAS DEL ANGEL	1970 1980	56.8	8.0	0.7	53.6	119.2
AMPUYENTA	1954 2018	55.4	7.8	3.1	67.9	134.2
LA ASOMADA	1988 2017	52.0	6.4	2.9	66.4	127.7
TETIR	1946 2017	58.2	8.1	3.8	61.6	131.6
LA MATILLA	1970 2016	71.6	10.9	7.0	70.6	160.2
POZO NEGRO	1953 2017	49.5	6.1	3.2	68.7	127.5
LA TORRE	1955 2017	42.8	6.2	2.9	48.4	100.3
POZO NEGRO	2002 2016	37.6	5.7	1.7	45.9	90.8
CAMPECHE POCETAS	1954 2015	53.6	5.7	3.3	57.1	119.8
CASILLAS DE MORALES	1970 2017	60.4	7.5	3.7	60.5	132.1
TISCAMANITA	1970 1977	50.5	11.9	1.6	65.2	129.1
VALLES DE ORTEGA	1991 2017	59.7	5.6	2.2	81.7	149.3
AGUAS DE BUEYES	1958 2017	62.3	8.6	3.2	74.8	148.9
TRIQUIVIJATE	1970 2018	55.0	7.7	3.3	61.7	127.7
ANTIGUA - MOLINOS	2002 2014	61.9	11.4	3.7	60.6	137.6
ANTIGUA	1957 2018	69.7	10.3	3.7	78.6	162.3
VEGA DEL RIO PALMA	1955 2018	68.8	10.1	3.6	74.5	156.9
BETANCURIA	1955 2017	89.5	16.9	4.6	93.2	204.1
CASTILLO DE LARA	1951 2016	80.6	14.9	5.1	92.8	193.4
GRAN TARAJAL	1958 2018	25.1	2.7	1.1	33.4	62.2
IES GRAN TARAJAL	2006 2020	22.9	2.3	0.6	36.4	62.2
TARAJALERO	1970 2017	31.5	3.9	1.9	35.8	73.1
TUINEJE	1970 2017	53.6	8.3	3.0	59.2	124.1
FARO LA ENTALLADA	1956 2018	24.4	1.9	1.1	30.9	58.4
TESEGERAGUE	1970 2017	56.5	7.1	2.0	62.4	128.0
FARO DE JANDIA	1970 2001	25.2	2.6	3.0	28.7	59.5



## Las precipitaciones en la Tierra sedienta: Fuerteventura

PUERTO DE LA PENA	1970	2017	42.5	6.5	2.3	46.4	97.7
COSTA CALMA	1975	2016	44.3	5.3	3.9	39.1	92.6
MORRO JABLE	1947	2018	38.4	4.2	2.4	44.8	89.8
UGAN	1956	2017	30.7	3.9	1.5	35.2	71.3
MORRO JABLE IES JANDIA	2010	2019	21.9	1.4	0.0	34.4	57.7
LOS JOROS	1977	1997	53.7	5.1	3.9	45.7	108.4
TAMARETILLA	1970	2017	43.9	5.9	2.3	49.2	101.2

### PRECIPITACIONES REGISTRADAS EN ESTACIONES MANUALES

2 m LA OLIVA	LOBOS												1946	1978
	ENE	FEB	MRZ	ABR	MAY	JUN	JUL	AGT	SEP	OCT	NOV	DIC		
MES	30	30	30	30	30	30	30	30	31	30	30	30	0	
MED	9.0	11.8	4.9	2.4	0.2	0.0	0.0	0.0	2.2	6.2	17.5	18.1	70.0	
LINF	4.4	6.7	1.8	0.8	0.0	0.0	0.0	0.0	0.2	1.9	9.0	9.1	45.8	
LSUP	13.5	16.9	8.0	4.1	0.4	0.0	0.0	0.0	4.3	10.4	26.0	27.2	94.2	
CV	142	121	177	192	362	0	0	0	260	191	135	140	69 %	

26 mm : INVIERNO      3 mm : PRIMAVERA      2 mm : VERANO      42 mm : OTOÑO

PRECIPITACIÓN ANUAL ACUMULADA ESTIMADA ENTRE 1946 - 1978: 72.3 milímetros

CALENDARIO DE DÍAS LLUVIOSOS SUPERIORES A 30 milímetros

38.0 mm 18 OC 1948    31.0 mm 8 NO 1950

17 m LA OLIVA - EL COTILLO      PERIODO : 1953 2003

17 m LA OLIVA - EL COTILLO	PERIODO : 1953 2003												
	ENE	FEB	MRZ	ABR	MAY	JUN	JUL	AGT	SEP	OCT	NOV	DIC	TOTAL
MES	57	57	57	57	57	57	57	57	58	58	58	58	0
MED	13.5	11.2	7.0	2.1	0.4	0.0	0.0	0.6	4.3	12.5	20.1	14.5	85.6
LINF	7.4	7.3	4.4	1.1	0.1	0.0	0.0	0.1	1.7	7.5	13.8	9.3	71.7
LSUP	19.5	15.2	9.7	3.0	0.7	0.0	0.1	1.1	6.9	17.5	26.5	19.7	99.4
CV	174	136	145	170	295	546	755	328	238	155	123	139	54 %

32 mm : INVIERNO      2 mm : PRIMAVERA      5 mm : VERANO      47 mm : OTOÑO

PRECIPITACIÓN ANUAL ACUMULADA ESTIMADA ENTRE 1953 - 2017: 86.2 milímetros

CALENDARIO DE DÍAS LLUVIOSOS SUPERIORES A 30 milímetros

34.3 mm 8 SP 1953    40.0 mm 22 NO 1954    30.0 mm 28 DI 1962    44.0 mm 5 EN 1964  
37.0 mm 16 DI 1969    31.0 mm 7 FE 1970    30.0 mm 10 MR 1971

## Las precipitaciones en la Tierra sedienta: Fuerteventura

18 m LA OLIVA - CORRALEJO PERIODO : 1970 2003

	ENE	FEB	MRZ	ABR	MAY	JUN	JUL	AGT	SEP	OCT	NOV	DIC	TOTAL
MES	41	41	41	41	41	41	41	41	42	42	42	42	0
MED	14.7	10.7	10.8	4.0	0.6	0.0	0.0	0.3	2.2	8.7	14.9	14.9	81.1
LINF	7.5	5.4	7.3	1.6	0.0	0.0	0.0	0.0	0.6	3.3	8.3	9.1	65.5
LSUP	22.0	16.0	14.2	6.4	1.4	0.1	0.1	0.8	3.9	14.1	21.5	20.7	96.6
CV	161	163	104	194	404	464	640	458	243	203	147	128	51 %

36 mm : INVIERNO      5 mm : PRIMAVERA      3 mm : VERANO      39 mm : OTOÑO

PRECIPITACIÓN ANUAL ACUMULADA ESTIMADA ENTRE 1970 - 2018: 82.1 milímetros

CALENDARIO DE DÍAS LLUVIOSOS SUPERIORES A 30 milímetros

46.0 mm 16 NO 1971    38.1 mm 5 FE 1972    39.0 mm 7 EN 1980    46.3 mm 25 EN 1980

33 m LA OLIVA - EL JABLITO PERIODO : 1977 2003

	ENE	FEB	MRZ	ABR	MAY	JUN	JUL	AGT	SEP	OCT	NOV	DIC	TOTAL
MES	34	34	34	34	34	34	34	34	35	35	35	35	0
MED	19.4	14.2	12.3	5.2	0.5	0.0	0.0	0.1	3.0	10.7	16.6	19.5	100.2
LINF	11.9	7.0	8.0	1.8	0.1	0.0	0.0	0.0	0.6	4.4	8.6	11.4	81.4
LSUP	27.0	21.3	16.6	8.6	0.9	0.1	0.1	0.3	5.5	17.0	24.6	27.6	118.9
CV	116	150	103	197	211	362	457	374	244	178	146	125	57 %

46 mm : INVIERNO      6 mm : PRIMAVERA      3 mm : VERANO      47 mm : OTOÑO

PRECIPITACIÓN ANUAL ACUMULADA ESTIMADA ENTRE 1977 - 2017: 101.6 milímetros

CALENDARIO DE DÍAS LLUVIOSOS SUPERIORES A 30 milímetros

35.1 mm 16 NO 1971    92.4 mm 18 DI 1972    44.3 mm 20 NO 1976    30.4 mm 18 OC 1977  
74.2 mm 19 SP 1984    34.7 mm 2 NO 1988

73 m LA OLIVA - LOS LAJARES PERIODO : 1970 2003

	ENE	FEB	MRZ	ABR	MAY	JUN	JUL	AGT	SEP	OCT	NOV	DIC	TOTAL
MES	42	41	41	41	41	41	41	41	42	42	42	42	0
MED	15.4	13.3	11.2	2.9	1.3	0.0	0.0	0.3	3.5	10.4	15.7	21.2	92.4
LINF	9.4	7.2	7.3	1.5	0.4	0.0	0.0	0.0	0.0	3.5	8.9	14.0	75.4
LSUP	21.3	19.5	15.2	4.4	2.1	0.0	0.1	0.8	7.7	17.4	22.6	28.5	109.3
CV	129	150	115	160	215	640	640	635	403	220	144	113	57 %

40 mm : INVIERNO      4 mm : PRIMAVERA      4 mm : VERANO      47 mm : OTOÑO

PRECIPITACIÓN ANUAL ACUMULADA ESTIMADA ENTRE 1970 - 2018: 95.2 milímetros

CALENDARIO DE DÍAS LLUVIOSOS SUPERIORES A 30 milímetros

33.8 mm 7 EN 1980    51.8 mm 25 EN 1980    32.0 mm 27 DI 1985    70.4 mm 16 FE 1989  
30.2 mm 28 DI 1989    42.8 mm 10 EN 1990

## Las precipitaciones en la Tierra sedienta: Fuerteventura

144 m LA OLIVA - TINDAYA PERIODO : 1970 2003

	ENE	FEB	MRZ	ABR	MAY	JUN	JUL	AGT	SEP	OCT	NOV	DIC	TOTAL
MES	40	40	40	40	40	40	40	40	41	41	41	41	0
MED	18.1	13.9	13.9	4.5	1.5	0.1	0.1	0.2	3.9	10.4	17.8	24.1	107.2
LINF	11.9	7.9	9.4	2.8	0.3	0.0	0.0	0.0	0.1	4.9	11.1	16.2	92.5
LSUP	24.3	19.8	18.4	6.3	2.7	0.3	0.2	0.7	7.8	15.9	24.4	32.1	122.0
CV	111	139	105	126	250	451	492	600	322	173	123	107	48 %

46 mm : INVIERNO                      6 mm : PRIMAVERA                      4 mm : VERANO                      52 mm : OTOÑO

PRECIPITACIÓN ANUAL ACUMULADA ESTIMADA ENTRE 1970 - 2017: 108.5 milímetros

CALENDARIO DE DÍAS LLUVIOSOS SUPERIORES A 30 milímetros

40.5 mm 7 DI 1980    40.3 mm 24 DI 1980    46.5 mm 9 FE 1982

168 m LA OLIVA - LA CALDERETA PERIODO : 1970 2003

	ENE	FEB	MRZ	ABR	MAY	JUN	JUL	AGT	SEP	OCT	NOV	DIC	TOTAL
MES	37	37	37	37	37	37	37	37	38	38	38	38	0
MED	23.3	13.2	20.8	10.7	2.2	0.5	0.1	0.3	2.7	8.7	16.4	26.3	123.2
LINF	12.5	6.8	14.0	6.1	0.6	0.1	0.0	0.0	1.0	4.3	10.6	16.8	105.2
LSUP	34.0	19.6	27.6	15.4	3.7	0.9	0.2	0.8	4.5	13.0	22.2	35.8	141.2
CV	144	151	102	135	220	269	473	391	201	157	111	114	57 %

57 mm : INVIERNO                      13 mm : PRIMAVERA                      3 mm : VERANO                      51 mm : OTOÑO

PRECIPITACIÓN ANUAL ACUMULADA ESTIMADA ENTRE 1970 - 2013: 125.1 milímetros

CALENDARIO DE DÍAS LLUVIOSOS SUPERIORES A 30 milímetros

36.0 mm 10 MR 1971    42.0 mm 16 NO 1971    45.7 mm 5 FE 1972    89.2 mm 18 DI 1972  
 33.1 mm 9 OC 1976    30.5 mm 7 EN 1980    61.0 mm 25 EN 1980    43.0 mm 19 SP 1984  
 36.0 mm 29 SP 1987    39.0 mm 15 EN 1988

207 m LA OLIVA - VILLAVERDE PERIODO : 1970 2003

	ENE	FEB	MRZ	ABR	MAY	JUN	JUL	AGT	SEP	OCT	NOV	DIC	TOTAL
MES	42	41	41	41	41	41	41	41	42	42	42	42	0
MED	20.6	14.6	17.3	6.5	1.8	0.2	0.0	0.2	4.7	13.0	24.3	29.4	128.6
LINF	13.2	8.6	11.6	4.0	0.7	0.0	0.0	0.0	1.2	6.5	15.2	20.1	114.0
LSUP	28.1	20.7	23.0	8.9	2.8	0.4	0.1	0.4	8.3	19.4	33.5	38.7	143.2
CV	120	134	107	123	189	306	387	530	245	163	124	104	49 %

53 mm : INVIERNO                      8 mm : PRIMAVERA                      5 mm : VERANO                      67 mm : OTOÑO

PRECIPITACIÓN ANUAL ACUMULADA ESTIMADA ENTRE 1970 - 2018: 132.7 milímetros

CALENDARIO DE DÍAS LLUVIOSOS SUPERIORES A 30 milímetros

43.3 mm 8 SP 1953    33.3 mm 17 DI 1953    34.8 mm 18 DI 1953    61.2 mm 22 NO 1954  
 34.0 mm 27 DI 1962    32.3 mm 23 EN 1963    47.3 mm 1 FE 1963    82.2 mm 5 EN 1964



## Las precipitaciones en la Tierra sedienta: Fuerteventura

215 m LA OLIVA PERIODO : 1953 1978

	ENE	FEB	MRZ	ABR	MAY	JUN	JUL	AGT	SEP	OCT	NOV	DIC	TOTAL
MES	25	25	25	25	25	25	25	25	26	25	25	25	0
MED	20.5	24.0	14.0	5.1	1.6	0.0	0.0	0.0	3.1	12.4	29.3	30.2	134.8
LINF	9.6	12.3	7.4	2.1	0.0	0.0	0.0	0.0	0.0	4.7	17.9	19.3	119.0
LSUP	31.3	35.7	20.7	8.0	3.4	0.0	0.0	0.0	6.5	20.2	40.8	41.1	150.7
CV	135	124	121	149	288	0	0	0	287	159	100	92	41 %

58 mm : INVIERNO      7 mm : PRIMAVERA      3 mm : VERANO      72 mm : OTOÑO

PRECIPITACIÓN ANUAL ACUMULADA ESTIMADA ENTRE 1953 - 1978: 140.1 milímetros

CALENDARIO DE DÍAS LLUVIOSOS SUPERIORES A 30 milímetros

33.3 mm	17 NO	1953	34.8 mm	18 NO	1953	61.2 mm	22 OC	1954	34.0 mm	27 NO	1962
32.3 mm	23 DI	1963	47.3 mm	1 EN	1963	82.2 mm	5 DI	1964	32.3 mm	7 OC	1966
32.6 mm	24 OC	1968	51.0 mm	16 NO	1969	75.4 mm	7 EN	1970	36.7 mm	16 OC	1971
52.4 mm	5 EN	1972	31.2 mm	20 OC	1976	31.3 mm	18 SP	1977			

257 m LA OLIVA - VALLEBRÓN PERIODO : 1979 2003

	ENE	FEB	MRZ	ABR	MAY	JUN	JUL	AGT	SEP	OCT	NOV	DIC	TOTAL
MES	42	41	41	41	41	41	41	41	42	42	42	42	0
MED	25.7	22.7	18.6	8.9	2.0	0.4	0.2	0.2	7.7	16.0	25.7	35.5	158.5
LINF	18.0	14.4	13.1	6.0	0.0	0.0	0.0	0.0	1.5	8.6	16.0	24.1	144.1
LSUP	33.4	30.9	24.0	11.8	4.0	0.7	0.3	0.4	14.0	23.4	35.4	46.8	172.8
CV	99	119	96	106	322	301	372	412	268	153	125	106	48 %

67 mm : INVIERNO      11 mm : PRIMAVERA      8 mm : VERANO      77 mm : OTOÑO

PRECIPITACIÓN ANUAL ACUMULADA ESTIMADA ENTRE 1970 - 2018: 163.5 milímetros

CALENDARIO DE DÍAS LLUVIOSOS SUPERIORES A 30 milímetros

63.0 mm	16 FE	1989	45.0 mm	18 FE	1989	45.4 mm	25 NO	1989	40.0 mm	28 DI	1989
56.0 mm	4 DI	1991	70.0 mm	22 DI	1993	60.9 mm	5 DI	1998	52.2 mm	20 NO	2001

5 m PUERTO DEL ROSARIO PERIODO : 1971 2003

	ENE	FEB	MRZ	ABR	MAY	JUN	JUL	AGT	SEP	OCT	NOV	DIC	TOTAL
MES	40	39	39	39	39	39	39	39	40	40	40	40	0
MED	13.9	12.2	9.6	3.4	0.4	0.0	0.0	0.4	2.2	8.4	12.6	18.5	78.9
LINF	8.3	6.2	5.5	1.9	0.1	0.0	0.0	0.0	0.7	3.7	5.8	11.5	61.5
LSUP	19.5	18.2	13.7	5.0	0.7	0.0	0.0	1.0	3.7	13.0	19.4	25.5	96.3
CV	130	157	135	145	241	436	0	535	214	179	174	122	57 %

36 mm : INVIERNO      4 mm : PRIMAVERA      3 mm : VERANO      40 mm : OTOÑO

PRECIPITACIÓN ANUAL ACUMULADA ESTIMADA ENTRE 1971 - 2018: 81.5 milímetros

## Las precipitaciones en la Tierra sedienta: Fuerteventura

### CALENDARIO DE DÍAS LLUVIOSOS SUPERIORES A 30 milímetros

-----  
 40.0 mm 16 NO 1971    38.0 mm 19 DI 1972    38.0 mm 26 EN 1980    50.0 mm 9 MR 1982  
 63.0 mm 16 FE 1989    37.0 mm 18 FE 1989

23 m PUERTO DEL ROSARIO - AEROPUERTO DEL MATORRAL      PERIODO : 1970 2020

	ENE	FEB	MRZ	ABR	MAY	JUN	JUL	AGT	SEP	OCT	NOV	DIC	TOTAL
MES	51	51	51	51	51	51	51	51	51	51	51	51	0
MED	14.3	16.0	11.2	4.8	0.9	0.0	0.0	0.2	2.1	9.6	14.0	21.8	94.8
LINF	8.3	9.7	7.3	2.5	0.3	0.0	0.0	0.0	1.1	5.2	9.1	14.1	79.8
LSUP	20.4	22.3	15.1	7.0	1.5	0.1	0.1	0.3	3.2	14.0	18.9	29.4	109.9
CV	153	144	126	170	248	342	369	365	176	167	126	128	55 %

41 mm : INVIERNO                      6 mm : PRIMAVERA                      2 mm : VERANO                      45 mm : OTOÑO

PRECIPITACIÓN ANUAL ACUMULADA ESTIMADA ENTRE 1970 - 2020:    94.8 milímetros

### CALENDARIO DE DÍAS LLUVIOSOS SUPERIORES A 30 milímetros

-----  
 42.0 mm 16 OC 1971    33.0 mm 5 EN 1972    60.0 mm 18 NO 1972    42.0 mm 8 EN 1973  
 40.0 mm 9 MR 1974    52.0 mm 4 NO 1975    66.0 mm 9 SP 1976    58.0 mm 25 DI 1980  
 31.0 mm 26 DI 1980    60.0 mm 9 FE 1982    30.0 mm 22 DI 1985

25 m PUERTO DEL ROSARIO - IES DIEGO LÁ´                      PERIODO : 2017 - 2019

	ENE	FEB	MRZ	ABR	MAY	JUN	JUL	AGT	SEP	OCT	NOV	DIC	TOTAL
MES	3	3	3	3	3	3	3	3	3	3	3	3	0
MED	9.2	11.7	3.3	1.2	0.8	0.0	0.0	0.0	0.0	12.0	2.3	6.1	46.6
LINF	0.0	0.9	1.0	0.0	0.0	0.0	0.0	0.0	0.0	0.0	0.0	0.0	-40.6
LSUP	19.0	22.4	5.6	2.6	2.4	0.0	0.0	0.0	0.0	33.9	6.7	18.2	133.8
CV	94	82	63	100	173	0	0	0	0	160	173	173	77 %

24 mm : INVIERNO                      2 mm : PRIMAVERA                      0 mm : VERANO                      20 mm : OTOÑO

PRECIPITACIÓN ANUAL ACUMULADA ESTIMADA ENTRE 2017 - 2019:    46.6 milímetros

### CALENDARIO DE DÍAS LLUVIOSOS SUPERIORES A 30 milímetros

-----  
 40.0 mm 7 FE 1970    40.0 mm 8 FE 1970    40.0 mm 16 NO 1971    57.0 mm 18 DI 1972  
 42.0 mm 8 FE 1973    40.0 mm 8 AB 1974    45.0 mm 3 DI 1975    35.0 mm 4 FE 1976  
 66.0 mm 9 OC 1976    51.0 mm 25 EN 1980    60.0 mm 9 MR 1982    30.0 mm 22 EN 1985  
 66.0 mm 16 FE 1989    40.0 mm 18 FE 1989    41.0 mm 4 DI 1991    76.5 mm 5 DI 1991  
 31.2 mm 22 DI 1993

102 m PUERTO DEL ROSARIO - LAS PARCELAS                      PERIODO : 1970 2003

	ENE	FEB	MRZ	ABR	MAY	JUN	JUL	AGT	SEP	OCT	NOV	DIC	TOTAL
MES	41	41	41	41	41	41	41	41	42	42	42	42	0
MED	17.2	13.6	11.7	3.0	0.5	0.0	0.0	0.1	2.5	12.5	18.2	24.7	103.0

## Las precipitaciones en la Tierra sedienta: Fuerteventura

LINF	10.4	7.5	7.7	1.5	0.1	0.0	0.0	0.0	0.8	4.7	10.3	15.3	85.0
LSUP	23.9	19.8	15.7	4.5	1.0	0.0	0.1	0.4	4.1	20.3	26.0	34.2	121.0
CV	128	146	111	163	295	462	640	630	224	205	143	127	60 %

42 mm : INVIERNO                      4 mm : PRIMAVERA                      3 mm : VERANO                      55 mm : OTOÑO

PRECIPITACIÓN ANUAL ACUMULADA ESTIMADA ENTRE 1970 - 2017: 104.1 milímetros

### CALENDARIO DE DÍAS LLUVIOSOS SUPERIORES A 30 milímetros

---

36.5 mm	15 NO 1971	37.5 mm	5 FE 1972	70.4 mm	18 DI 1972	40.0 mm	9 OC 1976
50.4 mm	18 OC 1977	50.5 mm	14 DI 1977	32.0 mm	5 EN 1979	66.0 mm	2 NO 1988

---

134 m PUERTO DEL ROSARIO - GUISGUEY                      PERIODO : 1970 2003

	ENE	FEB	MRZ	ABR	MAY	JUN	JUL	AGT	SEP	OCT	NOV	DIC	TOTAL
MES	41	41	41	41	41	41	41	41	42	42	42	42	0
MED	20.0	18.7	16.1	7.6	1.1	0.1	0.0	0.0	2.6	10.1	17.9	28.7	121.3
LINF	12.0	8.8	11.2	4.2	0.2	0.0	0.0	0.0	0.3	5.0	10.9	19.2	103.4
LSUP	27.9	28.5	20.9	11.0	2.1	0.2	0.1	0.1	5.0	15.1	24.9	38.2	139.2
CV	130	172	99	146	283	561	640	640	293	167	130	109	59 %

55 mm : INVIERNO                      9 mm : PRIMAVERA                      3 mm : VERANO                      57 mm : OTOÑO

PRECIPITACIÓN ANUAL ACUMULADA ESTIMADA ENTRE 1970 - 2017: 122.8 milímetros

### CALENDARIO DE DÍAS LLUVIOSOS SUPERIORES A 30 milímetros

---

36.5 mm	16 NO 1971	52.2 mm	5 FE 1972	68.2 mm	18 DI 1972	35.4 mm	21 EN 1979
48.3 mm	7 EN 1980	45.2 mm	25 EN 1980	35.2 mm	9 MR 1982	36.3 mm	27 DI 1985
40.3 mm	27 FE 1986						

---

174 m PUERTO DEL ROSARIO - LA HERRADURA                      PERIODO : 1970 2003

	ENE	FEB	MRZ	ABR	MAY	JUN	JUL	AGT	SEP	OCT	NOV	DIC	TOTAL
MES	41	41	41	41	41	41	41	41	42	42	42	42	0
MED	18.3	16.1	13.1	5.1	0.8	0.0	0.0	0.0	2.6	9.3	15.6	22.9	102.6
LINF	10.6	9.6	8.6	2.8	0.2	0.0	0.0	0.0	0.9	5.1	8.7	14.6	86.8
LSUP	26.0	22.7	17.6	7.5	1.4	0.1	0.0	0.0	4.3	13.4	22.4	31.2	118.4
CV	138	133	112	151	249	640	640	640	218	149	146	120	52 %

48 mm : INVIERNO                      6 mm : PRIMAVERA                      3 mm : VERANO                      48 mm : OTOÑO

PRECIPITACIÓN ANUAL ACUMULADA ESTIMADA ENTRE 1970 - 2017: 103.9 milímetros

### CALENDARIO DE DÍAS LLUVIOSOS SUPERIORES A 30 milímetros

---

35.7 mm	16 NO 1971	36.1 mm	5 FE 1972	56.0 mm	18 DI 1972	32.2 mm	21 EN 1979
41.2 mm	7 EN 1980	38.4 mm	25 EN 1980				

---

## Las precipitaciones en la Tierra sedienta: Fuerteventura

186 m PUERTO DEL ROSARIO - TESJUATE PERIODO : 1980 2003

	ENE	FEB	MRZ	ABR	MAY	JUN	JUL	AGT	SEP	OCT	NOV	DIC	TOTAL
MES	31	31	31	31	31	31	31	31	32	32	32	32	0
MED	20.3	17.8	16.2	5.4	1.3	0.1	0.0	0.0	4.1	13.2	21.7	28.4	126.7
LINF	13.5	9.1	10.4	3.0	0.2	0.0	0.0	0.0	0.8	4.6	12.6	17.4	110.3
LSUP	27.2	26.4	22.0	7.7	2.5	0.4	0.0	0.1	7.4	21.7	30.8	39.5	143.1
CV	95	138	102	125	245	440	0	456	230	188	121	112	47 %

54 mm : INVIERNO      7 mm : PRIMAVERA      4 mm : VERANO      63 mm : OTOÑO

PRECIPITACIÓN ANUAL ACUMULADA ESTIMADA ENTRE 1980 - 2017: 128.6 milímetros

CALENDARIO DE DÍAS LLUVIOSOS SUPERIORES A 30 milímetros

33.5 mm	9 MR 1982	39.0 mm	19 SP 1984	45.0 mm	22 EN 1985	38.9 mm	27 DI 1985
30.2 mm	27 FE 1986	30.0 mm	1 NO 1987	56.8 mm	16 FE 1989	35.3 mm	18 FE 1989
43.2 mm	25 NO 1989						

190 m PUERTO DEL ROSARIO - TEFÍA PERIODO : 1946 2014

	ENE	FEB	MRZ	ABR	MAY	JUN	JUL	AGT	SEP	OCT	NOV	DIC	TOTAL
MES	63	62	62	62	62	62	62	62	63	63	63	63	0
MED	23.3	19.3	15.9	6.3	1.5	0.1	0.1	0.1	3.4	12.1	24.8	23.7	128.1
LINF	17.3	12.0	11.0	4.1	0.7	0.0	0.0	0.0	1.5	6.6	17.8	17.0	115.6
LSUP	29.4	26.7	20.7	8.6	2.4	0.2	0.2	0.3	5.4	17.5	31.8	30.4	140.6
CV	104	153	122	143	224	341	524	503	228	183	115	114	51 %

59 mm : INVIERNO      8 mm : PRIMAVERA      4 mm : VERANO      61 mm : OTOÑO

PRECIPITACIÓN ANUAL ACUMULADA ESTIMADA ENTRE 1946 - 2018: 130.8 milímetros

CALENDARIO DE DÍAS LLUVIOSOS SUPERIORES A 30 milímetros

31.4 mm	1 DI 1949	34.0 mm	28 EN 1950	36.1 mm	8 NO 1950	48.8 mm	9 NO 1950
36.0 mm	30 OC 1957	43.0 mm	11 DI 1957	30.5 mm	3 FE 1963	58.5 mm	5 EN 1964
50.0 mm	16 DI 1969	68.0 mm	7 FE 1970	90.4 mm	18 DI 1972	30.0 mm	8 MR 1974
51.7 mm	18 DI 1976	33.4 mm	13 AB 1980	40.5 mm	19 SP 1984		

212 m PUERTO DEL ROSARIO - VALLE DE SANTA INÉS PERIODO : 1970 2013

	ENE	FEB	MRZ	ABR	MAY	JUN	JUL	AGT	SEP	OCT	NOV	DIC	TOTAL
MES	41	41	41	41	41	41	41	41	42	42	42	42	0
MED	24.0	18.6	16.1	6.9	2.1	0.2	0.0	0.0	3.4	14.6	20.5	29.8	134.8
LINF	14.8	11.5	10.0	4.1	0.6	0.0	0.0	0.0	1.2	7.3	12.2	20.5	120.3
LSUP	33.3	25.7	22.3	9.7	3.7	0.5	0.0	0.1	5.6	21.9	28.9	39.1	149.2
CV	126	125	125	132	241	386	640	488	211	166	135	103	48 %

59 mm : INVIERNO      9 mm : PRIMAVERA      3 mm : VERANO      65 mm : OTOÑO

PRECIPITACIÓN ANUAL ACUMULADA ESTIMADA ENTRE 1970 - 2017: 136.4 milímetros

CALENDARIO DE DÍAS LLUVIOSOS SUPERIORES A 30 milímetros

48.0 mm	16 NO 1971	66.0 mm	5 FE 1972	60.0 mm	18 DI 1972	42.2 mm	9 OC 1976
37.2 mm	15 DI 1976						

## Las precipitaciones en la Tierra sedienta: Fuerteventura

220 m PUERTO DEL ROSARIO CASILLAS DEL ÁNGEL PERIODO : 1970 2003

	ENE	FEB	MRZ	ABR	MAY	JUN	JUL	AGT	SEP	OCT	NOV	DIC	TOTAL
MES	10	10	10	10	10	10	10	10	10	10	10	10	0
MED	26.0	21.1	9.7	6.6	1.5	0.0	0.0	0.1	0.6	6.7	11.8	35.2	108.4
LINF	0.0	2.7	1.4	0.3	0.0	0.0	0.0	0.0	0.0	0.0	0.4	14.1	78.8
LSUP	52.3	39.6	18.1	12.9	3.4	0.0	0.0	0.4	1.6	15.8	23.1	56.3	137.9
CV	164	141	139	154	212	0	0	316	298	221	155	97	50 %

57 mm : INVIERNO                      8 mm : PRIMAVERA                      1 mm : VERANO                      54 mm : OTOÑO

PRECIPITACIÓN ANUAL ACUMULADA ESTIMADA ENTRE 1970 - 1980: 119.2 milímetros

CALENDARIO DE DÍAS LLUVIOSOS SUPERIORES A 30 milímetros

56.5 mm	22 NO 1954	56.3 mm	5 DI 1957	42.2 mm	19 MR 1959	32.0 mm	4 EN 1964
59.0 mm	5 EN 1964	47.0 mm	5 NO 1965	49.0 mm	16 DI 1969	30.0 mm	20 EN 1970
52.0 mm	7 FE 1970	53.0 mm	16 NO 1971	39.2 mm	5 FE 1972	30.3 mm	22 FE 1972
37.7 mm	25 NO 1972	50.0 mm	18 DI 1972	38.0 mm	19 DI 1972	36.8 mm	10 OC 1976

235 m PUERTO DEL ROSARIO - AMPUYENTA PERIODO : 1954 2003

	ENE	FEB	MRZ	ABR	MAY	JUN	JUL	AGT	SEP	OCT	NOV	DIC	TOTAL
MES	57	56	56	56	56	56	56	56	57	57	57	57	0
MED	21.8	17.0	16.6	6.1	1.6	0.1	0.0	0.0	3.0	12.4	26.4	29.1	131.1
LINF	15.5	10.3	11.8	3.7	0.6	0.0	0.0	0.0	1.2	6.4	18.7	20.8	118.1
LSUP	28.1	23.6	21.4	8.4	2.7	0.3	0.0	0.1	4.9	18.3	34.2	37.4	144.2
CV	112	150	110	150	238	415	0	748	239	185	113	110	51 %

55 mm : INVIERNO                      8 mm : PRIMAVERA                      3 mm : VERANO                      68 mm : OTOÑO

PRECIPITACIÓN ANUAL ACUMULADA ESTIMADA ENTRE 1954 - 2018: 134.2 milímetros

CALENDARIO DE DÍAS LLUVIOSOS SUPERIORES A 30 milímetros

31.4 mm	1 DI 1949	34.0 mm	28 EN 1950	36.1 mm	8 NO 1950	48.8 mm	9 NO 1950
36.0 mm	30 OC 1957	43.0 mm	11 DI 1957	30.5 mm	3 FE 1963	58.5 mm	5 EN 1964
50.0 mm	16 DI 1969	68.0 mm	7 FE 1970	90.4 mm	18 DI 1972	30.0 mm	8 MR 1974
51.7 mm	18 DI 1976	33.4 mm	13 AB 1980	40.5 mm	19 SP 1984		

272 m PUERTO DEL ROSARIO - LA ASOMADA PERIODO : 1988 2003

	ENE	FEB	MRZ	ABR	MAY	JUN	JUL	AGT	SEP	OCT	NOV	DIC	TOTAL
MES	23	23	23	23	23	23	23	23	24	24	24	24	0
MED	19.2	16.4	16.4	4.9	1.2	0.2	0.0	0.0	2.9	14.0	23.5	29.0	125.3
LINF	11.8	5.5	9.7	2.2	0.1	0.0	0.0	0.0	0.9	5.3	10.1	17.1	102.9
LSUP	26.5	27.4	23.1	7.7	2.4	0.5	0.1	0.1	4.8	22.6	36.8	40.9	147.7
CV	94	163	100	135	224	280	480	338	170	155	142	103	56 %

52 mm : INVIERNO                      6 mm : PRIMAVERA                      3 mm : VERANO                      66 mm : OTOÑO

## Las precipitaciones en la Tierra sedienta: Fuerteventura

PRECIPITACIÓN ANUAL ACUMULADA ESTIMADA ENTRE 1988 - 2017: 127.7 milímetros

### CALENDARIO DE DÍAS LLUVIOSOS SUPERIORES A 30 milímetros

```
-----
30.0 mm 10 MR 1971  45.0 mm 16 NO 1971  38.3 mm  5 FE 1972  34.7 mm  8 MR 1974
30.7 mm  9 AB 1974  37.2 mm  3 DI 1976  34.6 mm  4 EN 1979  33.4 mm 25 EN 1980
37.3 mm  9 SP 1980  35.5 mm  8 EN 1984
```

279 m PUERTO DEL ROSARIO - TETIR PERIODO : 1946 2017

	ENE	FEB	MRZ	ABR	MAY	JUN	JUL	AGT	SEP	OCT	NOV	DIC	TOTAL
MES	62	62	62	62	62	62	62	62	63	63	63	63	0
MED	23.0	19.1	16.0	6.5	1.5	0.1	0.1	0.1	3.6	12.7	25.0	23.9	130.6
LINF	17.0	11.8	11.2	4.2	0.6	0.0	0.0	0.0	1.7	7.2	18.0	17.2	118.5
LSUP	29.0	26.5	20.8	8.7	2.4	0.3	0.2	0.1	5.6	18.2	32.0	30.6	142.7
CV	104	155	120	140	230	342	563	492	213	174	114	113	49 %

58 mm : INVIERNO                      8 mm : PRIMAVERA                      4 mm : VERANO                      62 mm : OTOÑO

PRECIPITACIÓN ANUAL ACUMULADA ESTIMADA ENTRE 1946 - 2017: 131.6 milímetros

### CALENDARIO DE DÍAS LLUVIOSOS SUPERIORES A 30 milímetros

```
-----
43.3 mm  8 SP 1953  33.3 mm 17 DI 1953  34.8 mm 18 DI 1953  61.2 mm 22 NO 1954
34.0 mm 27 DI 1962  32.3 mm 23 EN 1963  47.3 mm  1 FE 1963  82.2 mm  5 EN 1964
```

358 m PUERTO DEL ROSARIO - LA MATILLA PERIODO : 1970 2003

	ENE	FEB	MRZ	ABR	MAY	JUN	JUL	AGT	SEP	OCT	NOV	DIC	TOTAL
MES	40	40	40	40	40	40	40	40	41	41	41	41	0
MED	29.1	22.1	20.4	8.1	2.6	0.2	0.1	0.0	6.9	13.9	25.4	31.4	158.1
LINF	19.9	13.1	14.3	4.7	0.7	0.0	0.0	0.0	0.5	8.1	16.1	22.4	142.7
LSUP	38.3	31.0	26.6	11.5	4.4	0.5	0.2	0.1	13.3	19.6	34.7	40.3	173.5
CV	102	131	96	135	234	342	632	442	302	136	120	93	50 %

72 mm : INVIERNO                      11 mm : PRIMAVERA                      7 mm : VERANO                      71 mm : OTOÑO

PRECIPITACIÓN ANUAL ACUMULADA ESTIMADA ENTRE 1970 - 2016: 160.2 milímetros

### CALENDARIO DE DÍAS LLUVIOSOS SUPERIORES A 30 milímetros

```
-----
42.0 mm 14 FE 1956  37.3 mm  5 DI 1957  47.0 mm 27 DI 1962  71.0 mm  5 EN 1964
47.0 mm 16 DI 1969  47.3 mm  8 FE 1970  41.6 mm 28 DI 1970  41.5 mm  5 FE 1972
33.4 mm 25 NO 1972  64.6 mm 18 DI 1972  33.0 mm  9 AB 1974  37.6 mm  7 EN 1980
39.3 mm  8 EN 1980  40.4 mm 25 EN 1980  33.6 mm 11 FE 1981  73.4 mm  9 MR 1982
30.6 mm 22 EN 1985
```

## Las precipitaciones en la Tierra sedienta: Fuerteventura

7 m ANTIGUA - POZO NEGRO PERIODO : 1953 1977

	ENE	FEB	MRZ	ABR	MAY	JUN	JUL	AGT	SEP	OCT	NOV	DIC	TOTAL
MES	33	33	33	33	33	33	33	33	33	33	33	33	0
MED	17.1	20.3	12.1	4.7	1.4	0.0	0.0	0.1	3.1	14.4	30.7	23.6	123.8
LINF	8.5	10.9	6.8	2.1	0.1	0.0	0.0	0.0	0.4	6.6	19.8	14.5	107.5
LSUP	25.7	29.7	17.4	7.4	2.8	0.0	0.0	0.2	5.8	22.1	41.6	32.8	140.0
CV	147	136	129	164	279	0	0	574	259	158	104	113	48 %

50 mm : INVIERNO      6 mm : PRIMAVERA      3 mm : VERANO      69 mm : OTOÑO

PRECIPITACIÓN ANUAL ACUMULADA ESTIMADA ENTRE 1953 - 2017: 127.5 milímetros

CALENDARIO DE DÍAS LLUVIOSOS SUPERIORES A 30 milímetros

34.8 mm 17 DI 2002    45.4 mm 18 DI 2002    30.2 mm 19 FE 2004

28 m ANTIGUA - LA TORRE PERIODO : 1955 2003

	ENE	FEB	MRZ	ABR	MAY	JUN	JUL	AGT	SEP	OCT	NOV	DIC	TOTAL
MES	56	56	56	56	56	56	56	56	57	57	57	57	0
MED	16.6	14.9	11.3	4.8	1.1	0.2	0.3	0.1	2.5	8.8	16.9	22.7	99.5
LINF	10.1	8.3	6.7	2.8	0.3	0.0	0.0	0.0	1.0	4.6	11.3	14.2	84.3
LSUP	23.1	21.4	15.9	6.9	2.0	0.7	0.9	0.1	4.1	13.0	22.6	31.3	114.6
CV	149	168	155	164	288	748	748	601	228	185	128	144	58 %

43 mm : INVIERNO      6 mm : PRIMAVERA      3 mm : VERANO      48 mm : OTOÑO

PRECIPITACIÓN ANUAL ACUMULADA ESTIMADA ENTRE 1955 - 2017: 100.3 milímetros

CALENDARIO DE DÍAS LLUVIOSOS SUPERIORES A 30 milímetros

61.2 mm 22 NO 1954    30.2 mm 23 FE 1956    40.5 mm 5 DI 1957    42.0 mm 19 MR 1959  
 33.9 mm 5 FE 1972    37.3 mm 25 NO 1972    84.9 mm 18 DI 1972    30.0 mm 8 FE 1973  
 38.0 mm 4 FE 1976    38.5 mm 13 DI 1977

155 m ANTIGUA - CAMPECHE POCETAS PERIODO : 1954 2003

	ENE	FEB	MRZ	ABR	MAY	JUN	JUL	AGT	SEP	OCT	NOV	DIC	TOTAL
MES	47	47	47	47	47	47	47	47	48	48	48	48	0
MED	18.0	16.5	19.1	5.0	0.7	0.0	0.2	0.0	3.2	8.8	21.3	27.0	118.5
LINF	12.1	8.6	13.5	2.8	0.2	0.0	0.0	0.0	1.2	3.7	12.1	17.4	103.8
LSUP	23.9	24.3	24.7	7.2	1.2	0.1	0.5	0.0	5.1	13.8	30.5	36.7	133.2
CV	114	167	102	153	271	686	676	686	217	203	152	126	52 %

54 mm : INVIERNO      6 mm : PRIMAVERA      3 mm : VERANO      57 mm : OTOÑO

PRECIPITACIÓN ANUAL ACUMULADA ESTIMADA ENTRE 1954 - 2015: 119.8 milímetros

CALENDARIO DE DÍAS LLUVIOSOS SUPERIORES A 30 milímetros



## Las precipitaciones en la Tierra sedienta: Fuerteventura

42.0 mm 5 FE 1972    32.5 mm 18 DI 1972    39.7 mm 19 DI 1972    40.0 mm 8 FE 1973  
 32.8 mm 4 DI 1975    34.7 mm 13 DI 1977    32.5 mm 15 MR 1980    35.0 mm 11 FE 1981  
 66.0 mm 19 SP 1984    46.8 mm 27 FE 1986    84.1 mm 16 FE 1989    38.0 mm 18 FE 1989  
 50.0 mm 25 NO 1989

205 m ANTIGUA - CASILLAS DE MORALES                      PERIODO : 1970 2003

	ENE	FEB	MRZ	ABR	MAY	JUN	JUL	AGT	SEP	OCT	NOV	DIC	TOTAL
MES	41	41	41	41	41	41	41	41	42	42	42	42	0
MED	20.0	18.9	21.5	6.1	1.3	0.0	0.1	0.0	3.6	10.3	19.3	31.0	130.5
LINF	12.4	10.6	15.0	3.6	0.0	0.0	0.0	0.0	0.2	5.1	9.7	19.6	114.6
LSUP	27.6	27.1	28.1	8.7	2.6	0.0	0.3	0.0	7.0	15.5	28.8	42.3	146.3
CV	124	144	100	133	325	0	640	0	309	166	163	121	52 %

60 mm : INVIERNO                      7 mm : PRIMAVERA                      4 mm : VERANO                      61 mm : OTOÑO

PRECIPITACIÓN ANUAL ACUMULADA ESTIMADA ENTRE 1970 - 2017: 132.1 milímetros

CALENDARIO DE DÍAS LLUVIOSOS SUPERIORES A 30 milímetros

46.0 mm 28 DI 1970    38.0 mm 10 MR 1971    40.0 mm 5 FE 1972    55.0 mm 18 DI 1972  
 40.0 mm 8 FE 1973

215 m ANTIGUA - TISCAMANITA                      PERIODO : 1970 1976

	ENE	FEB	MRZ	ABR	MAY	JUN	JUL	AGT	SEP	OCT	NOV	DIC	TOTAL
MES	7	7	7	7	7	7	7	7	8	8	8	8	0
MED	4.5	28.5	17.4	10.9	1.0	0.0	0.0	0.0	1.6	2.6	14.5	48.2	121.3
LINF	0.0	7.0	0.0	0.0	0.0	0.0	0.0	0.0	0.0	0.0	2.0	19.6	94.5
LSUP	11.1	50.0	35.9	22.4	3.0	0.0	0.0	0.0	3.9	5.4	27.0	76.7	148.1
CV	198	102	143	144	265	0	0	0	216	157	125	86	39 %

50 mm : INVIERNO                      12 mm : PRIMAVERA                      2 mm : VERANO                      65 mm : OTOÑO

PRECIPITACIÓN ANUAL ACUMULADA ESTIMADA ENTRE 1970 - 1977: 129.1 milímetros

CALENDARIO DE DÍAS LLUVIOSOS SUPERIORES A 30 milímetros

90.0 mm 4 DI 1991    53.0 mm 5 DI 1991    62.7 mm 22 DI 1993    33.7 mm 28 NO 1995  
 46.9 mm 13 DI 1995    55.8 mm 15 DI 1995    32.2 mm 11 MR 1996    36.2 mm 27 EN 1998  
 31.9 mm 5 DI 1998

239 m ANTIGUA - VALLES DE ORTEGA                      PERIODO : 1991 2003

	ENE	FEB	MRZ	ABR	MAY	JUN	JUL	AGT	SEP	OCT	NOV	DIC	TOTAL
MES	21	21	21	21	21	21	21	21	21	21	21	21	0
MED	22.9	14.1	22.8	4.8	0.7	0.0	0.0	0.0	2.2	15.0	28.2	38.6	149.3
LINF	11.4	5.8	11.5	1.8	0.0	0.0	0.0	0.0	0.6	5.6	10.2	16.2	126.2
LSUP	34.3	22.4	34.0	7.8	2.0	0.0	0.0	0.0	3.9	24.3	46.1	61.0	172.4
CV	117	137	115	145	383	0	0	458	174	146	149	136	54 %

60 mm : INVIERNO                      6 mm : PRIMAVERA                      2 mm : VERANO                      82 mm : OTOÑO

PRECIPITACIÓN ANUAL ACUMULADA ESTIMADA ENTRE 1991 - 2017: 149.3 milímetros



## Las precipitaciones en la Tierra sedienta: Fuerteventura

### CALENDARIO DE DÍAS LLUVIOSOS SUPERIORES A 30 milímetros

35.4 mm 21 MR 1960	39.9 mm 17 NO 1962	72.5 mm 28 DI 1962	40.0 mm 4 EN 1964
70.0 mm 5 EN 1964	34.5 mm 7 NO 1966	44.0 mm 12 NO 1967	53.0 mm 16 DI 1969
45.0 mm 7 FE 1970	47.0 mm 21 DI 1970	35.8 mm 20 FE 1971	38.3 mm 11 MR 1971
37.0 mm 5 FE 1972	35.3 mm 19 DI 1972	41.1 mm 13 DI 1977	36.3 mm 7 EN 1980
37.3 mm 15 MR 1980	40.6 mm 11 FE 1981	50.4 mm 19 SP 1984	36.5 mm 27 FE 1986

248 m ANTIGUA - AGUAS DE BUEYES PERIODO : 1958 2003

	ENE	FEB	MRZ	ABR	MAY	JUN	JUL	AGT	SEP	OCT	NOV	DIC	TOTAL
MES	53	53	53	53	53	53	53	53	54	54	54	54	0
MED	23.6	17.8	20.9	7.3	1.2	0.1	0.0	0.1	3.1	12.8	27.6	34.5	147.6
LINF	15.9	11.9	15.0	4.8	0.2	0.0	0.0	0.0	1.1	6.6	18.2	24.5	135.8
LSUP	31.2	23.6	26.9	9.9	2.2	0.1	0.1	0.3	5.1	18.9	37.0	44.5	159.3
CV	120	123	106	129	304	525	728	728	245	181	127	109	44 %

62 mm : INVIERNO                      9 mm : PRIMAVERA                      3 mm : VERANO                      75 mm : OTOÑO

PRECIPITACIÓN ANUAL ACUMULADA ESTIMADA ENTRE 1958 - 2017: 148.9 milímetros

### CALENDARIO DE DÍAS LLUVIOSOS SUPERIORES A 30 milímetros

30.0 mm 10 MR 1971	35.2 mm 5 FE 1972	44.0 mm 25 NO 1972	65.4 mm 18 DI 1972
35.0 mm 8 FE 1973	30.0 mm 4 DI 1975	54.2 mm 13 DI 1977	32.5 mm 7 EN 1980
35.2 mm 25 EN 1980	36.5 mm 19 SP 1984	32.5 mm 1 NO 1987	30.3 mm 7 EN 1989
75.3 mm 16 FE 1989	42.2 mm 18 FE 1989		

248 m ANTIGUA - TRIQUIVIJATE PERIODO : 1970 2003

	ENE	FEB	MRZ	ABR	MAY	JUN	JUL	AGT	SEP	OCT	NOV	DIC	TOTAL
MES	42	41	41	41	41	41	41	41	42	42	42	42	0
MED	19.5	17.6	17.9	6.7	0.9	0.0	0.0	0.0	3.3	11.6	19.2	31.0	123.7
LINF	12.4	10.2	12.0	3.4	0.2	0.0	0.0	0.0	1.1	4.8	10.5	19.8	108.3
LSUP	26.7	24.9	23.8	10.1	1.7	0.1	0.0	0.1	5.5	18.3	27.9	42.2	139.1
CV	121	137	107	163	264	640	0	447	218	194	150	120	51 %

55 mm : INVIERNO                      8 mm : PRIMAVERA                      3 mm : VERANO                      62 mm : OTOÑO

PRECIPITACIÓN ANUAL ACUMULADA ESTIMADA ENTRE 1970 - 2018: 127.7 milímetros

### CALENDARIO DE DÍAS LLUVIOSOS SUPERIORES A 30 milímetros

45.8 mm 17 DI 2002

269 m ANTIGUA PERIODO : 1957 2017

	ENE	FEB	MRZ	ABR	MAY	JUN	JUL	AGT	SEP	OCT	NOV	DIC	TOTAL
MES	55	54	54	54	54	54	54	54	55	55	55	55	0
MED	27.8	22.0	19.9	8.2	2.0	0.1	0.1	0.0	3.6	12.0	29.0	37.5	158.4
LINF	19.8	14.1	13.8	5.3	0.5	0.0	0.0	0.0	1.7	6.8	19.5	27.0	146.0
LSUP	35.8	29.9	26.0	11.2	3.5	0.2	0.2	0.0	5.5	17.2	38.5	48.1	170.9
CV	109	134	115	134	288	517	735	0	197	163	124	106	48 %

## Las precipitaciones en la Tierra sedienta: Fuerteventura

70 mm : INVIERNO      10 mm : PRIMAVERA      4 mm : VERANO      79 mm : OTOÑO

PRECIPITACIÓN ANUAL ACUMULADA ESTIMADA ENTRE 1957 - 2018: 162.3 milímetros

### CALENDARIO DE DÍAS LLUVIOSOS SUPERIORES A 30 milímetros

-----  
 38.2 mm 27 DI 1970    48.0 mm 18 DI 1972    33.0 mm 4 DI 1975    36.0 mm 13 DI 1977  
 31.0 mm 15 EN 1978    45.0 mm 6 EN 1979    30.0 mm 20 EN 1979    35.0 mm 11 FE 1981  
 42.0 mm 27 DI 1985

263 m    BETANCURIA - VEGA DEL RIO PALMA      PERIODO : 1955 2014

	ENE	FEB	MRZ	ABR	MAY	JUN	JUL	AGT	SEP	OCT	NOV	DIC	TOTAL
MES	57	56	56	56	56	56	56	56	57	57	57	57	0
MED	28.3	21.7	18.8	7.5	2.2	0.4	0.1	0.1	3.4	15.1	27.0	32.5	153.4
LINF	20.8	14.5	13.7	4.9	0.8	0.0	0.0	0.0	1.2	8.9	19.1	23.9	140.9
LSUP	35.7	29.0	23.8	10.2	3.7	0.7	0.2	0.2	5.6	21.3	34.8	41.0	165.8
CV	102	127	103	133	250	340	534	490	250	159	112	101	48 %

69 mm : INVIERNO      10 mm : PRIMAVERA      4 mm : VERANO      75 mm : OTOÑO

PRECIPITACIÓN ANUAL ACUMULADA ESTIMADA ENTRE 1955 - 2018: 156.9 milímetros

### CALENDARIO DE DÍAS LLUVIOSOS SUPERIORES A 30 milímetros

-----  
 40.2 mm 16 NO 1971    40.0 mm 5 FE 1972    75.3 mm 18 DI 1972    30.5 mm 4 DI 1975  
 34.2 mm 10 OC 1976    46.5 mm 13 DI 1977    30.0 mm 7 EN 1980    40.6 mm 26 EN 1980  
 36.0 mm 15 MR 1980    30.3 mm 13 EN 1982

415 m    BETANCURIA      PERIODO : 1955 2017

	ENE	FEB	MRZ	ABR	MAY	JUN	JUL	AGT	SEP	OCT	NOV	DIC	TOTAL
1955									0.0	5.8	28.7	11.3	
1956	52.6	115.7	50.0	4.7	0.0	0.0	0.0	0.0	0.0	2.1	21.8	4.9	251.8
1957	34.4	0.0	3.8	0.0	0.0	0.0	0.0	0.0	0.0	44.8	19.4	93.2	195.6
1958	25.7	4.0	1.3	3.0	5.1	2.5	0.0	0.0	0.0	0.0	32.5	53.1	127.2
1959	36.7	6.3	83.6	5.9	8.3	0.0	0.0	0.0	3.1	4.2	39.1	18.1	205.3
1960	37.1	0.0	47.4	26.4	0.0	0.0	0.0	0.0	0.0	22.9	23.0	58.0	214.8
1961	25.5	2.5	2.3	2.6	0.0	0.0	0.0	0.0	1.6	4.1	45.9	21.3	105.8
1962	28.8	14.0	24.5	25.5	3.5	0.0	0.0	0.0	0.0	8.2	105.0	52.5	262.0
1963	69.0	75.4	0.0	4.7	10.6	0.0	0.0	0.0	0.0	0.0	12.0	71.3	243.0
1964	127.6	0.0	10.0	42.0	0.0	0.0	0.0	0.0	21.3	3.1	8.3	89.3	301.6
1965	89.0	7.1	1.8	4.1	0.0	0.0	0.0	0.0	4.2	108.3	40.0	15.0	269.5
1966	8.5	4.2	4.2	0.0	4.1	0.0	0.0	0.0	1.8	8.6	78.8	14.2	124.4
1967	0.0	32.8	9.5	34.4	4.1	0.0	0.0	0.0	4.0	13.9	91.4	10.9	201.0
1968	4.8	26.2	29.1	8.5	0.0	0.0	0.0	0.0	4.1	3.0	66.4	60.9	203.0
1969	67.2	36.0	5.0	5.6	0.0	0.0	0.0	0.0	0.0	11.0	15.7	58.4	198.9
1970	78.4	109.0	33.2	0.0	0.0	0.0	0.0	0.0	0.0	0.0	35.4	82.5	338.5
1971	20.0	63.6	16.1	108.9	12.4	0.0	0.0	0.0	0.0	0.0	79.1	8.4	308.5
1972	18.5	84.9	30.9	0.0	0.0	0.0	0.0	0.0	13.3	0.0	27.6	107.7	282.9
1973	3.1	15.9	13.1	0.0	0.0	0.0	0.0	0.0	0.0	0.0	10.6	53.9	96.6
1974	0.0	12.3	98.7	27.5	0.0	0.0	0.0	0.0	0.0	18.3	5.6	0.0	162.4



## Las precipitaciones en la Tierra sedienta: Fuerteventura

1975	3.0	0.0	0.0	48.2	0.0	0.0	0.0	0.0	5.5	0.0	0.0	57.2	113.9
1976	7.2	53.7	16.1	10.0	39.3	0.0	0.0	0.0	0.0	22.5	5.5	69.4	223.7
1977	37.5	15.0	5.5	3.4	1.5	0.0	0.0	4.0	0.0	66.5	25.0	136.9	295.3
1978	44.5	44.3	15.7	2.5	0.0	0.0	0.0	0.0	0.0	27.4	6.5	27.9	168.8
1979	163.5	0.0	4.2	1.5	0.0	0.5	0.0	0.0	2.5	47.5	4.4	15.0	239.1
1980	97.4	34.2	62.2	15.2	0.0	0.0	0.0	0.0	34.0	9.6	13.4	43.6	309.6
1981	1.3	82.4	5.3	3.8	1.5	0.8	0.0	0.0	2.3	0.0	0.0	9.2	106.6
1982	0.0	86.7	40.6	35.2	0.0	0.0	0.0	0.0	4.6	10.6	10.6	5.4	193.7
1983	1.2	33.5	2.7	0.8	0.0	0.0	0.0	0.0	3.5	8.3	45.2	17.8	113.0
1984	23.5	3.2	25.0	17.3	5.1	0.0	0.0	0.0	18.2	0.0	43.9	56.4	192.6
1985	64.9	12.5	4.6	23.3	11.6	3.6	0.0	0.0	0.0	0.0	26.6	53.6	200.7
1986	31.1	49.6	44.2	0.0	2.5	0.0	0.0	3.3	5.2	8.7	8.4	3.6	156.6
1987	19.6	10.7	22.1	1.9	2.2	0.0	3.4	1.5	22.8	72.5	51.5	51.1	259.3
1988	63.7	36.3	54.6	1.2	6.0	13.2	0.0	0.0	8.4	26.4	67.4	0.0	277.2
1989	45.9	121.4	34.1	14.5	6.5	0.0	0.0	0.5	0.0	28.4	100.8	135.0	487.1
1990	43.2	0.0	19.2	23.3	12.8	1.3	0.5	0.0	0.0	3.0	0.0	0.0	103.3
1991	7.8	49.0	97.9	5.5	1.6	0.8	0.0	0.0	5.0	8.2	52.1	176.1	404.0
1992	8.0	9.6	11.0	7.7	0.0	3.9	1.8	0.0	0.4	13.4	5.3	64.2	125.3
1993	20.2	7.3	34.9	3.3	18.5	0.0	0.0	0.0	8.9	9.3	61.2	53.2	216.8
1994	69.2	4.2	18.6	12.1	4.5	0.0	0.0	0.0	1.7	43.8	1.7	5.8	161.6
1995	0.0	6.2	56.3	4.3	0.0	0.0	0.0	1.0	9.0	0.0	39.2	81.4	197.4
1996	96.9	30.3	88.5	1.0	2.3	1.4	0.4	0.0	11.7	1.0	24.4	70.6	328.5
1997	50.0	0.0	47.0	50.7	0.5	2.2	0.4	0.1	5.1	4.5	7.2	36.3	204.0
1998	56.7	32.1	4.5	10.7	6.1	0.3	0.0	0.0	0.2	0.0	0.0	41.0	151.6
1999	49.2	2.7	36.6	0.2	0.0	0.0	0.0	0.3	8.2	81.1	8.9	30.7	217.9
2000	32.2	14.8	0.0	11.1	0.2	0.0	0.0	0.0	3.1	11.8	6.1	36.8	116.1
2001	2.2	0.0	1.6	0.9	0.0	0.0	0.0	0.4	0.0	0.2	56.0	11.2	72.5
2002	38.8	5.4	18.9	19.3	2.2	0.0	3.0	1.2	0.0	6.2	46.1	83.4	224.5
2003	13.7	13.5	0.8	8.4	0.3	0.0	0.0	0.0	0.0	53.9	9.6	20.9	121.1
2010	21.4	55.0	4.0	8.1	0.2	2.1	0.7	0.0	2.5	40.7	98.4	13.9	247.0
2011	81.5	8.0	81.0	35.4	3.7	0.0	3.7	0.0	0.0	14.2	5.9	2.0	235.4
2012	1.1	0.0	0.0	12.9	0.0	0.2	0.0	0.0	10.2	21.1	24.9	4.1	74.5
2013	3.5	3.2	0.5	2.1	1.8	0.0	0.0	0.0	1.0	10.7	15.0	7.8	45.6
2014	45.1	29.7	13.6	10.2	0.0	0.0	0.2	0.0	0.0	1.3	126.2	18.6	244.9
2015	17.9	10.5	15.4	0.0	0.3	0.9	0.0	1.9	3.2	137.4	6.9	0.0	194.4
2016	7.4	60.5	7.7	6.9	2.4	3.0	0.4	0.0	0.0	83.1	22.0	11.9	205.3
2017	11.6	62.7	45.6	1.5	3.6	5.0	0.2	0.3	0.4	0.2	0.0	28.3	159.4
-----													
MES	56	56	56	56	56	56	56	56	57	57	57	57	56
MED	35.9	28.5	25.1	12.8	3.3	0.7	0.3	0.3	4.1	19.9	31.8	41.5	202.2
LINF	26.8	20.1	18.1	8.0	1.7	0.2	0.1	0.1	2.3	12.3	23.7	31.5	191.2
LSUP	45.0	37.0	32.1	17.6	5.0	1.3	0.5	0.5	5.8	27.4	39.9	51.5	213.3
CV	97	113	107	143	191	273	304	295	165	147	98	93	42 %

89 mm : INVIERNO      17 mm : PRIMAVERA      5 mm : VERANO      93 mm : OTONO

PRECIPITACION ANUAL ACUMULADA ESTIMADA ENTRE 1955 - 2017: 204.1 milímetros

### CALENDARIO DE DIAS LLUVIOSOS SUPERIORES A 30 milímetros

-----

40.2 mm	16 NO	1971	40.0 mm	5 FE	1972	75.3 mm	18 DI	1972	30.5 mm	4 DI	1975
34.2 mm	10 OC	1976	46.5 mm	13 DI	1977	30.0 mm	7 EN	1980	40.6 mm	26 EN	1980
36.0 mm	15 MR	1980	30.3 mm	13 EN	1982						

## Las precipitaciones en la Tierra sedienta: Fuerteventura

490 m BETANCURIA - CASTILLO DE LARA PERIODO : 1951 2003

	ENE	FEB	MRZ	ABR	MAY	JUN	JUL	AGT	SEP	OCT	NOV	DIC	TOTAL
MES	59	59	59	59	59	59	59	59	60	60	60	60	0
MED	31.9	26.1	22.6	11.2	3.1	0.6	0.3	0.2	4.6	17.7	33.2	41.9	191.8
LINF	23.9	18.2	16.7	8.0	1.5	0.3	0.0	0.0	2.5	11.1	24.7	31.1	180.9
LSUP	39.9	34.1	28.4	14.4	4.7	1.0	0.6	0.4	6.7	24.3	41.6	52.7	202.6
CV	98	120	101	112	203	227	411	368	179	147	101	102	43 %

81 mm : INVIERNO      15 mm : PRIMAVERA      5 mm : VERANO      93 mm : OTOÑO

PRECIPITACIÓN ANUAL ACUMULADA ESTIMADA ENTRE 1951 - 2016: 193.4 milímetros

### CALENDARIO DE DÍAS LLUVIOSOS SUPERIORES A 30 milímetros

48.0 mm	23 FE 1956	36.2 mm	5 DI 1957	57.0 mm	19 MR 1959	36.5 mm	17 NO 1962
36.3 mm	28 DI 1962	60.0 mm	5 EN 1964	34.0 mm	6 EN 1964	56.0 mm	31 EN 1965
30.1 mm	2 OC 1965	30.1 mm	27 OC 1965	43.0 mm	7 NO 1966	37.0 mm	5 EN 1969
52.7 mm	16 DI 1969	65.4 mm	20 EN 1970	68.0 mm	7 FE 1970	34.0 mm	8 FE 1970
40.2 mm	27 FE 1971	39.6 mm	5 FE 1972	36.2 mm	18 DI 1972	43.6 mm	19 DI 1972
30.4 mm	8 MR 1974	39.0 mm	18 OC 1977				

23 m TUINEJE - GRAN TARAJAL PERIODO :1958 2003

	ENE	FEB	MRZ	ABR	MAY	JUN	JUL	AGT	SEP	OCT	NOV	DIC	TOTAL
MES	54	53	53	53	53	53	53	53	54	54	54	54	0
MED	9.6	8.8	6.7	2.2	0.4	0.0	0.2	0.0	0.9	6.2	10.6	16.7	60.8
LINF	5.9	5.0	3.9	0.8	0.0	0.0	0.0	0.0	0.1	2.6	5.1	10.4	43.5
LSUP	13.3	12.6	9.5	3.6	0.8	0.0	0.5	0.0	1.7	9.8	16.1	22.9	78.1
CV	144	161	158	233	378	0	728	0	335	218	195	140	65 %

25 mm : INVIERNO      3 mm : PRIMAVERA      1 mm : VERANO      33 mm : OTOÑO

PRECIPITACIÓN ANUAL ACUMULADA ESTIMADA ENTRE 1958 - 2018: 62.2 milímetros

### CALENDARIO DE DÍAS LLUVIOSOS SUPERIORES A 30 milímetros

38.3 mm	25 FE 1953	68.3 mm	16 DI 1953	33.0 mm	19 DI 1953	32.0 mm	20 DI 1953
72.3 mm	22 NO 1954	45.5 mm	23 FE 1956	59.8 mm	19 MR 1959	33.7 mm	21 MR 1960
37.1 mm	17 NO 1962	37.0 mm	28 DI 1962	32.0 mm	4 EN 1964	48.0 mm	5 EN 1964
36.0 mm	6 EN 1964	32.6 mm	27 OC 1965	30.0 mm	6 NO 1966	30.2 mm	5 EN 1969
39.8 mm	16 DI 1969	33.0 mm	20 EN 1970	62.5 mm	7 FE 1970	37.0 mm	27 FE 1971
47.0 mm	5 FE 1972	30.3 mm	22 FE 1972				

27 m TUINEJE - IES GRAN TARAJAL PERIODO : 2007 2019

	ENE	FEB	MRZ	ABR	MAY	JUN	JUL	AGT	SEP	OCT	NOV	DIC	TOTAL
MES	14	13	13	13	13	13	13	13	13	13	14	14	0
MED	9.8	7.3	5.8	1.6	0.8	0.0	0.0	0.0	0.6	16.3	11.5	8.7	55.9
LINF	0.9	2.3	0.0	0.0	0.0	0.0	0.0	0.0	0.0	4.7	0.0	0.0	9.1
LSUP	18.7	12.3	12.2	3.2	2.0	0.0	0.0	0.0	1.3	27.9	25.3	19.5	102.8

## Las precipitaciones en la Tierra sedienta: Fuerteventura

CV 173 127 200 193 292 0 0 0 261 131 230 239 93 %

23 mm : INVIERNO 2 mm : PRIMAVERA 1 mm : VERANO 36 mm : OTOÑO

PRECIPITACIÓN ANUAL ACUMULADA ESTIMADA ENTRE 2006 - 2020: 62.2 milímetros

### CALENDARIO DE DÍAS LLUVIOSOS SUPERIORES A 30 milímetros

-----  
 40.6 mm 12 NO 1967 30.4 mm 16 DI 1969 50.4 mm 18 DI 1972 35.5 mm 9 MR 1982  
 46.6 mm 16 FE 1989

72 m TUINEJE - TARAJALERO PERIODO : 1970 2003

	ENE	FEB	MRZ	ABR	MAY	JUN	JUL	AGT	SEP	OCT	NOV	DIC	TOTAL
MES	41	41	41	41	41	41	41	41	42	42	42	42	0
MED	10.1	9.5	11.9	3.1	0.8	0.0	0.5	0.0	1.5	5.4	12.4	18.0	72.2
LINF	5.9	4.9	5.8	1.0	0.0	0.0	0.0	0.0	0.0	1.7	5.2	9.8	51.9
LSUP	14.2	14.1	17.9	5.2	1.7	0.0	1.4	0.0	2.9	9.1	19.5	26.3	92.6
CV	134	158	166	223	361	0	640	0	324	227	191	151	67 %

31 mm : INVIERNO 4 mm : PRIMAVERA 2 mm : VERANO 36 mm : OTOÑO

PRECIPITACIÓN ANUAL ACUMULADA ESTIMADA ENTRE 1970 - 2017: 73.1 milímetros

### CALENDARIO DE DÍAS LLUVIOSOS SUPERIORES A 30 milímetros

-----  
 31.0 mm 5 EN 1964 32.5 mm 16 DI 1969 40.0 mm 7 FE 1970 37.0 mm 5 FE 1972  
 50.0 mm 18 DI 1972 54.5 mm 14 DI 1977

168 m TUINEJE PERIODO : 1970 2003

	ENE	FEB	MRZ	ABR	MAY	JUN	JUL	AGT	SEP	OCT	NOV	DIC	TOTAL
MES	41	41	41	41	41	41	41	41	42	42	42	42	0
MED	19.3	16.7	17.5	7.1	1.2	0.0	0.0	0.0	3.0	10.2	18.4	30.6	122.6
LINF	12.1	9.7	12.0	3.7	0.2	0.0	0.0	0.0	0.2	4.5	9.2	19.3	107.3
LSUP	26.6	23.8	23.1	10.5	2.1	0.0	0.0	0.0	5.7	15.9	27.5	41.9	137.9
CV	122	138	103	156	259	0	0	0	308	184	165	122	51 %

54 mm : INVIERNO 8 mm : PRIMAVERA 3 mm : VERANO 59 mm : OTOÑO

PRECIPITACIÓN ANUAL ACUMULADA ESTIMADA ENTRE 1970 - 2017: 124.1 milímetros

### CALENDARIO DE DÍAS LLUVIOSOS SUPERIORES A 30 milímetros

-----  
 44.5 mm 18 DI 1972 30.0 mm 9 AB 1974 45.0 mm 16 DI 1984 46.8 mm 16 FE 1989  
 32.9 mm 25 NO 1989 32.6 mm 28 DI 1989 75.0 mm 4 DI 1991

185 m TUINEJE - FARO LA ENTALLADA PERIODO : 1956 1997

	ENE	FEB	MRZ	ABR	MAY	JUN	JUL	AGT	SEP	OCT	NOV	DIC	TOTAL
MES	50	49	49	49	49	49	49	49	49	49	49	49	0



## Las precipitaciones en la Tierra sedienta: Fuerteventura

MED	9.2	9.0	6.3	1.7	0.3	0.0	0.0	0.1	1.0	8.5	12.0	10.4	56.2
LINF	4.5	3.7	3.3	0.5	0.0	0.0	0.0	0.0	0.4	2.5	4.0	5.1	34.9
LSUP	13.9	14.2	9.2	2.8	0.5	0.0	0.0	0.2	1.6	14.4	20.1	15.6	77.6
CV	184	210	167	239	329	700	0	663	206	250	238	181	78 %
	24 mm : INVIERNO			2 mm : PRIMAVERA			1 mm : VERANO			31 mm : OTOÑO			

PRECIPITACIÓN ANUAL ACUMULADA ESTIMADA ENTRE 1956 - 2018: 58.4 milímetros

### CALENDARIO DE DÍAS LLUVIOSOS SUPERIORES A 30 milímetros

58.0 mm	28 DI	1970	34.5 mm	5 FE	1972	70.0 mm	18 DI	1972	38.4 mm	8 FE	1973
40.0 mm	9 AB	1974	35.0 mm	15 DI	1976	54.5 mm	13 DI	1977	30.0 mm	15 MR	1980
30.3 mm	11 FE	1981	53.5 mm	19 SP	1984	37.7 mm	22 EN	1985	30.5 mm	7 DI	1987
83.5 mm	16 FE	1989	35.3 mm	18 FE	1989	41.0 mm	13 NO	1989			
205 m	TUINEJE - TESEGERAGUE					PERIODO : 1970 2003					

	ENE	FEB	MRZ	ABR	MAY	JUN	JUL	AGT	SEP	OCT	NOV	DIC	TOTAL
MES	41	41	41	41	41	41	41	41	42	42	42	42	0
MED	20.6	18.0	17.9	5.7	1.2	0.2	0.1	0.1	1.8	12.3	21.4	28.8	126.5
LINF	13.7	10.3	11.1	3.1	0.1	0.0	0.0	0.0	0.7	6.8	11.4	19.2	111.3
LSUP	27.4	25.6	24.8	8.2	2.4	0.4	0.3	0.2	2.9	17.7	31.4	38.4	141.6
CV	109	139	124	147	296	332	640	421	203	146	155	111	50 %

56 mm : INVIERNO      7 mm : PRIMAVERA      2 mm : VERANO      62 mm : OTOÑO

PRECIPITACIÓN ANUAL ACUMULADA ESTIMADA ENTRE 1970 - 2017: 128.0 milímetros

### CALENDARIO DE DÍAS LLUVIOSOS SUPERIORES A 30 milímetros

48.1 mm	5 EN	1958	34.1 mm	12 NO	1967	37.7 mm	13 NO	1967	38.1 mm	11 NO	1970
45.5 mm	8 EN	1980									

5 m PÁJARA - FARO DE JANDÍA      PERIODO : 1970 2001

	ENE	FEB	MRZ	ABR	MAY	JUN	JUL	AGT	SEP	OCT	NOV	DIC	TOTAL
MES	28	28	28	28	28	28	28	28	29	29	29	29	0
MED	8.5	10.1	6.6	2.1	0.4	0.0	0.0	0.1	3.0	1.7	11.7	15.3	58.5
LINF	4.3	3.8	3.1	0.3	0.0	0.0	0.0	0.0	0.5	0.3	4.1	7.3	33.4
LSUP	12.7	16.4	10.2	3.9	1.0	0.0	0.0	0.2	5.4	3.1	19.3	23.3	83.6
CV	134	168	145	236	347	529	0	529	228	231	179	144	69 %

25 mm : INVIERNO      3 mm : PRIMAVERA      3 mm : VERANO      29 mm : OTOÑO

PRECIPITACIÓN ANUAL ACUMULADA ESTIMADA ENTRE 1970 - 2001: 59.5 milímetros

### CALENDARIO DE DÍAS LLUVIOSOS SUPERIORES A 30 milímetros

31.5 mm	27 DI	1970	48.0 mm	16 NO	1971	53.3 mm	5 FE	1972	32.5 mm	22 FE	1972
43.3 mm	18 DI	1972	45.3 mm	15 DI	1976	47.3 mm	13 DI	1977	35.1 mm	15 MR	1980
40.0 mm	7 DI	1987	46.5 mm	15 EN	1988	80.2 mm	16 FE	1989	47.5 mm	25 NO	1989
38.6 mm	28 DI	1989									



## Las precipitaciones en la Tierra sedienta: Fuerteventura

19 m PÁJARA - PUERTO DE LA PEÑA PERIODO : 1970 2003

	ENE	FEB	MRZ	ABR	MAY	JUN	JUL	AGT	SEP	OCT	NOV	DIC	TOTAL
MES	41	41	41	41	41	41	41	41	42	42	42	42	0
MED	14.6	15.1	12.8	4.9	1.5	0.1	0.0	0.2	2.1	8.9	15.1	22.4	96.6
LINF	6.5	7.3	8.4	2.6	0.1	0.0	0.0	0.0	0.3	4.0	9.3	13.9	76.4
LSUP	22.6	22.9	17.2	7.3	2.9	0.2	0.0	0.6	3.9	13.8	20.9	30.9	116.7
CV	180	169	112	156	315	384	0	573	284	181	127	125	67 %

42 mm : INVIERNO                      6 mm : PRIMAVERA                      2 mm : VERANO                      46 mm : OTOÑO

PRECIPITACIÓN ANUAL ACUMULADA ESTIMADA ENTRE 1970 - 2017: 97.7 milímetros

CALENDARIO DE DÍAS LLUVIOSOS SUPERIORES A 30 milímetros

85.0 mm 16 NO 1971    43.0 mm 19 DI 1972    36.0 mm 4 DI 1975    49.8 mm 11 FE 1981

20 m PÁJARA - COSTA CALMA PERIODO : 1975 2003

	ENE	FEB	MRZ	ABR	MAY	JUN	JUL	AGT	SEP	OCT	NOV	DIC	TOTAL
MES	31	31	31	31	31	31	31	31	32	32	32	32	0
MED	17.9	13.3	13.1	3.3	1.9	0.1	0.6	0.0	3.3	6.0	13.6	19.4	91.1
LINF	10.2	4.4	7.2	1.1	0.0	0.0	0.0	0.0	1.2	3.1	5.7	9.1	71.0
LSUP	25.7	22.3	19.0	5.6	3.9	0.2	1.6	0.1	5.4	9.0	21.4	29.8	111.2
CV	122	190	128	192	299	316	502	349	184	142	167	154	58 %

44 mm : INVIERNO                      5 mm : PRIMAVERA                      4 mm : VERANO                      39 mm : OTOÑO

PRECIPITACIÓN ANUAL ACUMULADA ESTIMADA ENTRE 1975 - 2016: 92.6 milímetros

CALENDARIO DE DÍAS LLUVIOSOS SUPERIORES A 30 milímetros

32.0 mm 3 DI 1975    65.2 mm 14 DI 1977    45.2 mm 25 EN 1980    31.4 mm 11 FE 1981  
33.0 mm 14 FE 1981    37.0 mm 22 EN 1985

30 m PÁJARA - MORRO JABLE PERIODO : 1947 2003

	ENE	FEB	MRZ	ABR	MAY	JUN	JUL	AGT	SEP	OCT	NOV	DIC	TOTAL
MES	62	61	61	61	61	61	61	61	62	62	62	62	0
MED	14.3	14.2	9.9	3.5	0.6	0.1	0.0	0.0	2.4	5.7	17.1	22.0	87.9
LINF	9.8	9.3	6.8	2.0	0.1	0.0	0.0	0.0	1.1	3.2	10.3	14.7	74.1
LSUP	18.8	19.1	13.0	5.0	1.1	0.1	0.0	0.0	3.6	8.3	24.0	29.2	101.7
CV	127	138	125	172	336	429	470	578	213	178	161	133	56 %

38 mm : INVIERNO                      4 mm : PRIMAVERA                      2 mm : VERANO                      45 mm : OTOÑO

PRECIPITACIÓN ANUAL ACUMULADA ESTIMADA ENTRE 1947 - 2018: 89.8 milímetros

CALENDARIO DE DÍAS LLUVIOSOS SUPERIORES A 30 milímetros

36.8 mm 18 DI 1953    65.2 mm 22 NO 1954    33.0 mm 27 DI 1962    61.7 mm 12 NO 1967  
48.0 mm 16 DI 1969    33.2 mm 7 FE 1970    32.0 mm 27 DI 1970    30.9 mm 12 FE 1971  
30.0 mm 16 NO 1971    36.0 mm 18 DI 1972    38.2 mm 13 DI 1977    31.1 mm 7 EN 1980  
36.2 mm 25 EN 1980



## Las precipitaciones en la Tierra sedienta: Fuerteventura

61 m PÁJARA - UGÁN PERIODO : 1956 2003

	ENE	FEB	MRZ	ABR	MAY	JUN	JUL	AGT	SEP	OCT	NOV	DIC	TOTAL
MES	55	55	55	55	55	55	55	55	56	56	56	56	0
MED	11.6	10.2	8.9	3.2	0.8	0.0	0.2	0.0	1.3	6.6	13.0	15.5	70.7
LINF	7.0	4.6	5.8	1.4	0.0	0.0	0.0	0.0	0.6	3.4	7.8	10.0	53.2
LSUP	16.1	15.9	12.0	5.0	1.9	0.0	0.6	0.0	2.0	9.8	18.3	21.0	88.1
CV	148	208	132	216	534	742	742	0	213	185	155	136	67 %

31 mm : INVIERNO      4 mm : PRIMAVERA      1 mm : VERANO      35 mm : OTOÑO

PRECIPITACIÓN ANUAL ACUMULADA ESTIMADA ENTRE 1956 - 2017: 71.3 milímetros

CALENDARIO DE DÍAS LLUVIOSOS SUPERIORES A 30 milímetros

54.8 mm	27 FE 1971	34.0 mm	11 MR 1971	36.7 mm	5 FE 1972	33.5 mm	18 DI 1972
52.0 mm	11 NO 1973	46.3 mm	13 DI 1977	30.0 mm	11 FE 1981	31.0 mm	22 EN 1985
56.3 mm	1 NO 1987	30.0 mm	7 DI 1987	40.0 mm	7 EN 1989	55.9 mm	16 FE 1989

90 m PÁJARA - MORRO JABLE IES JANDIA PERIODO : 1970 2001

	ENE	FEB	MRZ	ABR	MAY	JUN	JUL	AGT	SEP	OCT	NOV	DIC	TOTAL
MES	10	10	10	10	10	10	10	10	10	9	9	9	0
MED	6.9	10.3	4.8	1.3	0.1	0.0	0.0	0.0	0.0	11.5	16.4	6.5	54.3
LINF	1.3	1.2	1.1	0.0	0.0	0.0	0.0	0.0	0.0	3.7	5.6	0.8	15.5
LSUP	12.4	19.4	8.5	3.1	0.1	0.0	0.0	0.0	0.0	19.2	27.2	12.3	93.0
CV	130	143	125	220	316	0	0	0	0	104	101	134	62 %

22 mm : INVIERNO      1 mm : PRIMAVERA      0 mm : VERANO      34 mm : OTOÑO

PRECIPITACIÓN ANUAL ACUMULADA ESTIMADA ENTRE 2010 - 2019: 57.7 milímetros

CALENDARIO DE DÍAS LLUVIOSOS SUPERIORES A 30 milímetros

31.5 mm	14 DI 1977	34.6 mm	25 EN 1980	39.5 mm	11 FE 1981
---------	------------	---------	------------	---------	------------

100 m PÁJARA - LOS JOROS PERIODO : 1977 2003

	ENE	FEB	MRZ	ABR	MAY	JUN	JUL	AGT	SEP	OCT	NOV	DIC	TOTAL
MES	20	20	20	20	20	20	20	20	21	20	20	20	0
MED	18.1	18.0	17.7	4.3	0.6	0.2	0.3	0.0	3.7	6.2	12.8	26.6	103.4
LINF	8.5	6.5	10.8	1.8	0.0	0.0	0.0	0.0	0.3	1.4	6.0	10.4	80.2
LSUP	27.7	29.5	24.5	6.7	1.5	0.4	0.8	0.0	7.0	11.0	19.6	42.9	126.7
CV	121	146	89	132	316	311	447	0	215	176	121	139	54 %

54 mm : INVIERNO      5 mm : PRIMAVERA      4 mm : VERANO      46 mm : OTOÑO

PRECIPITACIÓN ANUAL ACUMULADA ESTIMADA ENTRE 1977 - 1997: 108.4 milímetros

CALENDARIO DE DÍAS LLUVIOSOS SUPERIORES A 30 milímetros

42.0 mm	29 EN 2007	41.0 mm	20 DI 2007	47.0 mm	19 OC 2010	76.0 mm	29 NO 2010
44.0 mm	25 EN 2011	66.0 mm	8 OC 2014	47.4 mm	25 NO 2014	50.0 mm	2 DI 2015

## Las precipitaciones en la Tierra sedienta: Fuerteventura

44.8 mm 26 OC 2016

115 m PÁJARA - TAMARETILLA

PERIODO : 1970 2003

	ENE	FEB	MRZ	ABR	MAY	JUN	JUL	AGT	SEP	OCT	NOV	DIC	TOTAL
MES	41	41	41	41	41	41	41	41	42	42	42	42	0
MED	15.8	13.8	14.2	4.6	1.3	0.0	0.7	0.2	1.3	7.5	18.0	23.8	100.0
LINF	9.2	6.7	9.2	1.7	0.0	0.0	0.0	0.0	0.5	2.8	9.6	14.2	82.6
LSUP	22.4	21.0	19.2	7.4	2.7	0.0	2.1	0.6	2.2	12.2	26.3	33.3	117.5
CV	136	169	115	206	366	0	640	640	207	208	154	133	58 %

44 mm : INVIERNO

6 mm : PRIMAVERA

2 mm : VERANO

49 mm : OTOÑO

PRECIPITACIÓN ANUAL ACUMULADA ESTIMADA ENTRE 1970 - 2017: 101.2 milímetros

### CALENDARIO DE DÍAS LLUVIOSOS SUPERIORES A 30 milímetros

60.0 mm	27 DI	1970	41.1 mm	16 NO	1971	44.4 mm	5 FE	1972	30.1 mm	22 FE	1972
78.2 mm	18 DI	1972	34.0 mm	9 AB	1974	39.2 mm	13 DI	1977	39.2 mm	25 EN	1980
31.2 mm	15 EN	1988	58.4 mm	16 FE	1989	43.6 mm	25 NO	1989			